

“我就是想让你知道，你和我一样，都是有理想的。”

CRUCIFORM SECTION WITH 1KVA 200-300V

(SINGLE-PHASE DISTRIBUTION CORE TYPE WITH 2-STEP CRUCIFORM SECTION 1K-VA 220:3000V TRANSFORMER)

九月
九月九日
Lunar New Year

รายงานผู้อำนวยการสำนักงานเขตพื้นที่การศึกษากรุงเทพมหานครฯ ประจำปีงบประมาณ พ.ศ.๒๕๔๐

CONTRIBUTION

หม้อแปลงแรงดันไฟฟ้าเดียว ชนิดขดลวดล้อมแกนพื้นที่หน้าตัดแกนเหล็กแบบ

2 ขั้น Cruciform section ขนาด 1 kVA 220 : 3000 V

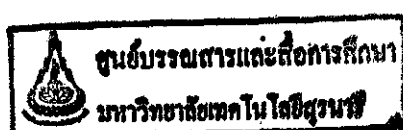
(Single - phase distribution core type with 2 - step cruciform section

1 kVA 220:3000 V. transformer)

นายปฐวิพิช พยัชร์ยุลักษณ์ B3702055

นายไพบูลย์ สุดวิสัย B3707029

รายงานนี้เป็นส่วนหนึ่งของการศึกษาตามหลักสูตรปริญญาวิศวกรรมศาสตรบัณฑิต
สาขาวิชาชีวกรรมไฟฟ้า สำนักวิชาเทคโนโลยีอุตสาหกรรม
มหาวิทยาลัยเทคโนโลยีสุรนารี
ปีการศึกษา 2540





ใบรับรองโครงงานวิศวกรรม
สำนักวิชาเทคโนโลยีอุตสาหกรรม
มหาวิทยาลัยเทคโนโลยีสุรนารี

เรื่อง หม้อแปลงแรงดันไฟฟ้าไฟเดียว ชนิดคลัวด้อมแกนพื้นที่หน้าตัดแกนเหล็กแบบ 2 ชั้น

Cruciform section ขนาด 1 kVA 220 : 3000 V

โดย นายปัญวิช ชัยเจริญลักษณ์
นายไพบูลย์ สุคิริลัย

ได้รับอนุมัติให้เป็นส่วนหนึ่งของการศึกษาตามหลักสูตรปริญญาวิศวกรรมศาสตรบัณฑิต
สาขาวิชาวิศวกรรมไฟฟ้า

คณบดี

วันที่ เดือน พ.ศ. 2540

คณะกรรมการสอน

ดร. วิรุฬห์ มังคละวิรัช ประธานกรรมการ

(รศ. วิรุฬห์ มังคละวิรัช)

อาจารย์ มนันพ รุจิการ กรรมการ

(อาจารย์ มนันพ รุจิการ)

ดร. พนุกย์ ใจยนิต กรรมการ , ที่ปรึกษาโครงงาน

(รศ. พนุกย์ ใจยนิต)

โครงการ	หม้อแปลงแรงดันไฟฟ้าเฟสเดียว ชนิดชุดลวดตัวออมแกน พื้นที่หน้าตัดแกนเหล็กแบบ 2 ขั้น Cruciform section ขนาด 1kVA 220:3000V
ผู้ดำเนินงาน	1. นายปัญวิศิ ชัยเจริญลักษณ์ 2. นายไพบูลย์ สุคิริสัย
อาจารย์ที่ปรึกษา	รศ. ไพบูลย์ ไชยนิล
สาขาวิชา	วิศวกรรมไฟฟ้า
ภาคการศึกษาที่	2/2540

บทคัดย่อ

โครงการวิศวกรรมไฟฟ้าเรื่องการออกแบบและการสร้างหม้อแปลงแรงดันไฟฟ้า เฟสเดียวชนิดชุดลวดตัวออมแกน (Single - phase distribution transformer with 2- step cruciform section) แปลงแรงดันขึ้นจาก 220 โวลท์ เป็น 3000 โวลท์ ประกอบด้วยการออกแบบเพื่อกำหนดค่าลักษณะสมบัติ และพารามิเตอร์ต่าง ๆ ให้เหมาะสม ขั้นตอนการสร้างหม้อแปลงไฟฟ้า การทดสอบหม้อแปลงไฟฟ้า และการวิเคราะห์ค่าลักษณะสมบัติ และพารามิเตอร์ต่าง ๆ ที่ได้จากการสร้าง และทดสอบ ซึ่งเป็นการนำเสนอทฤษฎีของหม้อแปลงไฟฟ้า มาประยุกต์ใช้ ทำการสร้าง และออกแบบให้ได้หม้อแปลงที่มีประสิทธิภาพสูง

Project Single - phase distribution core type with 2 - step cruciform section
rating 1 kVA 220 : 3000 V

Written by 1. Mr. Patiwat Chaijaroenluk
2. Mr. Phaisarn Sudwilai

Supervisor Associate Professor Phaibul Chaiyanil

School of Electrical Engineering

Timesty 2/1997

Abstract

The work described in this report deals with the design and construction of a single-phase distribution transformer with 2 - step cruciform section. The rating is 1kVA 220:3000 V. step up transformer. This report includes the design to assign an optimum parameter, the procedure to build a transformer, and the test and the analysis of the characteristic and parameter of the transformer. The design is aimed to have high efficiency.

กิตติกรรมประกาศ

ในการทำโครงการ วิศวกรรมไฟฟ้า นี้ ได้ทำขึ้นเพื่อเป็นการนำทฤษฎีที่ได้ศึกษามาทั้งหมดมาประยุกต์ใช้ในการทำโครงการวิศวกรรมไฟฟ้า และสามารถบรรลุวัตถุประสงค์ของทุก ๆ ฝ่าย ซึ่งการทำโครงการ วิศวกรรมไฟฟ้า ครั้งนี้จะสำเร็จไม่ได้ ถ้าขาดบุคคลผู้มีพระคุณในการทำโครงการวิศวกรรมไฟฟ้าครั้งนี้ ผู้ทำโครงการ งานจึงขอสุดคิดท่านไว้ ณ. โอกาสันนี้ ดังมีรายชื่อดังต่อไปนี้

รศ. ไพบูลย์ ไชยนิต
รศ. วิรุฬห์ มังคละวิรัช
รศ. นท. ดร. สราวนิ ฤทธิช
อาจารย์ ชวิติ คำรงรัตน์
อาจารย์ เรวัติ ไวนีปะ
อาจารย์ มนพ รุจิภาก
อาจารย์ รังสรรค์ วงศ์สรรค์
พศ. สุขุมน์ สัตထย়ปะกอบ
พศ. สุวิทย์ บุณยชัยยะ
พศ. ดร. บัณฑิต เอื้ออาภรณ์
อาจารย์ พันธ์พงศ์ อภิชาตกุล
อาจารย์ อนันต์ อุ่นศิวไลย
ดร. อรชุน ไชยเสนะ¹
คณาจารย์ สำนักวิชาวิทยาศาสตร์

คณาจารย์ทุกท่านทั้งในอดีต และปัจจุบันที่ได้ถ่ายทอดความรู้ต่าง ๆ และบุพการิที่ได้อบรม และเลี้ยงดู ผู้ทำโครงการวิศวกรรมไฟฟ้า

ในการทำโครงการวิศวกรรมไฟฟ้าครั้งนี้ ต้องขอบพระคุณรองศาสตราจารย์ ไพบูลย์ ไชยนิต ที่ได้ให้การตรวจสอบผลการออกแบบ ให้คำแนะนำและถ่ายทอดการทำโครงการวิศวกรรมไฟฟ้า รองศาสตราจารย์ นท. ดร. สราวนิ ฤทธิช ที่ได้ให้คำแนะนำในการทำโครงการวิศวกรรมไฟฟ้า และที่ขาดไม่ได้อีก เช่น หน้าที่ และบุคคลากรประจำศูนย์เครื่องมือ 1 ห้อง ปฏิบัติการเครื่องมือกล ที่ให้คำแนะนำ และช่วยเหลือในการทำโครงการ วิศวกรรมไฟฟ้าครั้งนี้ ตลอดจน คุณประพล สาระตะกุ คุณบุญเรือง มะรังค์ และบุคคลากรในห้องปฏิบัติการ เครื่องจักรกลไฟฟ้า ทุก ๆ ท่าน เพื่อน ๆ ในสาขาวิชาวิศวกรรมไฟฟ้าปีที่ 4 ทุกคนที่ได้ให้กำลังใจ ตลอดจนคำแนะนำต่าง ๆ ในการทำงาน

สารบัญ

บทคัดย่อ	๑
กิตติกรรมประกาศ	๑
สารบัญรูปภาพ	๗
สารบัญตาราง	๙
บทที่ ๑ บทนำ	๙
1.1 กล่าวนำ	๑
1.2 วัตถุประสงค์และเป้าหมายของ โครงการวิศวกรรมไฟฟ้า	๑
1.3 เค้าโครงของงาน โครงการวิศวกรรมไฟฟ้า	๑
1.4 การจัดรูปเล่มรายงาน	๒
บทที่ ๒ ทฤษฎีพื้นฐาน และ ภูมิหลังของงานที่เกี่ยวข้อง	
2.1 กล่าวนำ	๓
2.2 ภูมิหลังของงานที่เกี่ยวข้อง	๓
2.3 โครงสร้างของหม้อแปลงไฟฟ้า	๔
2.4 การพิจารณาความสัมพันธ์ระหว่างค่าพารามิเตอร์ต่าง ๆ ในชุดควบคุมภูมิในสภาวะไร้โหลด	๗
2.5 การพิจารณาค่าความสัมพันธ์ระหว่างค่าพารามิเตอร์ต่าง ๆ ในสภาวะมีโหลด	๙
2.6 การพิจารณาของสมดุลของหม้อแปลงไฟฟ้า	๑๑
2.7 กำลังสูญเสียในหม้อแปลงไฟฟ้า	๑๒
2.8 การพิจารณาประสิทธิภาพของหม้อแปลงไฟฟ้า	๑๕
2.9 สรุป	๑๖
บทที่ ๓ ความรู้เบื้องต้นในการออกแบบหม้อแปลงไฟฟ้า	
3.1 กล่าวนำ	๑๘
3.2 ชนิดของหม้อแปลงไฟฟ้า	๑๘
3.3 สมการหาอุก	๒๐
3.4 ข้อจำกัดในการใช้ค่าความหนาแน่นของฟลักซ์ และความหนาแน่นกระแส	๒๑
3.5 ความหนาแน่นกระแสในชุดควบคุม	๒๒
3.6 การอนุวาน	๒๓
3.7 ตัวประกอบพื้นที่	๒๓
3.8 การออกแบบโครงสร้างหม้อแปลงไฟฟ้า	๒๓
3.9 Arrangement of coil-leakage reactance	๒๖
3.10 การคำนวณค่ากระแสกระตุ้น	๒๖

3.11 Magnetic leakage in transformer	27
3.12 การคำนวณค่าแรงดันตก (IR drop)	28
3.13 การแสดงวงจรเตอร์ของหม้อแปลงและผลกระบวนการของฟลักซ์รั่ว	32
3.14 การคุณค่าแรงดัน	33
3.15 ประดิษฐิภาพ	34
3.16 สรุป	35
บทที่ 4 ข้อมูลของการออกแบบสำหรับหม้อแปลงไฟฟ้า	
4.1 กล่าวนำ	37
4.2 Specification	39
4.3 การคำนวณ	39
4.4 พื้นที่หน้าตัด	41
4.5 ความยาวเฉลี่ยของเส้นทางฟลักซ์	43
4.6 ค่ากำลังสูญเสียในขาด漉ค	43
4.7 ขนาดเส้น漉คและการจัดวางขาด漉ค	45
4.8 แรงดันตก และกำลังสูญเสียในขาด漉ค	47
4.9 สรุป	49
บทที่ 5 ขั้นตอนการสร้างหม้อแปลงไฟฟ้า	
5.1 กล่าวนำ	50
5.2 วัสดุอุปกรณ์การสร้างหม้อแปลงไฟฟ้า	50
5.3 ขั้นตอนการสร้างหม้อแปลงไฟฟ้าระดับที่ 1	51
5.4 ขั้นตอนการสร้างหม้อแปลงไฟฟ้าระดับที่ 2	53
5.5 ขั้นตอนการสร้างหม้อแปลงไฟฟ้าระดับที่ 3	54
5.6 สรุป	57
บทที่ 6 การวิเคราะห์ค่าพารามิเตอร์ต่าง ๆ ที่ได้จากการทดสอบหม้อแปลงไฟฟ้า	
6.1 กล่าวนำ	58
6.2 การทดสอบหม้อแปลงที่สภาพเป็น涓流	58
6.3 การทดสอบหม้อแปลงที่สภาพเป็น涓流	60
6.4 การทดสอบห่วงจรสมมูลของหม้อแปลงไฟฟ้า	61
6.5 การทดสอบหาค่าประดิษฐิภาพของหม้อแปลงไฟฟ้า	62
6.6 การตรวจสอบหาค่าโวลท์เทจรูเกชั่นของหม้อแปลงไฟฟ้า	63
6.7 สรุป	64

บทที่ 7 ข้อสรุปและข้อเสนอแนะ	
7.1 ข้อสรุป	65
7.2 ข้อเสนอแนะ	66
เอกสารอ้างอิง	67
บรรณานุกรม	68
ภาคผนวก ก. (ตารางแสดงขนาดของเส้นลวดที่ใช้ในการพันหม้อแปลงไฟฟ้า)	69
ภาคผนวก ข. (ตารางแสดงค่าความต้านทานของเส้นลวดที่อุณหภูมิ 25.องศาเซลเซียส)	72
ภาคผนวก ค. (กราฟค่านวนกระแสกระแสตู้นและกำลังสูญเสียในแกนเหล็ก)	74
ภาคผนวก ง. (ข้อมูลหม้อแปลงไฟฟ้าในโครงงานวิศวกรรมไฟฟ้า)	77
ประวัติผู้ทำโครงงานวิศวกรรมไฟฟ้า	80

สารบัญรูปภาพ

รูปที่ 2.1 รูปแสดงการทดลองของฟาราเดีย	3
รูปที่ 2.2 รูปแสดงแกนเหล็กหนืดเปล่งชนิดคลวดล้อมแกน	5
รูปที่ 2.3 รูปแสดงตำแหน่งการใส่ขดลวดในแกนเหล็กของหนืดเปล่ง	5
รูปที่ 2.4 รูปแสดงหนืดเปล่งชนิดคลวดล้อมแกนเมื่อประกอบแล้ว	6
รูปที่ 2.5 รูปแสดงภาคตัดกรองสร้างหนืดเปล่งชนิดแกนล้อมคลวด	6
รูปที่ 2.6 รูปแสดงขดลวดแพนเค้ก	7
รูปที่ 2.7 รูปแสดงหนืดเปล่งพื้นฐาน	7
รูปที่ 2.8 รูปแสดงเฟสเซอร์วัสดุหนืดเปล่งอุดมคติในสภาวะเปิดวงจรด้านปฐมภูมิ	8
รูปที่ 2.9 รูปแสดงเฟสเซอร์โดยแกรมของหนืดเปล่ง	9
รูปที่ 2.10 รูปแสดงหนืดเปล่งในสภาวะมีไอลด์	9
รูปที่ 2.11 รูปแสดงวงจรสมดุลของหนืดเปล่ง	11
รูปที่ 2.12 รูปแสดงวงปีดซิสเทอร์ชีส	12
รูปที่ 2.13 รูปแสดงทางของกระแสอีคค์ที่ไหลในแผ่นเหล็ก	13
รูปที่ 3.1 รูปแสดงลักษณะของหนืดเปล่งชนิดต่าง ๆ	19
รูปที่ 3.2 รูปแสดงการจัดวางแผ่นเหล็ก laminate	19
รูปที่ 3.3 รูปแสดงแสดงค่ากำลังสูญเสียในแกนเหล็ก	21
รูปที่ 3.4 รูปแสดงลักษณะของแกนเหล็กของหนืดเปล่งชนิดแกนล้อมคลวด	23
รูปที่ 3.5 รูปแสดงลักษณะของแกนเหล็กของหนืดเปล่งชนิดคลวดล้อมแกน	24
รูปที่ 3.6 รูปแสดงความสัมพันธ์ระหว่างค่า C, W, L	24
รูปที่ 3.7 รูปแสดงลักษณะของพื้นที่หน้าตัดของแกนเหล็กชนิด Cruciforms section	25
รูปที่ 3.8 รูปแสดงการจัดวางขดลวดในหนืดเปล่งชนิดคลวดล้อมแกน	26
รูปที่ 3.9 รูปแสดงเวกเตอร์แสดงค่ากระแสกระแสต้น	27
รูปที่ 3.10 รูปแสดงลักษณะของสนามแม่เหล็ก	27
รูปที่ 3.11 รูปแสดงลักษณะของสนามแม่เหล็กบริเวณรอยต่อ	28
รูปที่ 3.12 รูปแสดงพื้นที่หน้าตัดของหนืดเปล่งชนิดคลวดล้อมแกน	28
รูปที่ 3.13 รูปแสดงพื้นที่หน้าตัด แสดงรายละเอียดของการจัดวางขดลวด	29
รูปที่ 3.14 รูปแสดงเวกเตอร์แสดงลักษณะสมบัติของหนืดเปล่ง	32
รูปที่ 3.15 รูปแสดงเวกเตอร์แสดงการคุมค่าแรงดัน	33
รูปที่ 4.1 รูปแสดงลักษณะความสัมพันธ์ของหน้าต่าง	40
รูปที่ 4.2 รูปแสดงพื้นที่หน้าตัด แกนเหล็กแบบ Cruciform 2-ชั้น	42
รูปที่ 4.3 รูปแสดงทางเดินของสนามแม่เหล็ก	43
รูปที่ 4.4 รูปแสดงขนาดของขดลวด และการจัดวาง	45

รูปที่ 5.1 รูปแสดงอุปกรณ์การพัฒนาลวด	50
รูปที่ 5.2 รูปแสดงแกนไม้กี้สิ่ง	51
รูปที่ 5.3 รูปแสดงถักยนต์การพัฒนาลวด	52
รูปที่ 5.4 รูปแสดงขดลวดที่พันเสร็จเรียบร้อยแล้ว	52
รูปที่ 5.5 รูปแสดงการเรียงแกนเหล็ก	53
รูปที่ 5.6 รูปแสดงแกนเหล็กหนืดเปล่ง	54
รูปที่ 5.7 รูปแสดงแกนเหล็กของหนืดเปล่งที่นำส่วนบนออก	54
รูปที่ 5.8 รูปแสดงแผ่นเบ้าໄลท์	55
รูปที่ 5.9 รูปแสดงหนืดเปล่งที่ประกอบแล้ว	55
รูปที่ 5.10 รูปแสดงหนืดเปล่งไฟฟ้าที่เสร็จสมบูรณ์	56
รูปที่ 6.1 รูปแสดงการทดสอบหนืดเปล่งที่สภาพเปิดดวงจร	58
รูปที่ 6.2 รูปแสดงการทดสอบหนืดเปล่งที่สภาพลักษณะ	60
รูปที่ 6.3 รูปแสดงวงจรสมมูลของหนืดเปล่ง	61
รูปที่ 6.4 รูปแสดงวงจรสมมูลของหนืดเปล่งที่ได้จากการทดสอบ	62

สารบัญตาราง

ตารางที่ 3.1 แสดงค่าความหนาแน่นฟลักซ์ที่ใช้ในการออกแบบหม้อแปลง	21
ตารางที่ 3.2 แสดงค่าความหนาแน่นของกระแสในคลัวด	22
ตารางที่ 3.3 แสดงการณวน	23
ตารางที่ 4.1 แสดงข้อมูลในการออกแบบหม้อแปลง	37

บทที่ 1

บทนำ

1.1. กล่าวนำ

ในระบบส่งจ่ายกำลังไฟฟ้านี้ หม้อแปลงไฟฟ้านับว่าเป็นอุปกรณ์ที่มีความสำคัญมากในการส่งจ่ายกำลังไฟฟ้า ด้วยข้อจำกัดทางด้านเครื่องจักรกล และปัญหาการสูญเสียในการส่งงานเป็นต้องต้องส่งจ่ายด้วยแรงดันไฟฟ้าสูง ๆ หม้อแปลงไฟฟ้าจึงมีความจำเป็นอย่างยิ่งที่จะต้องนำมาใช้ในการส่งกำลังไฟฟ้า ไปยังผู้ใช้ที่อยู่ห่างไกลจากแหล่งผู้ผลิตกำลังงานไฟฟ้า

1.2 วัตถุประสงค์และเป้าหมายของโครงการวิศวกรรมไฟฟ้า

- เพื่อนำเอาความรู้ที่ได้ศึกษาร่องหน้าอย่างหม้อแปลงไฟฟ้ามาใช้ในการสร้างและออกแบบหม้อแปลงไฟฟ้า
- เพื่อฝึกการทำงานโดยการออกแบบ และสร้างหม้อแปลงไฟฟ้าอย่างเป็นขั้นตอน
- เพื่อฝึกการทดสอบหม้อแปลง
- เพื่อฝึกการทำงานร่วมกันเป็นกุ่ม

1.3 เค้าโครงของงานโครงการวิศวกรรมไฟฟ้า

1.3.1 ชื่อโครงการวิศวกรรมไฟฟ้า

“Single - phase distribution core type with 2-step cruciform section 1 kVA 220/3000 V transformer”

1.3.2 วิธีดำเนินงาน

- ศึกษาทฤษฎีของหม้อแปลงไฟฟ้า
- ออกแบบหม้อแปลงไฟฟ้า
- ซื้ออุปกรณ์ในการทำหม้อแปลงไฟฟ้า
- สร้างชิ้นส่วนต่าง ๆ ของหม้อแปลงไฟฟ้า
- ประกอบหม้อแปลงไฟฟ้า
- ทดสอบหม้อแปลงไฟฟ้า

1.3.3 ประโยชน์ที่คาดว่าจะได้รับ

- ได้รับความรู้เกี่ยวกับหม้อแปลงไฟฟ้า
- ได้รับความรู้เกี่ยวกับการแก้ปัญหาในการสร้างและทดสอบหม้อแปลงไฟฟ้าในทางปฏิบัติ
- ได้นำทฤษฎีที่ได้ศึกษามาพัฒนาประยุกต์ให้เกิดประโยชน์สูงสุด
- ได้รับความรู้ในการสร้างหม้อแปลงไฟฟ้าในทางปฏิบัติ

1.3.4 แผนปฏิบัติงาน

ขั้นตอน	ระยะเวลาในการดำเนินการ
1. ศึกษาทฤษฎีของหม้อแปลงไฟฟ้า	13 ส.ค. 40 - 19 ส.ค. 40
2. ออกแบบหม้อแปลงไฟฟ้า	20 ส.ค. 40 - 22 ส.ค. 40
3. ซื้ออุปกรณ์	24 ส.ค. 40
4. ดำเนินการสร้างหม้อแปลงไฟฟ้า	
- พื้นที่คลาวด์	18 ต.ค. 40 - 20 ต.ค. 40
- ตัดแผ่นเหล็กเพื่อสร้างแกนเหล็ก	25 ต.ค. 40 - 29 ต.ค. 40
- ประกอบแกนเหล็ก	30 ต.ค. 40
- ประกอบหม้อแปลงไฟฟ้า	31 ต.ค. 40
- เคลือบวานิช	3 พ.ย. 40 - 4 พ.ย. 40
5. ทดสอบหม้อแปลงไฟฟ้า	5 พ.ย. 40 - 9 พ.ย. 40
6. เขียนรายงาน	10 พ.ย. 40 - 20 พ.ย. 40

รวมระยะเวลาในการสร้างและออกแบบหม้อแปลงไฟฟ้า 4 เดือน เริ่มตั้งแต่ 13 สิงหาคม 2540 ถึง วันที่ 20 พฤศจิกายน 2540

1.4 การจัดรูปเล่มรายงาน

โครงการวิศวกรรมไฟฟ้าได้จัดทำรูปเด่นรายงานซึ่งประกอบด้วยทฤษฎีเบื้องต้นเกี่ยวกับหม้อแปลงไฟฟ้า ขั้นตอนการออกแบบ ขั้นตอนการสร้างหม้อแปลงไฟฟ้า การทดสอบหม้อแปลงไฟฟ้า

บทที่ 2

ทฤษฎีพื้นฐานและภูมิหลังของงานที่เกี่ยวข้อง

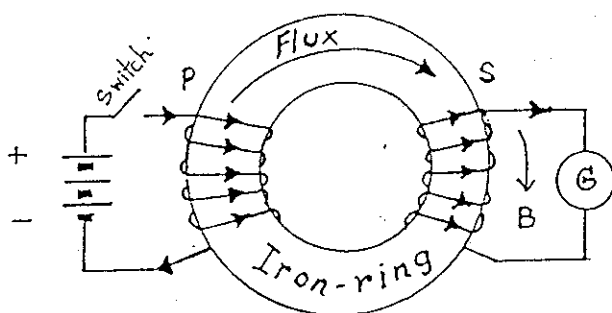
2.1 กล่าวนำ

ในการที่จะพิจารณาถึงการออกแบบและสร้างหม้อแปลงไฟฟ้านั้น ล้วนที่มีความสำคัญและต้องคำนึงก่อน ก็คือ การศึกษาและทำความเข้าใจเกี่ยวกับ ทฤษฎีพื้นฐานต่างๆ ตลอดจนภูมิหลังของงานที่เกี่ยวข้อง ว่ามีประวัติ ความเป็นมาอย่างไร มีการกล่าวถึงทฤษฎีไว้อย่างไรบ้าง ขอบเขตของการนำไปใช้มีมากน้อยเพียงใด ซึ่งจะทำให้เราเข้าใจในหลักการของทฤษฎีนี้ และสามารถพัฒนาต่อไป และสามารถทำทฤษฎีเหล่านี้ไปประยุกต์ใช้กับงานได้อย่างเหมาะสม และเพรียบเทียบกัน โดยในบทนี้จะเป็นกรอบกล่าวถึงประวัติความเป็นมาของหม้อแปลงไฟฟ้าและทฤษฎีพื้นฐานหลักๆ ของหม้อแปลง ดังมีรายละเอียดดังนี้

2.2 ภูมิหลังของงานที่เกี่ยวข้อง

หลังจากเออร์สเตต(Oersted) ได้เสนอผลงานในปี ค.ศ.1820 ที่แสดงว่าสีน้ำตาล้วนที่มีกระแสไฟฟ้าไหลอยู่สามารถทำให้เข็มทิศเบี่ยงเบนและยังสามารถให้เห็นว่าสนามแม่เหล็กและกระแสไฟฟ้ามีส่วนสัมพันธ์ซึ่งกันและกัน กระแสไฟฟ้าสามารถทำให้เกิดสนามแม่เหล็ก เออร์สเตต ได้ทำการทดลองต่อมาอีกเป็นจำนวนมาก และได้เสนอข้อสรุปว่าควรเป็นไปได้ถ้าจะผลิตกระแสไฟฟ้าจากสนามแม่เหล็กที่มีอยู่ จนกระทั่งปี ค.ศ. 1831 ฟาราเดย์ จึงสามารถพิสูจน์ขึ้นยันทบทวนว่า ได้สำเร็จและได้เสนอหลักการเกี่ยวกับ แม่เหล็กไฟฟ้าหนึ่ง นาม(Electromagnetic induction)

เครื่องทดลองของฟาราเดย์ประกอบด้วย เหล็กย่อนทำเป็นวงแหวน มีคลาวด์พันอยู่สองชุด ชุดแรกจะต่อเข้ากับแบตเตอรี่ผ่านสวิตช์ ปลายทั้งสองของคลาวด์ชุดที่ 2 ต่อเข้ากับ ภาชนะออมิเตอร์ เมื่อสับสวิตช์กระแสในชุดคลาวด์ปฐมภูมิ(P) จะเพิ่มขึ้นตามเวลา พลักซ์จะเกิดขึ้นในแกนเหล็กและจะเคลื่อน ชุดคลาวด์ที่สอง(S) ตามกฎมือขวาของเฟลมิง (Fleming's right hand rule) ทิศทางของแรงดันเหนี่ยวนำจะเป็นไปตามลูกศรของรูปที่ 1 เมื่อสวิตช์ถูกเปิดฟลักซ์ที่มีอยู่ในแกนเหล็กก็จะหายไป ด้วยตัววัดเป็นศูนย์จะเกิดแรงดันเหนี่ยวนำในทางตรงข้ามกับกรณีแรก ภาชนะออมิเตอร์จะชี้ทิศทางของการเกิดแรงดันเหนี่ยวนำ ทั้งตอนสับสวิตช์ และตอนเปิดสวิตช์



รูปที่ 2.1 การทดลองของฟาราเดย์

ชุดทดลองของฟาราเดย์ นับได้ว่าเป็นพื้นฐานในการออกแบบหม้อแปลงไฟฟ้ากระแสสลับในปัจจุบัน จะแตกต่างกับข้างต่อไปในเรื่องการออกแบบ การใช้วัสดุในการสร้าง ส่วนหลักการทำงานจะเป็นแบบเดียวกัน

ที่ฟาราเดียได้เสนอไว้ทั้งหมด เห็นแก่นที่จะต้องคลอดปฐมนิมิ เข้ากับไฟกระแสตรงแล้วปิดเปิดสวิตช์ เพื่อให้เกิด แรงดันกลับไปมา หม้อแปลงปัจจุบันจะต่อเข้ากับไฟกระแสสลับ พลั๊ซที่เกิดในแกนเหล็กจะเปลี่ยนแปลงขนาด ตามเวลาทำให้เกิดแรงดันหนึ่งขึ้นในคลอดทุติกวมิ เห็นกัน

หม้อแปลงไฟฟ้าเป็นเครื่องจักรกลไฟฟ้าชนิดที่ใช้ในการส่งถ่ายพลังงานไฟฟ้าโดยถักยณะการทำงานของหม้อแปลงไฟฟ้าจะเป็นเครื่องมือในการเปลี่ยนแปลงแรงดันไฟฟ้า ซึ่งไม่สามารถที่จะเปลี่ยนแปลงกำลังงานไฟฟ้าไปเป็นพลังงานในรูปแบบอื่นเหมือนกับ mosotore หรือเครื่องกำเนิดกระแสไฟฟ้า แต่หม้อแปลงไฟฟ้าจะเปลี่ยนเฉพาะค่าพารามิเตอร์ทางไฟฟ้า ซึ่งแรงดันไฟฟ้าอาจจะถูกเพิ่มขึ้นเมื่อผ่านหม้อแปลงไฟฟ้า แต่ไม่ได้มายความว่าหม้อแปลงไฟฟ้าจะสร้างพลังงานได้แต่ทุกๆแรงดันที่เพิ่มขึ้นหมายถึง กระแสไฟฟ้าจะลดลง โดยหม้อแปลงไฟฟ้าจะเปลี่ยนแรงดันให้มีค่าสูงขึ้นหรือต่ำลงจากเดิมก็ได้แต่กระแสไฟฟ้าจะมีค่าตรงกันข้ามกับแรงดันด้วย

การแบ่งชนิดของหม้อแปลงไฟฟ้าอาจจะแบ่งตามจำนวนเฟส , วิธีการระบายน้ำความร้อนแต่ส่วนมากจะแบ่งชนิดของหม้อแปลงตามขนาดของหม้อแปลงไฟฟ้ามากกว่าคือ หม้อแปลงไฟฟ้ากำลัง (Power transformer) และ หม้อแปลงระบบจำหน่าย (Distribution transformer) ซึ่งหม้อแปลงไฟฟ้ากำลังจะเป็นหม้อแปลงที่ใช้งานในระบบสายส่งที่มีขนาดใหญ่มากทั้งขนาดและกำลังงานและขั้นบันไดแรงดันสูง ส่วนหม้อแปลงระบบจำหน่าย จะมีขนาดเล็กกว่าหม้อแปลงไฟฟ้ากำลังซึ่งหมายความกับย่านที่อยู่อาศัย ส่วนหม้อแปลงชนิดอื่นๆที่ถูกสร้างขึ้นมาใช้ยัง มีอีกเช่น หม้อแปลงเครื่องมือวัด(Instrument transformer) , หม้อแปลงกระแสไฟฟ้าคงที่(Constant current transformer) เป็นต้น

2.3 โครงสร้างของหม้อแปลง

ตามลักษณะ โครงสร้างของหม้อแปลงที่จะนำมาเป็นหลักพิจารณาในการแบ่งชนิดของหม้อแปลงได้ โดยโครงสร้างของหม้อแปลงจะมีอยู่ 2 ชนิดหลักคือ

1.ชนิดคลอดล้อมแกน (Core type)

2.ชนิดแกนล้อมคลอด (Shell type)

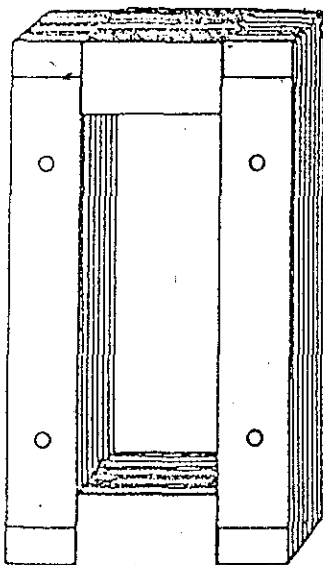
โดยโครงสร้างของทั้ง 2 ชนิดจะมีคุณสมบัติที่เหมาะสมกับหม้อแปลงในแต่ละชนิด ซึ่งโครงสร้างแบบ ชนิดคลอดล้อมแกน จะเป็นโครงสร้างที่ง่ายและใช้พื้นที่หน้าตัดน้อยแต่มีความยาวของวงจรแม่เหล็กมากซึ่งทำให้สามารถพันคลอดได้มากรอบ และการพันคลอดบนหม้อแปลงชนิดคลอดล้อมแกน นี้จะกระทำได้ง่ายโดย จะพันเป็นรูปทรงกระบอก และโครงสร้างแบบนี้ยังหมายความที่จะใช้กับแรงดันสูงซึ่งมีการใช้คลอดมาก และการ วนน้ำที่แข็งแรงซึ่งจะทำให้มีกระแสต่ำ และคลอดที่ใช้ก็จะมีขนาดเล็กลง ซึ่งจะทำให้ค่าความหนาแน่นแม่ เหล็กน้อยด้วย

ส่วนหม้อแปลงแบบชนิดแกนล้อมคลอด (Shell type) และแบบอื่นๆนั้นจะใช้ในหม้อแปลงที่มีแรงดัน ไม่สูงมากและใช้จำนวนรอบของคลอดน้อย มีการกับจนวนไม่มาก มีกระแสสูง และความต่ำ และจะมีพลั๊ซแม่ เหล็กเป็นลักษณะเดียวกัน

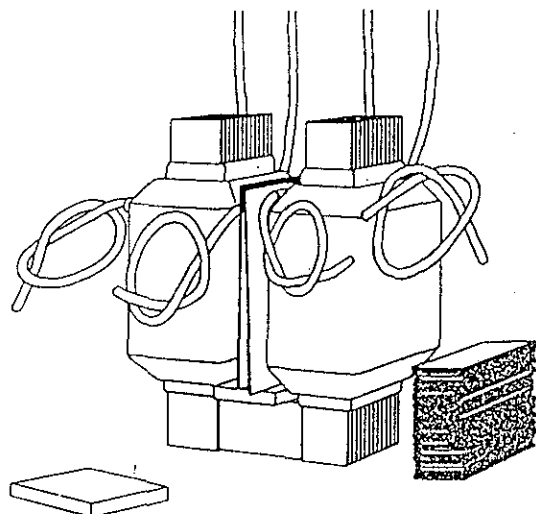
2.3.1 โครงสร้างชนิด คลอดล้อมแกน (Core type)

ลักษณะพื้นฐานของหม้อแปลงชนิดคลอดล้อมแกนนี้จะมีลักษณะแกนเหล็กดังรูปที่ 1.2 ซึ่ง เป็นแกนเหล็กของหม้อแปลงไฟฟ้าเดียว โดยในส่วนของแกนเหล็กนี้จะประกอบมาจากแผ่นเหล็กบางๆ โดยจะมี

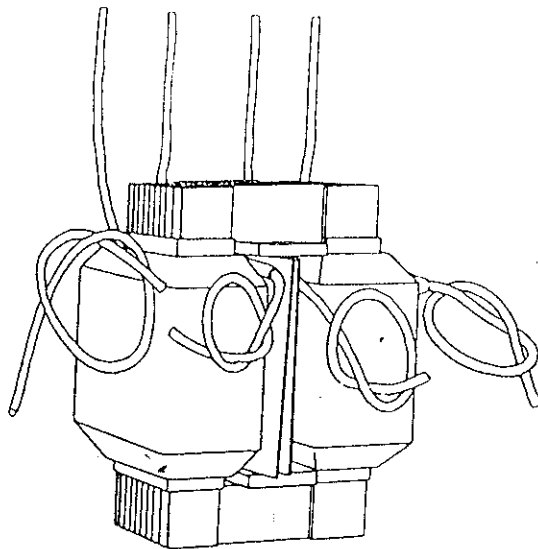
ส่วนที่เรียกว่า ส่วนขา ซึ่งเป็นส่วนที่ถูกขัดคลวคตด้อง และส่วนที่เรียกว่าส่วนเข้าคู่ (Yokes) ซึ่งเป็นส่วนที่มีขนาด
สั้นกว่าประมาณ 2.5 เท่าของส่วนขา และหน้าแปลงโครงสร้างแบบคลวคล้อแกนนี้จะมีส่วนคลวคล้ออยู่ 4 แกน
โดยคลวคล้อทั้ง 4 แกนนี้จะเป็นแกนของด้านปฐมภูมิ 2 แกน และแกนทุติยภูมิ 2 แกน ซึ่งในการนำขดลวดมาคล้อด้อง^{กับขาของแกนเหล็ก จะนำเอาด้านที่มีแรงดันต่ออยู่ด้านในขาแกนเหล็ก ส่วนคลวคล้อที่มีแรงดันสูงกว่าจะอยู่ด้าน}
นอก โดยในการคล้อด้องของคลวนี้จะต้องมีการกันชนวนระหว่างแกนเหล็กกับตัวของคลวด และระหว่างชั้น^{ภายในของคลวคที่มีการกันชนวนระหว่างชั้นซึ่งเป็นการป้องกันการสั่นของรากยานในคลวด และในขณะคล้อของคล}
คลวคที่จะเปิดช่องด้านบนของแกนเหล็กออกเสียก่อนดังรูป 2.3 และเมื่อคล้อด้องของคลวดเสร็จก็ทำการปิดแกนเหล็ก^{ส่วนบน ซึ่งจะได้รูปแบบของหน้าแปลงที่ประกอบแล้วดังรูป 2.4}



รูปที่ 2.2 แกนเหล็กหน้าแปลงชนิดขดลวดล้อมแกน



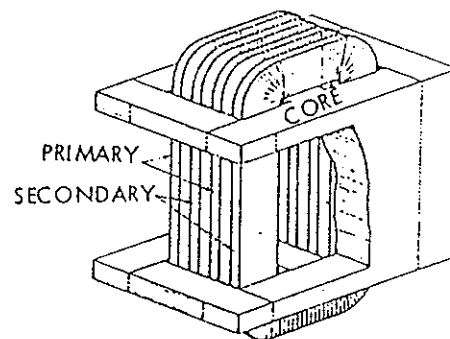
รูปที่ 2.3 คำแนะนำในการใส่ขดลวดในแกนเหล็ก



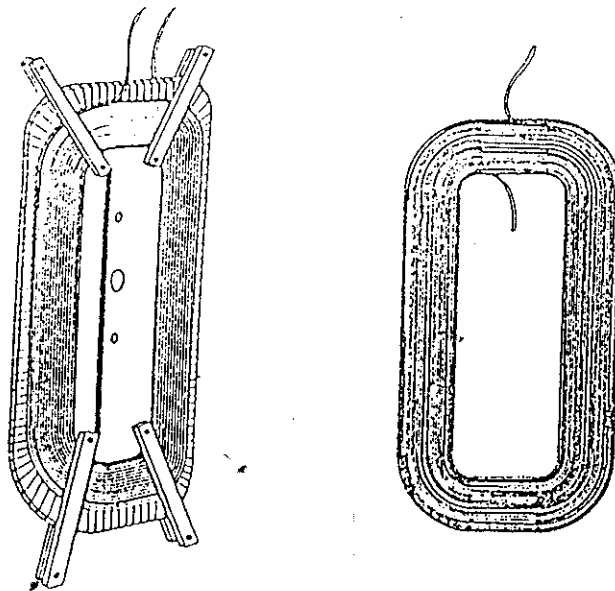
รูปที่2.4 หม้อแปลงชนิดขดล้อมแกนเมื่อประกอบแล้ว

2.3.2 โครงสร้างชนิดแกนล้อมคลัวด (Shell type)

ลักษณะพื้นฐานหม้อแปลงประเภทนี้จะมีรูปลักษณะตามรูป 2.5 ซึ่งหม้อแปลงชนิดนี้จะเกิดฟลักช์รั่ว(Leakage flux) น้อยที่สุด เพราะว่าขดลวดที่หันรอบแกนกลางของแกนเหล็กและแกนเหล็กด้านนอกที่ล้อมรอบขดลวดอีกชั้นหนึ่งซึ่งรูป2.5 จะแสดงโครงสร้างพื้นฐานของหม้อแปลงไฟตัดيارวงแบบชนิดแกนล้อมขดลวด ซึ่งแกนเหล็กทำมาจากแผ่นเหล็กบางๆ นำมาประกบกัน โดยในหม้อแปลงที่มีขนาดใหญ่ ขดลวดของหม้อแปลงชนิดนี้จะมีลักษณะการพันเป็นแบบ แพนแท็ค บนตัวแบบ ดังรูป2.6 โดยขดลวดจะมีลักษณะเป็นผืนเหลี่ยมซึ่งจะใช้ 1 รอบต่อ 1 ชั้น โดยแต่ละแผ่นขดลวดนี้จะมีการถอนที่พิเศษระหว่างรอบ



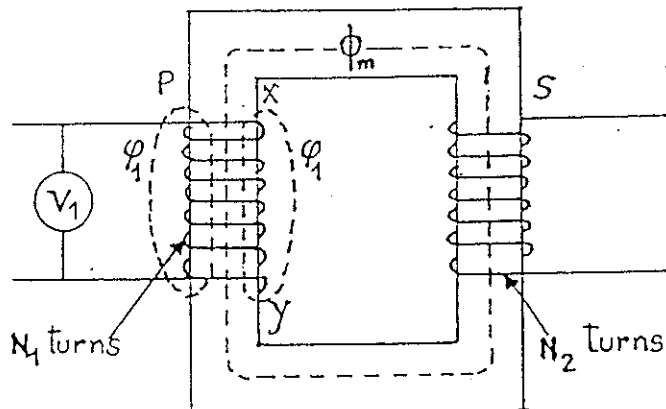
รูปที่2.5 ภาคตัด โครงสร้างหม้อแปลงชนิดแกนล้อมขดลวด



รูปที่ 2.6 ขดลวดแพนเก็ก

2.4 การพิจารณาความสัมพันธ์ระหว่างค่าพารามิเตอร์ต่างๆ ในขดลวดปฐมภูมิในสภาวะไร้โหลด

จากสภาวะไร้โหลดซึ่งแสดงว่าขดลวดทางด้านทุติยภูมิไม่มีการเปิดวงจร และมีการป้อนแหล่งจ่ายไฟสำหรับทางขดลวดปฐมภูมิดังรูปที่ 2.7



รูปที่ 2.7 หม้อแปลงพื้นฐาน

P=ขดลวดปฐมภูมิ

S=ขดลวดทุติยภูมิ

N₁=จำนวนรอบของขดลวดปฐมภูมิ

N₂=จำนวนรอบของขดลวดทุติยภูมิ

ϕ_m=ฟลักซ์ร่วม(Mutual flux)

ϕ₁=ฟลักซ์รั่ว (leakage flux)

จากการเปิดตามรูปที่ 2.7 ถ้าทำการวิเคราะห์ความสัมพันธ์ของกระแสปั๊ม(I₀) กับแรงดันปั๊มภูมิในรูปแบบของหม้อแปลงอุณหคติซึ่งจะมีข้อสมมุติที่ว่า

1. หม้อแปลงมีค่าฟลักซ์ ในแกนเหล็กที่เปลี่ยนโดยตรงกับแรงดันแม่เหล็ก(ค่าความชาร์จ ซึ่งได้(Permeability) มีค่าคงที่)
2. ไม่มีกำลังงานสูญเสียในแกนเหล็ก
3. ฟลักซ์ที่เกิดขึ้นในแกนเหล็กทั้งหมดเป็นฟลักซ์ร่วม
4. ในคล漉คปั๊มภูมิสมอ่อน ไม่มีความด้านทาน

จากข้อสมมุตินี้เมื่อไม่มีความด้านทานในคล漉คปั๊มภูมิทำให้กระแสในคล漉คให้อ่าย ไม่มีจุดจำกัดแต่เมื่อกระแสมีการเปลี่ยนแปลงก็จะทำให้ค่าฟลักซ์ เปลี่ยนแปลงตามด้วยซึ่งจะทำให้เกิด แรงดันเหนี่ยวนำ ขึ้นในคล漉คปั๊มภูมิตาม กฎของเดนซ์ โดยแรงดันนี้จะมีทิศทางตรงกันข้ามกับแรงดันที่คล漉คปั๊มภูมิต่ออยู่

จากกฎของฟาราเดย์ที่ว่า เมื่อมีการเปลี่ยนแปลงฟลักซ์ตามเวลาจะทำให้เกิดแรงดันเหนี่ยวนำและฟลักซ์ก็จะมีการเปลี่ยนแปลงตามกฎของเดนซ์ ทำให้สามารถเขียนสมการ ได้ว่า

$$e = -N_1 \frac{d\phi_m}{dt} \quad (2.1)$$

e = แรงดันเหนี่ยวนำ

N_1 = จำนวนคล漉คปั๊มภูมิ

ϕ_m = ฟลักซ์ร่วม

t = เวลา

ซึ่งจากสมการที่(2.1)สามารถหาค่าแรงดันประสิทธิผล(effective)ตามข้อกำหนดทั้ง 4 ข้อได้ค่า

$$E_1 = V_1 = \sqrt{2} \times 2\pi f N_1 \phi_{max} = 4.44 f N_1 \phi_{max} \quad (2.2)$$

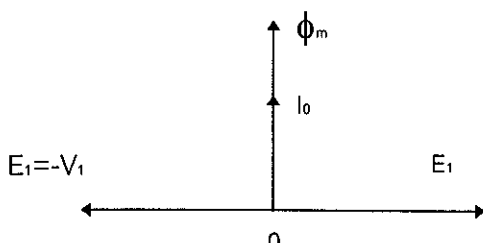
E_1 = แรงดันเหนี่ยวนำทางปั๊มภูมิ [V.]

V_1 = แรงดันที่ต่อ กับ คล漉คปั๊มภูมิ [V.]

f = ความถี่ [Hz.]

ϕ_{max} = ค่าฟลักซ์ร่วมที่สูงสุด [Wb.]

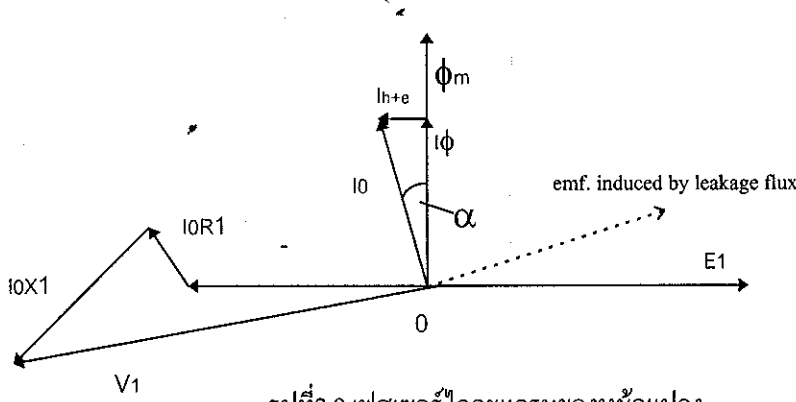
และสามารถเขียนเฟสเซอร์ของค่าพารามิเตอร์ต่างๆในสภาวะไร้โหลดของคล漉คปั๊มภูมิในเงื่อนไขว่าเป็นหม้อแปลงในอุณหคติได้ดังนี้



รูปที่ 2.8 เฟสเซอร์หม้อแปลงอุณหคติในสภาวะเปิดวงจรด้านปั๊มภูมิ

จากรูปที่ 2.8 เป็นไปตามเงื่อนไขที่ว่าไม่มีกำลังสูญเสียในแกนเหล็กซึ่งโดยในความเป็นจริงแล้วในหม้อแปลงจะมีกำลังงานสูญเสียน่องจากชิ้นเหล็กและกระแสເສດේดี โดยจากผลของการถังงานสูญเสียนี้จะทำให้กระแส I_0 จะมีมุนเฟสนำหน้าฟลักซ์ร่วม ϕ_m เป็นมุม α ซึ่งมีค่าน้อยมาก และสามารถแบ่งแยกกระแสกระแสต้น I_0 ออกเป็น 2 ส่วนคือ กระแสทำงานแม่เหล็ก (Magnetizing current, I_ϕ) ซึ่งมีมุนเฟสทับกับ ϕ_m และกระแส剩磁ในส่วนสูญเสียในแกนเหล็ก (I_{h+e}) ซึ่งมีเฟสหันกันแรงดัน V_1

และเนื่องจากค่าฟลักซ์ในแกนเหล็กไม่ได้มีเฉพาะฟลักซ์ร่วมอย่างเดียวแต่จะมีฟลักซ์รั่ว (ϕ_r) ด้วยโดย ϕ_r จะทำให้เกิดค่าเหนี่ยวนำแม่เหล็ก (emf.) มีเฟลล้าหลัง ϕ_r อよู่ 90 องศา และเป็นปฏิกาคกับ ϕ_r โดยประมาณซึ่ง ϕ_r จะมีค่าเบรตามและมีมุนเฟสทับกับกระแส剩磁 (I_0) โดยสามารถเขียนเฟสเซอร์ของหม้อแปลงในสภาวะไร้โหลดได้ใหม่ดังนี้



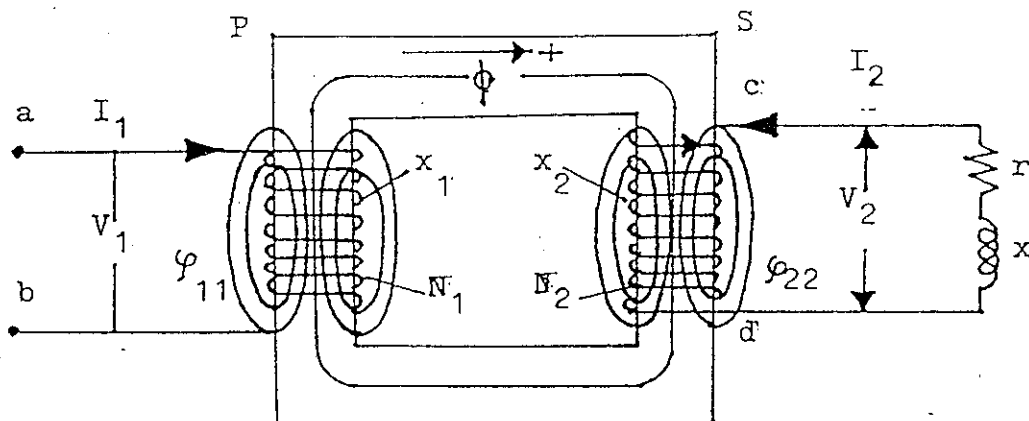
รูปที่ 2.9 เฟสเซอร์โดยรวมของหม้อแปลง

R_1 = ค่าความต้านทานทางปฐมภูมิ

X_1 = ค่ารีแอคแทนท์ทางปฐมภูมิ

2.5 การพิจารณาค่าความสัมพันธ์ระหว่างค่าพารามิเตอร์ต่างๆ ในสภาวะมีโหลด

การพิจารณาความสัมพันธ์ในสภาวะมีโหลดนี้จะพิจารณาว่าหม้อแปลงเป็นหม้อแปลงในอุดมคติ โดยจะให้กระแสทางปฐมภูมนิทิศทางเป็นบวกเมื่อกระแสไฟ流เข้าคลัวปฐมภูมิและกระแส剩磁นิทิศทางเป็นบวก เมื่อกระแสไฟ流ออกจากคลัว剩磁นิทิศภูมิ ดังรูปที่ 2.10



รูปที่ 2.10 หม้อแปลงในสภาวะมีโหลด

เมื่อพิจารณาปุ่ม 2.10 และจากกฎของฟาราเดียจะแสดงได้ว่า

$$\begin{aligned} e_1 &= -N_1 \frac{d\phi}{dt}; \quad e_2 = -N_2 \frac{d\phi}{dt} \\ \frac{e_1}{N_1} &= \frac{e_2}{N_2} = \frac{d\phi}{dt} \\ \frac{e_1}{e_2} &= \frac{N_1}{N_2} \end{aligned} \tag{2.3}$$

และเมื่อมีการต่อโลหดทองด้านขดลวดทุติยภูมิ จะทำให้ค่าแรงค์ดื่องแม่เหล็กทางขดลวดทุติยภูมิ $N_2 I_2$ เกิดขึ้นโดยแรงค์ดื่องแม่เหล็กนี้จะมีค่าประมาณเท่ากับค่าแรงค์ดื่องแม่เหล็กทางปฐมภูมิ $N_1 I_1$ เพราะว่าค่าความซับซึมได้(Permeability) ของเกนเหล็กมีค่าสูงมากๆ ซึ่งเมื่อพิจารณาในวงจรแม่เหล็กสมมุติว่ามีค่าความด้านทางแม่เหล็ก(Resistance) ต่ำมากด้วย

ดังนั้นค่า

$$N_1 I_1 \approx N_2 I_2 \tag{2.4}$$

จากสมการที่ (1.3),(1.4) สามารถเขียนได้ว่า

$$\frac{E_1}{E_2} = \frac{N_1}{N_2} = \frac{I_2}{I_1} = a \tag{2.5}$$

a = อัตราส่วนการทรานส์ฟอร์ม

จากความสัมพันธ์ในสมการที่ 2.5 จะแสดงได้ว่าสามารถจะทำการคิดค่าพารามิเตอร์จากขดลวดทุติยภูมิ ในด้านปฐมภูมิและคิดค่าพารามิเตอร์ของทางปฐมภูมิทางขดลวดทุติยภูมิได้

ค่าพารามิเตอร์ทางทุติยภูมิคิดเทียบใน ด้านปฐมภูมิ

$$E'_2 = a E_2$$

$$I'_2 = \frac{I_2}{a}$$

$$Z'_2 = a^2 Z_2$$

ค่าพารามิเตอร์ทางปฐมภูมิคิดเทียบในด้านทุติยภูมิ

$$E'_1 = \frac{E_1}{a}$$

$$I'_1 = a I_1$$

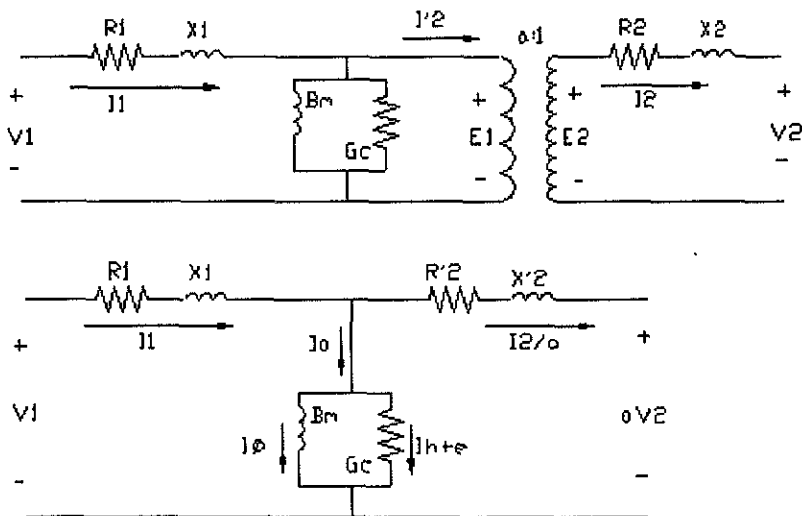
$$Z'_1 = \frac{Z_1}{a^2}$$

2.6 การพิจารณาวงจรสมมูลของหม้อแปลงไฟฟ้า

ในการวิเคราะห์ถึงคุณสมบัติของหม้อแปลงที่ใช้กันจริงจะมีความแตกต่างกับหม้อแปลงในอุดมคติโดยในหม้อแปลงที่ใช้งานจริงนั้นจะมี ผลกระทบที่เกิดจากค่าความต้านทานของคลัวด์, สนามแม่เหล็กร้าว, พลักซ์ และกระแสกระแสตุ้นซึ่งบางที่ค่าความจุไฟฟ้าของคลัวด์มีบทบาทสำคัญต่อผลการวิเคราะห์ หรือพัดจากความถี่ก็ มีผลต่อวงจรและคุณสมบัติของหม้อแปลงด้วยแต่ในระบบการส่งจ่ายของหม้อแปลงระบบจำหน่ายจะไม่พิจารณาที่ความถี่สูงโดยปกติค่า ความถี่จะมีค่าคงที่ดังนี้ในวงจรของหม้อแปลงระบบจำหน่ายก็ไม่ทำการคิดค่าความจุไฟฟ้าของคลัวด์

จากผลรวมของพลักซ์ที่เกิดขึ้น ในหม้อแปลงสามารถแบ่งได้เป็น 2 ชนิดคือพลักซ์ร่วมกับพลักซ์ร้าว ซึ่งจากผลของพลักซ์ร้าว นี้จะทำให้เกิด ค่ารีแอคเวนช์ร้าว (X_1) ทั้งทางปฐมภูมิและทุติยภูมิ และนอกจากระบบที่เกิดค่ารีแอคเวนช์ร้าวแล้วในคลัวด์ทั้งสองข้างมีค่าความต้านทาน R ด้วย ซึ่งจากผลของค่า R และค่า X_1 นี้ทำให้เกิดแรงดันตกในคลัวด์ทั้งสอง

และผลจากพลักซ์ร่วมที่เขื่อนคลัวด์ทั้งด้านปฐมภูมิและทุติยภูมิจะเป็นส่วนในการทราบสภาพรวมค่าพารามิเตอร์ต่างๆ ของด้านปฐมภูมิและทุติยภูมิ โดยสามารถเขียนเป็นวงจรได้ดังนี้



รูปที่ 2.11 วงจรสมมูลของหม้อแปลง

จากรูป 2.11 ผลของกระแสทางปฐมภูมิ (I_1) จะแบ่งออกเป็น 2 ส่วนคือส่วนกระแสกระแสตุ้น (I_0) กับกระแสส่วนโอลด์ (I_1') โดยส่วนกระแสส่วนโอลด์นี้เกิดจากส่วนของกระแสทุติยภูมิและส่วนกระแสตุ้นซึ่งเป็นส่วนที่ทำให้เกิดพลักซ์ร่วมซึ่งค่ากระแสกระแสตุ้นนี้จะไม่เป็นค่านิยมเนื่องจากผลของวงปีดีสเทอเรอซิส และกระแสกระแสตุ้นสามารถแบ่งออกเป็นสองส่วนคือ ส่วนกระแสทำแม่เหล็ก (I_ϕ) กับกระแสส่วนกำลังสูญเสียในแกนเหล็ก (I_{h+e}) และจากรูป 2.11 จะมีส่วนประกอบอีก 2 ส่วนคือค่าความนำ G_c และค่าชั้สเซปเพนช์ (B_m) ซึ่งขนาดกันตามรูป 2.11 โดยกำลังงานจากค่าความนำ E^2/G_c จะเป็นเหตุให้เกิดค่าความสูญเสียในแกนเหล็ก ซึ่งการทำโดยพลักซ์ร่วม โดยค่า G_c จะมีค่าสมมุติว่าคงที่ แต่ค่ากำลังงานสูญเสียจะสมมุติให้เปรค่าความแรงดันยกกำลังสองซึ่งก็

คือ

```
max
```

 $(\frac{d\phi}{dt})^2$ ด้วยส่วนค่าซัพเพนชัน (B_m) จะมีค่าแปรตามจุดอิ่มตัวของแกนเหล็กโดยค่า B_m จะสมมุติค่าร่วางที่ โดยทั้ง G_c และ B_m จะหาจากที่แรงดันและความถี่ที่พิกัดซึ่งส่วนมากจะนิยมให้มีค่าคงที่ในการคำนวณที่สภาวะปกติ

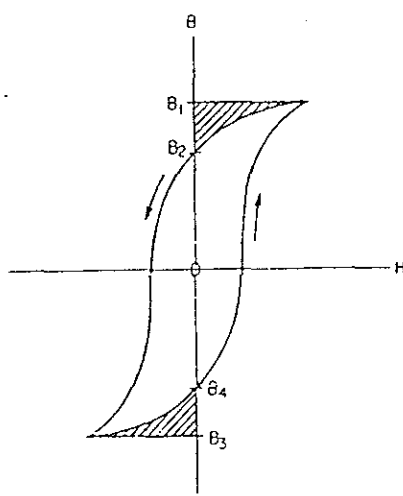
2.7 กำลังงานสูญเสียในหม้อแปลง

กำลังงานสูญเสียในหม้อแปลงสามารถแบ่งออกเป็นส่วนใหญ่ๆ ได้ 2 ส่วนคือ กำลังงานสูญเสียในแกนเหล็กกับกำลังงานสูญเสียในขดลวด โดยกำลังงานสูญเสียในแกนเหล็กนั้นจะมีค่าประมาณคงที่ไม่เข้ากับโหลด ส่วนกำลังงานสูญเสียในขดลวดจะเป็นสัดส่วนกับค่ากระแสในขดลวดนั้นยกกำลังสอง

2.7.1 กำลังงานสูญเสียในแกนเหล็ก (Core loss) กำลังงานสูญเสียในแกนเหล็กนี้เกิดขึ้นเนื่องจากการเปลี่ยนแปลงค่าของฟลักซ์ในแกนเหล็กและผลกระทบจาก ค่าสูงสุดของฟลักซ์ในแกนเหล็ก, ความถี่, รูปลักษณะคลื่นของฟลักซ์ในแกนเหล็ก, คุณภาพของเหล็กที่นำมาเป็นแกน, ความหนาของแผ่นเหล็ก, น้ำหนักของแกนเหล็ก โดยกำลังงานสูญเสียในแกนเหล็กสามารถแบ่งได้เป็น 2 ประเภทคือ กำลังงานสูญเสียเนื่องจากไฮสเตโรเรชีส กับ กำลังงานสูญเสียที่เกิดขึ้นเนื่องจากการกระแสอีคีดี

2.7.1.1 กำลังงานสูญเสียเนื่องจากไฮสเตโรเรชีส

จากวงปีดไฮสเตโรเรชีส ซึ่งเป็น คุณสมบัติของวัสดุ ferromagnetic ซึ่งเกิดจากผลในระดับอะตอมของโครงสร้างของวัสดุที่เรียกว่า โดเมน(Domain) ซึ่งอนุภาคโดเมนเหล่านี้เมื่อทำการใส่พลังงานเข้าไปในแกนเหล็กกำลังงานบางส่วนจะถูกใช้ในการวางแผนและหมุนส่วนของโดเมนของแม่เหล็กของวัสดุที่ใช้ทางแกนเหล็ก ซึ่งพลังงานที่ส่งมอบไปที่ ขดลวดบนแกนเหล็กในความเวลา ก็คือกำลังงานสูญเสียเนื่องจากไฮสเตโรเรชีส โดยกำลังงานสูญเสียเนื่องจากไฮสเตโรเรชีส สามารถคำนวณได้ดังนี้



รูปที่ 2.12 วงปีดไฮสเตโรเรชีส

$$\text{จาก } e = -N \frac{d\phi}{dt}$$

ค่ากำลังงานชั่วขณะจาก ($-ei$) ในเวลา dt จะได้
 $dW = -eidi = Nid\phi$ [Joules.]

$$W = \int_{-\phi_m}^{+\phi_m} Nid\phi$$

$$d\phi = AdB$$

$$Ni = Hi$$

$$W = Al \int_{-B_m}^{+B_m} HdB$$

$$= Al \left[\int_0^{B_1} HdB - \int_{-B_1}^{B_1} HdB + \int_{B_1}^0 HdB + \int_0^{B_2} HdB - \int_{-B_2}^{B_2} HdB + \int_{B_2}^0 HdB \right]$$

$$W = Al\eta B_m^x$$

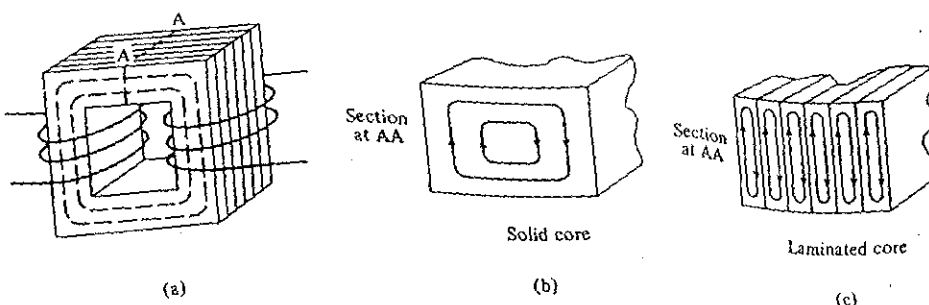
ค่า Al แทน ได้ด้วย M/δ ซึ่ง M คือมวลของแกน และ δ คือความหนาแน่นจำเพาะของแกนเหล็ก

$$P_h = \eta \frac{M}{\delta} B_m^x \quad (2.6)$$

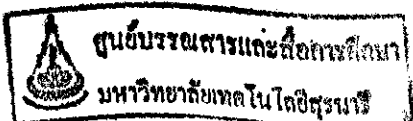
\times คือค่า Proportionality constant characteristic

2.7.1.2 กำลังงานสูญเสียเนื่องจากกระแสอีคตี้

กระแสอีคตี้เกิดเนื่องจาก เมื่อแกนเหล็กหมุนเปล่งที่น้ำหนักน้ำมีการเปลี่ยนแปลง พลักดึงจะทำให้เกิดแรงเคลื่อนแม่เหล็กไฟฟ้า(emf.)และกระแสในแกนเหล็ก โดยกระแสที่ไหลวนอยู่ในแกนเหล็กนี้จะเรียกว่า กระแสอีคตี้ โดยกระแสอีคตี้จะส่งผลให้เกิดกำลังงานสูญเสีย และส่งผลให้เกิดความร้อนในแกนเหล็ก ดังนั้นในการจัดสร้างหม้อแปลงจะทำการลดการไหลของกระแสอีคตี้ ได้โดยการใช้ แผ่นเหล็กที่ทำการตัดเป็นชิ้นบางๆ และทำการกันชนวน ซึ่งจะส่งผลให้เกิดความต้านทานในแกนเหล็กสูงขึ้นซึ่งจะทำให้กระแสอีคตี้ลดลง



รูปที่ 2.13 ทางของกระแสอีคตี้ไหลในแผ่นเหล็ก



จากผลของการทำการสร้างแกนเหล็กค่าวัชແຜ່ນเหล็กบ่าๆ ทำการกันชนวนระหว่างแผ่น จะทำให้ลดกำลังงานสูญเสียเนื่องจากกระแสເອົດດີໄດ້ ซึ่งถ้ากำหนดใน t คือค่าความหนาແຜ່ນเหล็ก ค่ากำลังงานสูญเสียจะมีค่าແປັນເປັນກຳລັງສອງຂອງความหนาຂອງແຜ່ນเหล็ก ໂດຍສາມາດທີ່ພິສູນໄດ້ໂພນູດຍ[1] ຈະໄດ້

$$\begin{aligned} Pe &= \mathcal{E} \frac{M}{\delta} f^2 B_m^2 t^2 \quad [\text{Watts}] \\ &= k_e f^2 B_m^2 \end{aligned} \quad (2.7)$$

\mathcal{E} = Proportionality constant

M = มวล

δ = ความหนาແຜ່ນຈຳເພາະຂອງເຫຼືກ

t = ความหนาຂອງແຜ່ນເຫຼືກ

B_m = ຝລັກຊີ່ສູງສຸດ

f = ຄວາມດີ

k_e = ຄໍາຄວງທີ່

$$\therefore \text{ค่ากำลังงานสูญเสียໃນແກນເຫຼືກ } (P_h + e) = P_h + Pe = \frac{M}{\delta} \left(\eta B_m^x + \delta t^2 f^2 B_m^2 \right) \\ P_h + e = k_h f B_m^x + k_e f^2 B_m^2 \quad (2.8)$$

จากສາມາດທ່ານ ค่ากำลังงานสูญเสียໃນແກນເຫຼືກໄດ້ໃນທາງປົງບັດຈະทำการຫາຄ່າ กำລັງຈານສູງເສີຍໃນແກນເຫຼືກ ໂດຍທ່ານເປົ້າຮາງທາງຕ້ານແຮງຕົ້ນສູງ ທີ່ຈຶ່ງກ່າວໜ້າໄວ້ຈຳເປົ້າເຄື່ອງວັດກຳລັງໄຟຟ້າທີ່ກ່ອນມີຄ່າກຳລັງຈານສູງເສີຍໃນແກນເຫຼືກນີ້ເອງ

2.7.2 ກຳລັງຈານສູງເສີຍໃນຂດລວດ (Copper loss)

ກຳລັງຈານສູງເສີຍໃນຂດລວດຂອງໜ້ອແປລງຈະເກີດຂຶ້ນເມື່ອໜ້ອແປລງທ່ານຈ່າຍໂຫລດໂດຍກຳລັງຈານສູງເສີຍໃນຂດລວດນີ້ຈະມີສ່ວນປະກອບຍູ້ 2 ສ່ວນຄື່ອງສ່ວນແຮກ ຈະເປັນຜົນາຈາກການໄຫລຂອງกระแสໄຟຟ້າຍືກກຳລັງສອງ ທີ່ໄຫລໃນສາຍລວດຕ້ວນນຳ ທີ່ມີຄ່າຄວາມດ້ານທານ ແລະສ່ວນທີ່ສອງ ຈະເປັນຜົນາຈາກกระแสເອົດດີທີ່ໄຫລວນໃນຂດລວດ ໂດຍຄ່າກຳລັງຈານສູງເສີຍເນື້ອຈາກกระแสເອົດດີນີ້ຈະມີປະປາມ 15% ຂອງຄ່າກຳລັງຈານສູງເສີຍໃນຂດລວດທັງໝົດ ຄ່າກຳລັງຈານສູງເສີຍໃນຂດລວດສ່ວນນັກຈະຂຶ້ນອູ້ກັບຄ່າຄວາມດ້ານທານຂອງຂດລວດທີ່ຈຶ່ງກ່າວໜ້າໄວ້ຈຳເປົ້າເຄື່ອງວັດກຳລັງຈານສູງເສີຍໃນຂດລວດນີ້ຈະເປັນປົງປັງແປ່ງເປັນປົງປັງໄດ້ ແຕ່ຄ່າກຳລັງຈານສູງເສີຍເນື້ອຈາກกระแสເອົດດີຈະເປັນປົງປັງແປ່ງເປັນປົງປັງໄດ້

ພດວຽມຂອງກຳລັງຈານສູງເສີຍທີ່ສອງນີ້ສາມາດທ່ານໄດ້ໃຫຍ່ກຳລັງຈານສູງເສີຍໃນຂດລວດທີ່ຍົງມີແລະທ່ານວັດຄ່າພາຣາມີເຕີຣີໃນດ້ານຫາເຂົ້າ ທີ່ຈຶ່ງຈຳວັດກຳລັງໄຟຟ້າທີ່ກະສົບມີຄ່າກຳລັງຈານໄຟຟ້າທີ່ວັດໄດ້ນີ້ຈະເປັນກຳລັງຈານສູງເສີຍໃນຂດລວດທີ່ໂຫລດພິກັດ

2.8 การพิจารณาประสิทธิภาพของหม้อแปลง

ประสิทธิภาพ(η)ของหม้อแปลง คือ อัตราส่วนระหว่างกำลังงานจ่ายออก และกำลังงานจ่ายเข้า โดยส่วนใหญ่ จะบอกเป็นค่าเบอร์เซ็นต์

$$\begin{aligned} \eta &= \frac{\text{กำลังงานขาออก} \times 100}{\text{กำลังงานขาเข้า}} \\ &= \frac{\text{กำลังงานขาเข้า}}{\text{กำลังงานขาออก} + \text{กำลังงานสูญเสีย}} \\ &= \frac{(\text{กำลังงานขาเข้า} - \text{กำลังงานสูญเสีย}) \times 100}{\text{กำลังงานขาเข้า}} \end{aligned} \quad (2.9)$$

การเปลี่ยนแปลงของฟลักซ์ในแกนเหล็กของหม้อแปลง ไฟฟ้าทำให้เกิดกำลังงานสูญเสียเนื่องจากกระแสอีเด็ต และกำลังงานสูญเสียอีสเทอร์เชิส ค่ากำลังงานสูญเสียทั้งสองนี้เปลี่ยนแปลงตามค่ายกกำลังสองของความหนาแน่นของฟลักซ์ และความถี่ แต่ไฟฟ้าฟลักซ์ในแกนเหล็กของหม้อแปลงมีค่าแรงดันคงที่ไม่เปลี่ยนแปลง ค่ากำลังสูญเสียในแกนเหล็กก็ถือได้ว่ามีค่าคงที่ตลอดทุกๆ ค่าของโหลด ทั้งนี้เป็นเพราะว่าขณะที่โหลดของหม้อแปลงมีขนาดเพิ่มขึ้นค่าฟลักซ์ร่วม ตามปกติจะน้อยลงแต่ฟลักซ์ร่วมจะเพิ่มขึ้น ดังนั้นการเปลี่ยนแปลงมีค่าน้อยมาก จึงถือได้ว่าค่ากำลังงานสูญเสียในแกนเหล็กมีค่าคงที่

และเมื่อหม้อแปลงทำการจ่ายโหลดก็จะเกิดกำลังงานสูญเสียในคลัวดโดยกำลังงานสูญเสียชนิดนี้ ส่วนมากเกิดเนื่องมาจากการกระแสไฟฟ้าในคลัวดยกกำลังสอง ซึ่งกำลังงานสูญเสียชนิดนี้จะเกิดเนื่องจากคลัวดทั้ง ค้านปฐมภูมิและคลัวดทุติยภูมิ โดยค่ากำลังงานสูญเสียในสองส่วนจะมีค่าประมาณเท่ากัน ดังนั้นการออกแบบหม้อแปลง สามารถเขียนสมการของประสิทธิภาพได้ว่า

$$\begin{aligned} \text{ประสิทธิภาพ } (\eta) &= \frac{V_2 I_2 \cos \theta_2}{V_2 I_2 \cos \theta_2 + I_1^2 R_1 + I_2^2 R_2 + \text{core.loss}} \\ \text{core loss} &= P_h + e \\ \text{ประสิทธิภาพ } (\eta) &= \frac{V_2 I_2 \cos \theta_2}{V_2 I_2 \cos \theta_2 + P_h + e + I_2^2 \left(R_2 + \frac{R_1}{a^2} \right)} \end{aligned} \quad (2.10)$$

$\cos \theta_2$ = ค่าตัวประกอบกำลังของโหลด

\therefore หากประสิทธิภาพสูงสุด โดยการหาค่าผลต่างอนุพันธ์ $\frac{d\eta}{dI_2} = 0$ ซึ่งจะได้ว่า

$$\begin{aligned}
 \frac{d\eta}{dI_2} &= \frac{-V_2 I_2 \cos \theta_2 \left[\left(V_2 \cos \theta_2 + 2I_2 \left(R_2 + \frac{R_1}{a^2} \right) \right) \right] + V_2 \cos \theta_2 \left[V_2 I_2 \cos \theta_2 + (P_h + e) + I_2^2 \left(R_2 + \frac{R_1}{a^2} \right) \right]}{\left[V_2 I_2 \cos \theta_2 + (P_h + e) + I_2^2 \left(R_2 + \frac{R_1}{a^2} \right) \right]^2} \\
 &= 0 \\
 V_2 \cos \theta_2 \left[V_2 I_2 \cos \theta_2 + (P_h + e) + I_2^2 \left(R_2 + \frac{R_1}{a^2} \right) \right] &= V_2 I_2 \cos \theta_2 \left[\left(V_2 \cos \theta_2 + 2I_2 \left(R_2 + \frac{R_1}{a^2} \right) \right) \right] \\
 V_2^2 I_2 \cos^2 \theta_2 + V_2 I_2^2 \left(R_2 + \frac{R_1}{a^2} \right) \cos \theta_2 + V_2 (P_h + e) \cos \theta_2 &= V_2^2 I_2 \cos^2 \theta_2 + 2I_2^2 V_2 \left(R_2 + \frac{R_1}{a^2} \right) \cos \theta_2 \\
 V_2 \cos \theta_2 (P_h + e) &= I_2^2 V_2 \left(R_2 + \frac{R_1}{a^2} \right) \cos \theta_2 \\
 P_h + e &= I_2^2 \left(R_2 + \frac{R_1}{a^2} \right). \tag{2.11}
 \end{aligned}$$

จากสมการที่(2.11) จะบ่งชี้ได้ว่าหน้อแปลงจะมีประสิทธิภาพสูงสุดตรงค่าที่หน้อแปลงจ่ายกำลังงานให้กับโหลดที่ทำให้กำลังงานสูญเสียของขดลวดเท่ากับ กำลังงานสูญเสียในแกนเหล็ก

2.9 สรุป

ทฤษฎีพื้นฐานและภูมิหลังของหน้อแปลงไฟฟ้าจะมีความสำคัญในการออกแบบและสร้างหน้อแปลงโดยหน้อแปลงไฟฟ้าได้มีการพัฒนามาจากการทดลองของพาราเดียในเรื่องแม่เหล็กไฟฟ้าหนี่ยวน่า โดยหน้อแปลงไฟฟ้าเป็นอุปกรณ์ที่จำเป็นต้องใช้ไฟฟ้ากระแสสลับซึ่งจะทำหน้าที่ส่งถ่าย แรงดัน, กระแส และค่าอิมพีเดนซ์ให้ออยู่ในระดับที่เหมาะสมกับการใช้งาน ซึ่งในหน้อแปลงไฟฟ้านั้น สามารถแม่เหล็กจะถูกสร้างโดยผลจากกระแสในขดลวด และฟลักซ์แม่เหล็กส่วนมากจะไหลในแกนเหล็กซึ่งกันระหว่างขดลวดปฐมภูมิและขดลวดทุติยภูมิ โดยผลของฟลักซ์ร่วมจะเห็นได้ยวน่าให้เกิดแรงดันไฟฟ้าหนี่ยวนาระหว่างขดลวด โดยจะเป็นสัดส่วนกับจำนวนรอบในการพันขดลวดนั้น ซึ่งจะเป็นคุณสมบัติในการเปลี่ยนแปลงแรงดัน แต่ฟลักซ์ทั้งหมดที่เกิดขึ้นในหน้อแปลงนั้น ไม่ใช้ฟลักซ์ร่วมทั้งหมดแต่จะเกิดฟลักซ์รัวด้วยซึ่งผลของการเดินฟลักซ์รัวนี้จะทำให้เกิดแรงดันตกเนื่องจากค่ารีแอคเคนซ์รัว แต่ฟลักซ์รัวนี้ส่วนมากจะอยู่ในอากาศ ซึ่งจะทำให้ฟลักซ์รัวมีค่าแปรผันโดยตรงเป็นเชิงเส้นกับกระแสที่เห็นได้ยวน่า และค่ารีแอคเคนซ์รัวที่เกิดขึ้นนั้นจะมีค่าประมาณคงที่

สำหรับในส่วนของขดลวดนั้น ปรากฏการณ์แรงดันหนี่ยวน่าในหน้อแปลงนั้นเกิดขึ้นเนื่องมาจากการเปลี่ยนแปลงของฟลักซ์กับเวลา โดยการเปลี่ยนแปลงนี้จะเกิดขึ้นเนื่องจากการเพิ่มขึ้นและลดลงของสนามไฟฟ้า และผลจากฟลักซ์ในแกนเหล็กจะเห็นได้ยวน่าให้เกิดค่า แรงเกลื่อนหนี่ยวน่าไฟฟ้า (emf.) ในด้านปฐมภูมิ และค่าแรงดันตกเนื่องจาก ค่ารีแอคเคนซ์รัว(Leakage reactance) จะต้องทำให้เกิดความสมดุลกับแรงดันที่จ่ายเข้า ซึ่งส่ง

ผลให้ ค่าความด้านทานและค่าแรงดันตกนี้ของจากรีอกแทนที่ร่วมมีค่าน้อย แรงคลื่อนแม่เหล็กไฟฟ้าข้อนกลับ(Counter emf.) จะมีค่าประมาณเท่ากับแรงดันจ่ายเข้าและฟลักซ์ในแกนเหล็กจะปรับตัวลงตามลำดับ ส่วนค่าผลกระทบของแรงคลื่อนแม่เหล็ก(mmF.) ของกระแสไฟฟ้าในหม้อแปลงไฟฟ้านั้นจะปรับตัวลงให้สร้างฟลักซ์ที่จะทำให้แรงดันเกิดความสมดุล

ในส่วนของกระแสค้านของคลอดูดที่มีนิ้นสามารถหาได้โดยแรงดันเหนี่ยวนำในค้านทุกดูด ค่าอิมพีเดนท์ร่วมค้านทุกดูด และโอลด์ ส่วนค่าประสิทธิภาพของหม้อแปลงไฟฟ้านั้นสามารถหาได้จากการคำนวณทางเข้าและกำลังงานขาออก หรือจากค่ากำลังงานสูญเสียในหม้อแปลง ซึ่งกำลังงานสูญเสียในหม้อแปลงนี้จะแบ่งเป็นส่วนใหญ่ๆ ได้ 2 ส่วนคือ กำลังงานสูญเสียในแกนเหล็ก และกำลังงานสูญเสียในคลอดูด

บทที่ 3

ความรู้เบื้องต้นในการออกแบบหม้อแปลงไฟฟ้า

3.1 กล่าวนำ

การออกแบบหม้อแปลงไฟฟ้า ค่าพารามิเตอร์ต่าง ๆ นั้นสามารถหาได้โดยใช้ทฤษฎีในการคำนวณหา และการคำนวณหาค่าพารามิเตอร์ต่าง ๆ ที่จำเป็นในการออกแบบนั้น สามารถหาได้โดยใช้ทฤษฎีที่จะกล่าวถึงดัง ในหัวข้อต่อไป

ในการออกแบบหม้อแปลงแรงดันไฟฟ้านั้น จะประกอบด้วยขั้นตอนดังนี้ ขั้นตอนที่ 1 คือ ขั้นตอนปฐมภูมิ (Primary winding) และขั้นตอนที่สอง (Secondary winding) ซึ่งขั้นตอนที่สองจะเกี่ยวข้องกับ สนามแม่เหล็ก เพราเว่ ขั้นตอนที่สองพันรอบแกนเหล็กเดียว กัน ดังนั้น ค่าแรงดันแม่เหล็กไฟฟ้า (Emf) จึงเกิดขึ้นจาก พลังงานใน ขั้นตอนปฐมภูมิ และ ทุติยภูมิ ซึ่งจะสัมพันธ์กับจำนวนรอบของการพันขั้นตอนด้วย

ค่าเฉลี่ยของ Emf ในขั้นตอนปฐมภูมิ (Primary winding) คือ

$$E_{ava} = \frac{4 \Phi f T_p}{10^8} \quad \text{โวลท์}$$

เมื่อ

$$T_p = \text{จำนวนรอบของขั้นตอนปฐมภูมิ}$$

$$\text{เมื่อพิจารณาเป็นแบบคลื่นไอน์} = \frac{4.44 f \Phi T_p}{10^8} \quad \text{โวลท์}$$

ดังนั้น

$$E_s = \frac{4.44 f \Phi T_s}{10^8} \quad \text{โวลท์}$$

เมื่อ

$$T_s = \text{จำนวนรอบของขั้นตอนที่สอง}$$

จากความสัมพันธ์ตามสมการข้างต้นถ้านำมาเปรียบเทียบหาความสัมพันธ์กันแล้ว ได้ความสัมพันธ์ของ ความต่าง สักย์และจำนวนรอบของขั้นตอนที่สองด้านปฐมภูมิ และ ทุติยภูมิดังนี้

$$\frac{E_p}{E_s} = \frac{T_p}{T_s} \quad \text{และ} \quad I_p T_p = I_s T_s$$

ดังนั้น

$$\frac{T_p}{I_s} = \frac{T_s}{I_p}$$

3.2 ชนิดของหม้อแปลง

3.2.1. หม้อแปลงกำลัง (Power transformer)

3.2.2 หม้อแปลงระบบจำหน่าย (Distribution transformer)

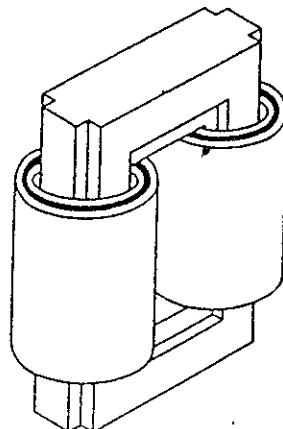
3.2.1. หม้อแปลงกำลัง (Power transformer) เป็นหม้อแปลงที่มีขนาดใหญ่ ใช้ใน สถานีไฟฟ้าย่อย (Substation)

ซึ่งในการสร้างจะออกแบบให้ได้ประสิทธิภาพสูงสุดเมื่อทำงานที่พิกัด เพราะว่าต้องทำงานตลอดเวลา

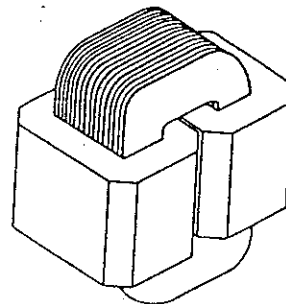
3.2.2 หม้อแปลงระบบจâาหนâาย (Distribution transformer) เป็นหม้อแปลงที่ใช้กันอยู่ทั่วไป ซึ่งในการสร้างจะออกแบบให้ได้ประสิทธิภาพตลอดวัน (All-day efficiency) สูง แต่ประสิทธิภาพเมื่อทำงานที่พิกัดจะไม่สูงมากนัก ในการสร้างจะใช้แผ่นเหล็กอัด (Laminate) เป็นแกนเหล็ก ซึ่งเมื่อใช้แกนเหล็กในการแบ่งชั้นของหม้อแปลงแล้วสามารถแบ่งหม้อแปลงออกเป็น 2 ชนิดคือ

- หม้อแปลงชนิดคลุมแกน (Core type transformer)
- หม้อแปลงชนิด แกนล้อมคลุม (Shell type transformer)

การวางแผน เหล็กอัด จะวางต่างกัน ในหม้อแปลงชนิดคลุมล้อมแกน และ แกนล้อมคลุม ดังแสดงในรูป



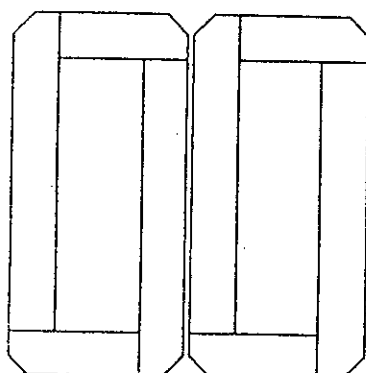
Core type



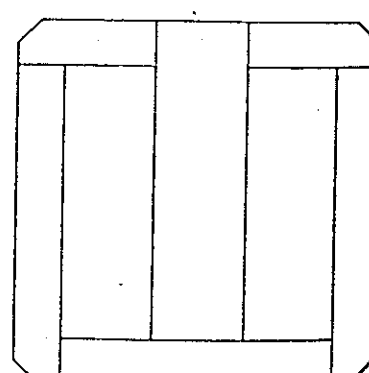
Shell type

รูปที่ 3.1 แสดงลักษณะของหม้อแปลงชนิดต่าง ๆ

การวางแผน เหล็กอัดจะใช้แผ่นเหล็กวางกันแบบโดยมีการวางโดยปีกหัว - หัวย ลับกันไป ดังรูป



(a)
Two methods of assembling stampings (straight pieces) in shell-type
transformers.



(b)

รูปที่ 3.2 แสดงการจัดวางแผ่นเหล็ก Laminate

3.3 สมการหาออก (โวลท์ / รอบ) Output equation : (Volts/ Turn)

$$\text{Volt- amperes} = \frac{4.44 f \Phi T p I p}{10^8}$$

แต่ $T p I p = T s I s$ โดยประมาณ และเมื่อเราใช้ความสัมพันธ์ $T I$ แทนลงในสมการ แล้ว ทำให้ได้สมการที่ เป็นความต่างศักย์ขาออก (โวลท์/รอบ) ซึ่งใช้แทนสมการได้ทั้งขดความปฐมภูมิ และ ทุติยภูมิ คือ

$$\text{Volts - amperes} = \frac{4.44 f \Phi T I}{10^8} \quad (3.1)$$

จากสมการข้างต้นเราสามารถคำนวณได้โดยใช้ค่า พลีกซ์ (ϕ) วัดจากพื้นที่ หน้าตัด ของแกนเหล็ก และปริมาณ $T I$ หากได้จากพื้นที่หน้าตัดของขดลวด โดยขนาดของขดลวด และแกนลวดต้องให้ หน่วยเดียวกัน หน่วยนี้หน่วยและประเภทของการใช้งาน

V_t (Volts/turn)

$$V_t = \frac{E}{T} = \frac{EI}{TI} = \text{Volts - ampereOutput}$$

จากสมการ $E = \frac{4.44 f \Phi T}{10^8}$

$$V_t = \frac{4.44 f \Phi}{10^8 T} \quad \text{ดูๆ } V_t \text{ เชื่อมกับสมการจะได้}$$

$$\begin{aligned} V_t^2 &= \frac{4.44 f \Phi E I}{10^8 T I} \\ &= K_1 \frac{f \Phi \times \text{Volt-ampères}}{T I 10^8} \\ &= \frac{1 \times \sqrt{\text{Volt-ampere}}}{K \sqrt{T/f \Phi}} \end{aligned}$$

จากการวิเคราะห์สมการพบว่า

- ค่า f คงที่

- Ampere - turn เป็นสัดส่วนกับ Volts - ampere

- ϕ เป็นสัดส่วนกลับกับ Volts - ampere

จะเห็นว่าในส่วนของส่วนในสมการจะเป็นค่าคงที่ ค่าหนึ่ง สำหรับการออกแบบ หน้าแปลง โดยจะขึ้นอยู่กับชนิด และขนาดของ เอ้าท์พุท อาจจะเขียนสมการโดยรวมได้ดังนี้

$$V_t = \frac{1}{c} \sqrt{\text{Volt - ampere}} \quad (3.2)$$

จากสมการในการออกแบบหม้อแปลง นั้น ค่าคงที่ (c) จะมีค่าตั้งต่อไปนี้

- หม้อแปลงชนิดคลัวด้วยแกน (Core type) ระบบจานหน่าย (Distribution) $c = 40-70$
- หม้อแปลงชนิดคลัวด้วยแกน (Core type) กำลัง (Power) $c=30-35$
- หม้อแปลงชนิดแกนล้อมคลัวด (Shell type) ระบบจานหน่าย (Distribution) $c=25-40$
- หม้อแปลงชนิดแกนล้อมคลัวด (Shell type) กำลัง (Power) $c=20-30$

โดยการพิจารณาในการเลือกใช้ค่าคงที่ (c) นั้นจะสัมพันธ์กับความต่างศักย์และความถี่คือ ค่า c ที่นิ่งค่าน้อย นั้น จะสัมพันธ์กับ ความต่างศักย์ที่ต่ำ ๆ และความถี่ สูง ๆ

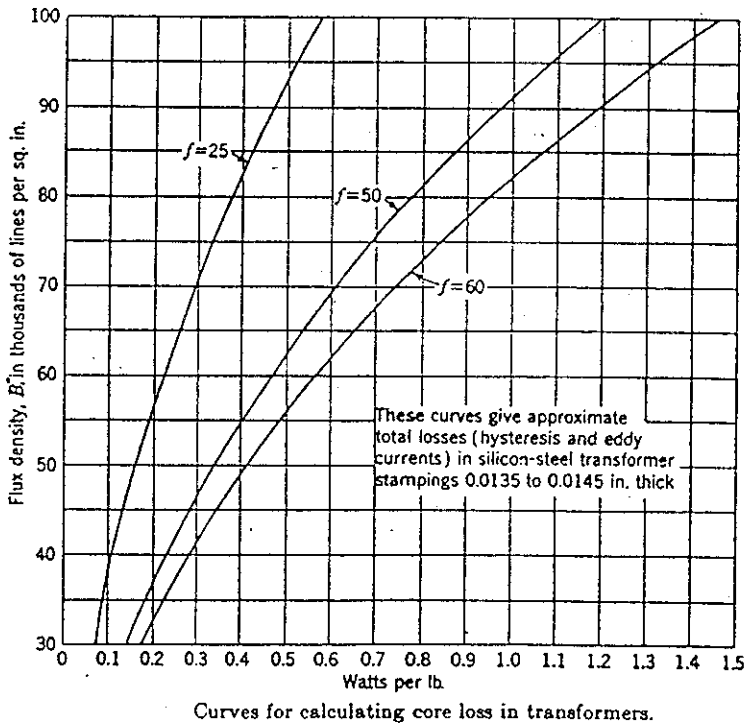
3.4 ข้อจำกัดการในการใช้ค่า ความหนาแน่นของฟลักซ์ และความหนาแน่นกระแส (Usual limits of flux density and current density)

ค่าความหนาแน่นของ พลักซ์ (B') ใน การออกแบบสามารถเลือกใช้ได้ดังตารางที่ 3.1

ชนิดของหม้อแปลง	$f=25$	$f=50-60$
หม้อแปลงระบบจานหน่าย (Distribution transformer)	75,000-90,000	70,000- 85,000
หม้อแปลงกำลัง (Power transformer)	85,000-95,000	80,000-95,000

ตารางที่ 3.1 แสดงค่าความหนาแน่นฟลักซ์ที่ใช้ในการออกแบบหม้อแปลง

ค่า กำลังสูญเสียในขดลวด ต่อ น้ำหนัก (Watt/pound) ที่ใช้ในการสร้าง หม้อแปลงจะเป็นไปตามกราฟ



รูปที่ 3.3 แสดงค่ากำลังสูญเสียในแกนเหล็ก

3.5 ความหนาแน่นของกระแสในขดลวด (Current density)

ความหนาแน่นของกระแสในขดลวดจะถูกจำกัดโดยอุณหภูมิ เพราะถ้าค่ากำลังงานสูญเสีย ต่อ ปอนด์ ของขดลวด สูงจะทำให้เป็นอันตรายต่อบรคลาด เพื่อจะลดอุณหภูมิสูงจะทำให้การคำนวณเสียหาย ค่าความหนาแน่นของกระแสที่ใช้กันอยู่ทั่วไป ในการออกแบบแม่ข่ายเบลนน์ จะเป็นไปตามข้อกำหนดดังตารางที่ 3.2

Standard distribution transformer	(A / in ²)	900-1,100
Transformer for use in central generating or substation	(A / in ²)	1,500-2,100
Larg , carfully design transformer	(A / in ²)	1,800-2,600

ตารางที่ 3.2 แสดงค่าความหนาแน่นของกระแสในขดลวด

ในการคำนวณหาค่ากำลังสูญเสีย ต่อ ปอนด์ (Watts lost / pound)

ทองแดงมีความต้านทาน 1 Ω / cir-mil ที่ 60 องศาเซลเซียส

$$= \frac{234.7 + 75}{234.5 + 60} \\ = 1.05 \quad \Omega \text{ ที่ } 75 \text{ องศาเซลเซียส}$$

ดังนั้น 1 ลูกบากระซิบ น้ำหนักของทองแดง, ความขาว 1 น้ำหนัก และ 1 ตาราง น้ำหนัก ของพื้นที่หน้าตัด

$$\text{พื้นที่หน้าตัด} = \frac{4 \times 10^6}{\pi} \text{ cir - mil}$$

ดังนั้นค่าความหนาแน่นของกระแส (Δ) หาได้ดังสมการ

$$\text{Watts lost per cubic inch of copper} = \frac{\Delta^2 \times 1.05}{\pi / 4 \times 10^6}$$

$$= \frac{0.825\Delta^2}{10^6}$$

เมื่อ 1 ลูกบากระซิบ น้ำหนัก = 0.32 ปอนด์

$$\begin{aligned} \text{watts lost per pound} &= \frac{0.825\Delta^2}{0.32 \times 10^6} \\ &= \frac{3.75\Delta^2}{10^6} \quad \text{watts/ pound} \end{aligned} \tag{3.3}$$

3.6 การจนวน (Insulation)

ในการสร้างหม้อแปลงนั้นในขั้นตอนของการพันขดลวดไม่จำเป็นจะเป็นขดลวดปูร์มภูมิ หรือ ขดลวดทุติยภูมินี้ระหว่างชั้นของการพันจะต้องมีการจนวน และจนวนที่ใช้ในหม้อแปลงที่มีการระบายความร้อนโดยใช้ลมวน จนวนที่ใช้จะต้องไม่คลาดสายในน้ำมัน และต้องแข็งพอ อาจจะใช้เทปการหรือกระดาษกาวได้ในหม้อแปลงที่ความต่างศักย์ไม่สูงมากนัก และความหนาของการจนวนนั้นต้องเป็นไปตามข้อตกลง ดังตารางที่ 3.3

ความต่างศักย์ (Volts)	ความหนาของจนวน (mils)
220	40
440	45
1000	55
2000	80

ตารางที่ 3.3 แสดงความหนาการจนวน

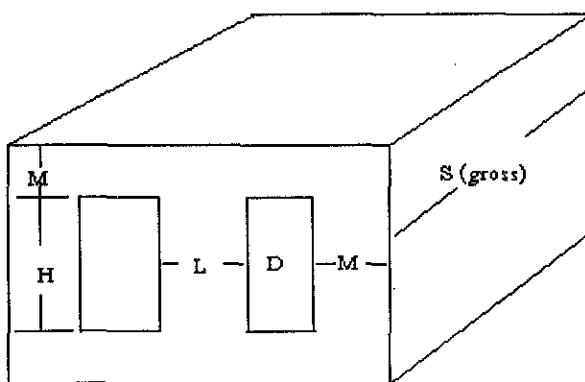
ค่าที่ใช้ในตารางนี้เป็นการจนวนระหว่างชั้นภายในขดลวดปูร์มภูมิหรือทุติยภูมิ แต่ในการจนวนระหว่างชั้นของปูร์มภูมิ และทุติยภูมินี้การจนวนต้องใช้กระดาษจนวนที่หนากว่าปกติ

3.7 ตัวประกอบพื้นที่ (Space factor : sf)

ค่า ตัวประกอบพื้นที่ (Space factor) คือค่าอัตราส่วนระหว่าง พื้นที่หน้าตัดของทองแดง และผลรวมของพื้นที่หน้าตัดของขดลวด ชนวน และพื้นที่ว่างต่าง ๆ ด้วย ซึ่งค่าตัวประกอบพื้นที่ (Space factor) มีความสำคัญมากในการออกแบบหน้าต่าง (Windows) ของหม้อแปลง ซึ่งค่า ตัวประกอบพื้นที่สามารถหาได้โดยสมการ

$$sf = \frac{10}{30 + kv} \quad (3.4)$$

3.8 การออกรูปแบบโครงสร้างแกนเหล็ก (Usual proportions of built-up cores)

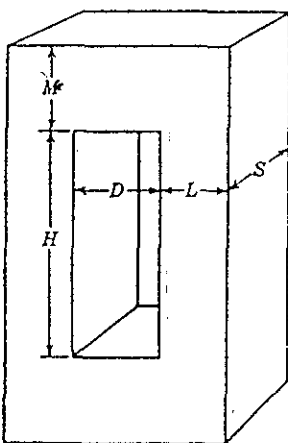


รูปที่ 3.4 แสดงลักษณะของแกนเหล็กของหม้อแปลงชนิดแกนล้อมขดลวด

จากรูปแสดงโครงสร้างของแม่เหล็กเปล่งแบบเฟสเดียว ชนิด แกนล้อมคลาวด์

$$\text{พื้นที่หน้าต่าง} = \frac{L(TI)}{\Delta \times sf} \quad (3.5)$$

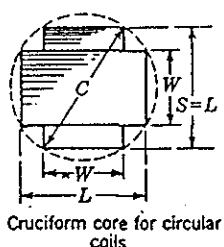
$$\begin{aligned} \text{อัตราส่วนของ } H/D \text{ คือ } H \text{ มากกว่า } D &= 2.5-3.5 \text{ เท่า} \\ s &= 2-3 \text{ เท่าของ } L \\ m &= 0.5-0.75 \text{ เท่าของ } L \end{aligned}$$



รูปที่ 3.5 แสดงแม่เหล็กเปล่งเฟสเดียวชนิดคลาวด์ล้อมแกน

ขนาดของหน้าต่าง เป็นไปตามอัตราส่วนระหว่าง H/D คือ

$$H/D = 2.5-3.5$$



Cruciform core for circular coils



Rectangular core

Assembled stampings of single-phase core-type transformer.

รูปที่ 3.6 แสดงความสัมพันธ์ระหว่าง ค่า C, W, L

ความสัมพันธ์ระหว่าง C, W, L

$$\text{พื้นที่หน้าตัดของแกนเหล็ก} = 2WL - W^2$$

$$\text{differentiate สมการข้างต้นจะได้} = 2\left(W \frac{dL}{dW} + L\right) - 2W$$

และให้สมการข้างต้นมีค่าเท่ากับ 0 จะได้ค่าอนุอุปในรูป

$$= W^2 + L^2 = C^2$$

$$\text{นำค่า } dL/dW \text{ แทนในสมการ} = 2WdW + 2LdL = 0$$

$$\text{ดังนั้น} \quad \frac{dL}{dW} = \frac{W}{L}$$

ความสัมพันธ์ของค่าต่าง ๆ จะเป็นไปตามข้อตกลงดังนี้

$$W = 0.618 L$$

$$W = 0.525 C$$

$$L = 0.85 C$$

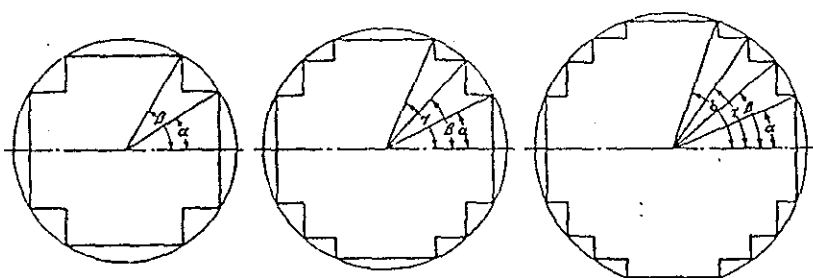
เราสามารถหาความสัมพันธ์ของค่าต่าง ๆ แล้วนี้คือ $\alpha, \beta, \gamma, \delta$ ได้ดังนี้ในชนิดแกนเหล็กที่เป็นแบบ Cruciform section คือ

$$\alpha = \tan^{-1} \frac{1/2W}{1/2L}$$

$$= \tan^{-1} \frac{0.525}{0.85} \\ = 31.7^\circ$$

$$\beta = \tan^{-1} \frac{0.85}{0.525} \\ = 58.3^\circ$$

แต่ถ้าต้องการ Cruciform ที่มีหลาย ๆ ชั้น เพื่อให้ แกนเหล็กมีค่าใกล้เคียงกับทรงกลมมากที่สุด ซึ่งค่าต่าง ๆ ใน การกำหนดแต่ละชั้นของแกนเหล็กมีดังรูปข้างล่างคือ



$$(a) \alpha = 31.7^\circ, \beta = 58.3^\circ$$

$$(b) \alpha = 25.7^\circ, \beta = 45.7^\circ, \gamma = 64.3^\circ$$

$$(c) \alpha = 21.9^\circ, \beta = 38.3^\circ, \gamma = 53.5^\circ, \delta = 69.1^\circ$$

รูปที่ 3.7 แสดงลักษณะของพื้นที่หน้าตัดของแกนเหล็กชนิด Cruciform section

ในการคำนวณทุกครั้ง จะใช้ค่า Stacking factor 0.86 - 0.9

ในการออกแบบหน้าแปลงตัวเล็ก ๆ ชนิดคลาวด์ล้อมแกน แบบ Cruciform section อัตราส่วนที่เหมาะสมในการออกแบบคือ

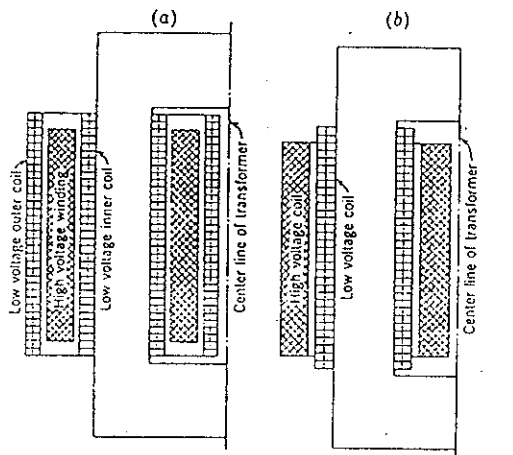
$$S = 1.5 L$$

$$H = 2.5 D$$

$$m = 1 - 1.5 \text{ เท่าของ } L$$

3.9 Arrangement of coil - leakage reactance

สำหรับหน้าแปลงชนิดคลาวด์ล้อมแกน จะมีการจัดวางคลาวด์ เป็นไปตามรูปคือ ประกอบด้วย ชุดคลาวด์ปฐมภูมิ และชุดคลาวด์ที่二ภูมิ วางรอบแกนเหล็กทั้ง 2 ด้าน โดยการวางจะให้ด้าน ความต่างศักย์สูง (High volts) อยู่ร่องนอกของแกนเหล็ก เป็นไปตามรูป



Alternative arrangement of windings in core-type transformer.

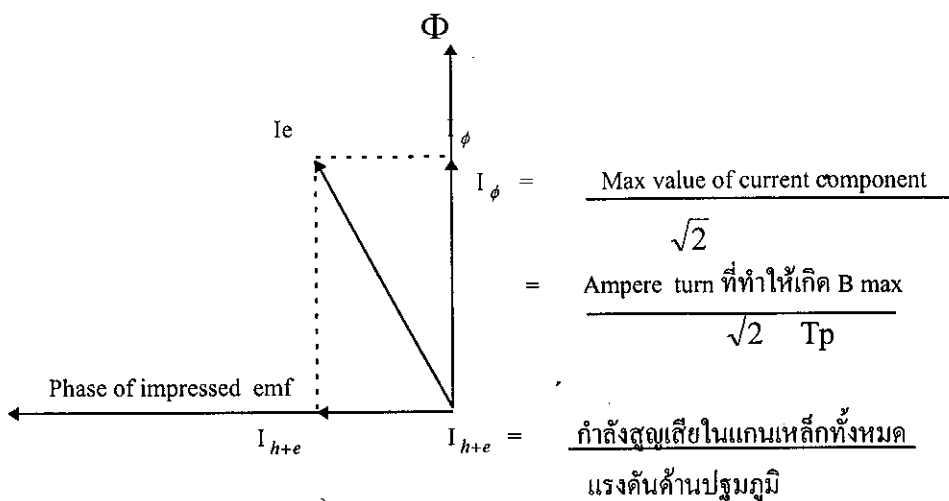
รูปที่ 3.8 แสดงการจัดวางคลาวด์ในหน้าแปลงชนิดคลาวด์ล้อมแกน

3.10 การคำนวณค่า กระแสกระตุ้น (Exciting current)

ถ้าเป็นเครื่องจักรกลไฟฟ้าประเภทมอเตอร์ ค่า Reluctance ของเหล็กจะไม่นำมาคิดด้วย เพราะถือว่ามีค่าน้อยมาก แต่ในหน้าแปลงไฟฟ้า ค่า Reluctance มีความสำคัญมากในการคิดค่าอื่น ๆ ใน การคำนวณ ค่ากระแสกระตุ้น (Exciting current) ขึ้นอยู่กับตัวประกอบสำคัญ 2 ชนิดคือ

1. I_ϕ (Magnetizing)
2. I_{h+e} (Energy) โดยค่านี้จะนำหน้า I_ϕ อยู่ 90 องศา

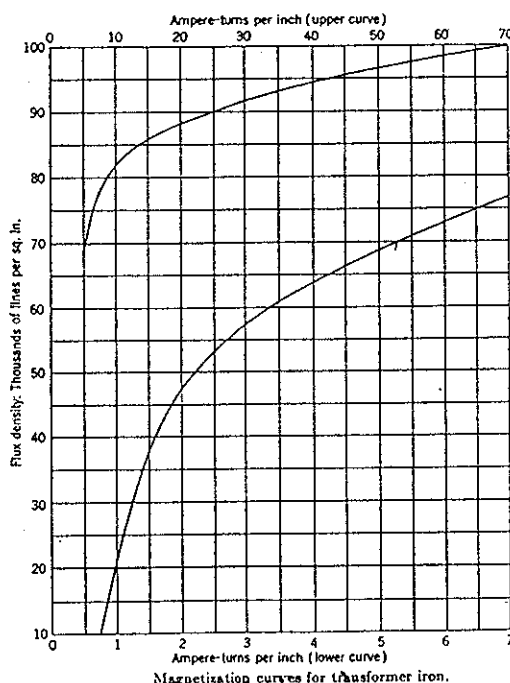
ซึ่งค่า I_w ขึ้นอยู่กับค่าพลังงานสูญเสียในแกนเหล็ก เพียงอย่างเดียว ซึ่งสามารถทดสอบการหาได้โดยใช้ เวกเตอร์ดังนี้



รูปที่ 3.9 แสดงเวกเตอร์แสดงค่ากระแสคงตื้น

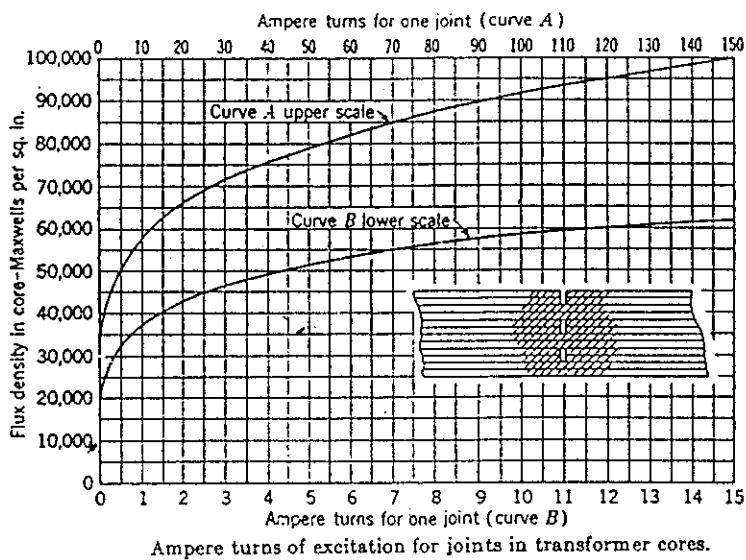
3.11 Magnetic leakage in transformer -voltage regulation

เมื่อพิจารณาถึงความต่างศักย์ที่ข้างของ หน้าอแปลงมีค่าคงที่แล้ว เมื่อมีกระแสไฟ流ในแกนเหล็กทำให้เกิด พลักซ์ ซึ่งทำให้เกิดค่าความต่างศักย์ขึ้นที่ข้างของหน้าอแปลง (Back emf) ซึ่งสามารถหาได้โดยใช้การหาทางเวกเตอร์คือ ผลต่างระหว่าง Applied voltage และ Induced voltage มีค่าเท่ากับค่า ความต่างศักย์ที่หายไปในความต้านทานของหน้าอแปลง (IR drop) ซึ่งค่าเหล่านี้จะสัมพันธ์กับค่า Ampere - turn ของหน้าอแปลง โดยความสัมพันธ์ดังกราฟที่ 3.10



รูปที่ 3.10 แสดงลักษณะของสนามแม่เหล็ก

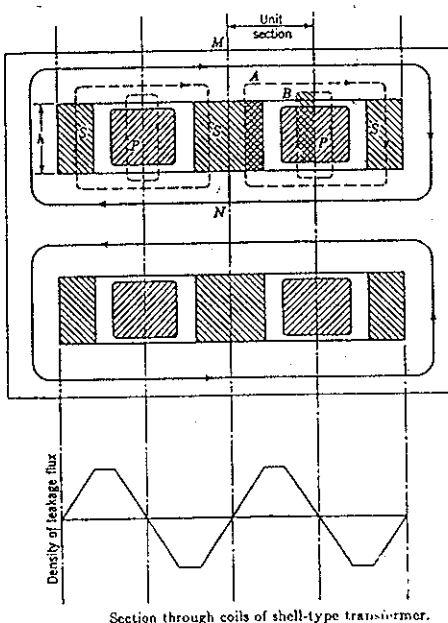
ในส่วนของแกนเหล็ก ค่า Ampere turn จะมีค่าไม่เท่ากันขึ้นอยู่กับค่าความหนาแน่นของฟลีกซ์ ซึ่งร้อยต่อของแกนเหล็กในการวางแผนนี้มีความสำคัญมากในการคำนวณค่า การควบคุมแรงดัน Voltage regulation เพราะค่าเหล่านี้เป็นคุณสมบัติของหม้อแปลงที่ต้องการในการออกแบบ



รูปที่ 3.11 แสดงถักยณะของสนามแม่เหล็กบริเวณร้อยต่อ

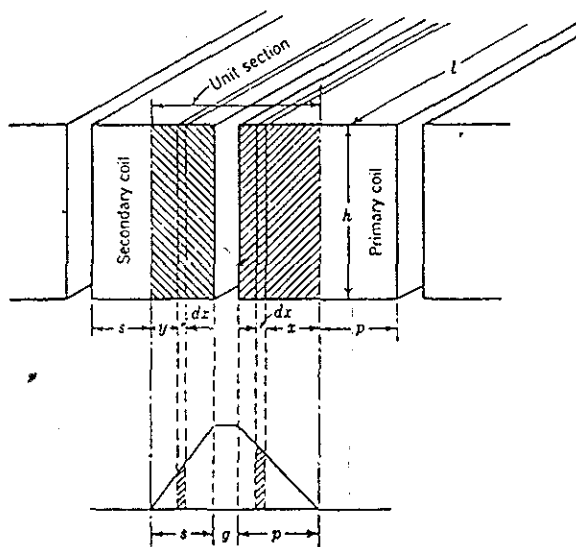
3.12 การคำนวณค่าแรงดันตก (IR drop)

เพราะว่าการพัฒนาคลอดที่สมมาตรกันนั้นทำให้แบ่งจำนวนคลอด ความต่างศักย์ หรือค่าอนวนชั้นที่รวมกับอนวนเหล้า ถูกแบ่งเป็นในลักษณะดังรูป 3.12



รูปที่ 3.12 แสดงพื้นที่หน้าตัดของหม้อแปลงชนิดคลอดด้านแกน

จะเห็นว่ารูปที่ 3.12 แสดงหม้อแปลงชนิด แกนล้อมขดลวด ที่ประกอบด้วยขดลวดแรงสูง 2 ชุด และขดลวดแรงต่ำ 2 ชุด โดยเดินประในรูปข้างบน แสดงค่าการกระจายของฟลักซ์ร่วม ที่ผ่านขดลวดและช่องว่างขดลวด ผลของฟลักซ์ร่วมทำให้เกิด Back emf ในขดลวด และ เส้น B สัมพันธ์กับรอบของปฐมภูมิ



Represents one high-low section of transformer winding.

รูปที่ 3.13 แสดงพื้นที่หน้าตัด และรายละเอียดการจัดวางขดลวด

จากรูปที่ 3.13 เป็นภาพหน้าตัดของรูปที่ 3.12 สมมติว่าความกว้างด้านต่าง ๆ สามารถได้ 1 ซม. ฟลักซ์ร่วมมีทิศตั้งฉากกับพื้นที่หน้าตัดของแกนเหล็ก และมีทิศทางตามการพันขดลวด สามารถคำนวณหาค่า IX drop ได้โดยพิจารณาพื้นที่ที่จริงยาว 1 ซม. กว้าง h ซม. หนา $(s+g+p)$ ซม.

เมื่อ p และ s = ความหนาของส่วนของปฐมภูมิและทุติยภูมิโดยเป็นเพียง ส่วนหนึ่งของทั้งหมด
ที่สมมาตรกัน

g = พื้นที่ที่ว่างระหว่างขดลวดปฐมภูมิและทุติยภูมิ

h = ความสูงของขดลวดที่รวมการลดน้ำหนัก

$$\text{จากสมการ } E = \frac{4.44 f T \Phi}{10^8}$$

$$IX = 4.44 f T \Phi \times 10^{-8} \quad (3.6)$$

แต่ค่า $\Phi = mmf \times \text{permeance}$

$$\begin{aligned} &= 0.4 \pi T I_{\text{max}} \times P \\ &= 0.4 \pi T (\sqrt{2} I) P \end{aligned} \quad (3.7)$$

แทนค่า (3.7) ใน (3.6) ได้

$$\begin{aligned} IX &= \left(\frac{4.44 \times 0.4\pi \times \sqrt{2}f}{10^8} \right) (TI) T P \\ &= \frac{7.88 f}{10^8} (TI) P \times T \end{aligned}$$

ให้ $m = \frac{7.88 f}{10^8}$

$$IX = m(\pi) P \times T \quad (3.8)$$

T_1 = จำนวนคลาดทางด้านปฐมภูมิ

T_2 = จำนวนคลาดทางด้านทุติยภูมิ

พิจารณาพื้นที่หน้าตัด g จะได้

$$(IX)_g = m(T_1 I_1) \frac{\lg h}{h} \times T_1 \quad (3.9)$$

พิจารณาพื้นที่หน้าตัด p ค่า mmf เกิดขึ้นจากส่วนประกอบของฟลักซ์ ในที่ว่างของความกว้าง dx กระแส I_1 ใน

$$\frac{xT_1}{p} \text{ รอบ } \frac{\text{ดังนั้นฟลักซ์ที่สัมพันธ์กับค่า } \frac{xT}{p} \text{ รอบจะได้สมการคือ}$$

$$d(IX)_p = m \left[\left(\frac{x}{p} \right) T_1 I_1 \right] \frac{dx}{h} \times \frac{x}{p} T_1$$

$$\begin{aligned} (IX)_p &= m \left[\frac{T_1^2 I_1}{p^2 h} \right] \int_0^p x^2 dx \\ &= m \left(T_1^2 I_1 \right) \times \frac{\frac{1}{3}p}{3h} \end{aligned} \quad (3.10)$$

ในพื้นที่หน้าตัด s ค่า mmf เกิดขึ้นจากส่วนของ ฟลักซ์ ในช่วงกว้าง dy สัมพันธ์กับ T_s ใน (y/s) T_s รอบ ดังนั้นจะได้ความสัมพันธ์

$$\begin{aligned} d(IX)_s &= m \left[\left(\frac{y}{s} \right) T_2 I \right] \frac{y}{h} \times \left(\frac{y}{s} \right) T_1 \\ (IX)_s &= m \left[\left(T_2 I \frac{T_1}{s^2 h} \right) \right] \int_0^s y^2 dy \\ &= m \left(T_1^2 I_1 \right) \times \frac{\frac{1}{3}s}{3h} \end{aligned} \quad (3.11)$$

เพราะว่าค่า $T_{11} = T_{22}$

จากสมการ(3.9),(3.10),(3.11) ได้

$$I_1 x_1 = \frac{m x T_1^2 I_1}{h} \left(g + \frac{p+s}{3} \right) \quad (3.12)$$

ทำให้ออยู่ในหน่วย เซนติเมตร

เมื่อ $n = \text{จำนวนของ พื้นที่หน้าตัด (high-low section)}$

ค่า IX drop มีค่าเท่ากับ $n I_1 x_1$ และค่าเปลี่ยนเรชันต์ IX drop มีค่าเท่ากับ $(n I_1 x_1 / E_p) \times 100$

$$\text{คั่งนั่น \% IX} = n x \left(\frac{7.88f}{10^8} \right) \left(\frac{T_1^2 I_1 l}{h} \right) \left(g + \frac{p+s}{3} \right) \left(\frac{2.54 \times 100}{E_p} \right) \quad (3.13)$$

ทำให้ออยู่ในหน่วย นิวไทร์ดังนี้

$$n T_1 I_1 = T_s I_s \quad (3.14)$$

$$\frac{n T_1}{T_s} = \frac{E_p}{E_s}$$

$$\frac{T_1}{E_p} = \frac{T_s}{n E_s}$$

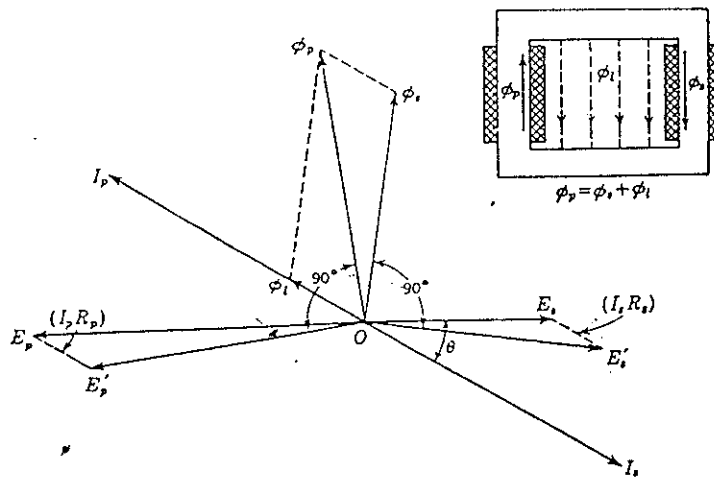
$$\frac{T_1}{E_p} = \frac{T_s}{n E_s} \quad (3.15)$$

แทนสมการ (3.14)(3.15) ลงในสมการ (3.13)

$$\begin{aligned} \% IX &= \left(\frac{7.88f}{10^8} \right) \frac{T_s I_s l}{h} \left(\frac{T_s}{n E_s} \right) \left(g + \frac{p+s}{3} \right) (2.54 \times 100) \\ &= \frac{2 f T_s^2 I_s l}{n h E_s \times 10^5} \left(g + \frac{p+s}{3} \right) \end{aligned}$$

จากสมการจะเห็นว่าค่า IX drop เป็นสัดส่วนพกผัน กับค่า n (high-low section)

3.13 การแสดงเวกเตอร์ของ หม้อแปลง และ ผลกระทบของฟลักช์รั่ว (Transformer vector diagram showing effect of leakage flux)



รูปที่ 3.14 แสดงเวกเตอร์แสดงลักษณะสมบัติของหม้อแปลง

จากรูปซึ่งแยกขาด漉คปฐมภูมิและทุติยภูมิ ไว้ข้างละด้านของแกนเหล็ก ซึ่งทำให้เห็นภาพพจน์ซึ่งในทางปฏิบัติแล้วไม่คืนกันเนื่องจากผลกระทบของฟลักช์รั่ว (Leakage flux)

Φ_p = flux line ในDUCT ปฐมภูมิ

Φ_s = flux line ในDUCT ทุติยภูมิ

Φ_l = leakage flux

จะเห็นว่าผลรวมของ Φ_s และ Φ_l จะเท่ากับ Φ_p

ขั้นตอนในการสร้างเวกเตอร์ทำได้ดังนี้คือ

สร้าง O Es และ O Is แทนความต่างศักย์และกระแสเดือนทุติยภูมิ

θ คือมุนระหว่างกระแสและความต่างศักย์ที่สัมพันธ์กับ Load power factor

Es Es' ขนาดกับ O Is โดยค่า Is Rs คือค่า Voltage drop ในDUCT ทุติยภูมิ

OEs' คือค่า emf ที่ถูกสร้างขึ้นจากDUCT ทุติยภูมิ

OΦs สร้างโดยลากเดินตั้งฉากกับ O Es' คือค่า ฟลักช์ ในDUCT ทุติยภูมิ

OIp สร้างโดยลากเดินให้ขาว แต่ตรงข้ามกับ Is คือค่ากระแสในDUCT ปฐมภูมิ

OΦl สร้างโดย ลากเดินให้ อยู่ในฟลักช์เดียวกันกับ Ip คือค่า leakage flux

OΦp เป็นค่าระหว่าง Φ_s และ Φ_l คือค่าฟลักช์ในDUCT ปฐมภูมิ

OEp' สร้างโดยลากเดินตั้งฉากกับ Φ_p คือค่า แรงดึงดันแม่เหล็กไฟฟ้า(emf) ทางด้าน ปฐมภูมิ

Ep' Ep สร้างโดยลากเดินขนาดกับ Ip คือค่า Voltage drop ในDUCT ปฐมภูมิ

OEp คือค่าความต่างศักย์ในDUCT ปฐมภูมิ

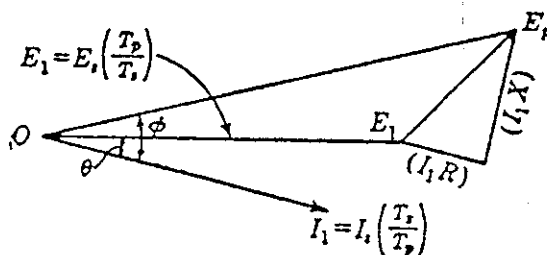
3.14 การคุณค่าแรงดัน (Voltage regulations : VR)

ในการคำนวณค่า การคุณค่าแรงดัน (Voltage regulation) นั้นจะทำการคำนวณเมื่อคิดการเทียบวงจร สมมุติมาทางด้านปฐมภูมิ โดยค่า R คือ ค่าผลรวมของความต้านทานรวมทั้งทางด้านปฐมภูมิและทุติยภูมิเมื่อเทียบ ทางด้านปฐมภูมิดังนั้น

$$I_p R = I_p R_p + I_s R_s \left(\frac{T_p}{T_s} \right)$$

$$I_s = I_p \left(\frac{T_p}{T_s} \right)$$

$$R = R_p + R_s \left(\frac{T_p}{T_s} \right)^2$$



$$E_p = \frac{I_1 R + E_1 \cos \theta}{\cos \Phi}$$

θ = ค่าตัวประกอบกำลัง ของ external load

Φ = ค่าตัวประกอบกำลังของขดลวดทางด้านปฐมภูมิ

รูปที่ 3.15 แสดงเวกเตอร์แสดงการคุณค่าแรงดัน

$$\tan \Phi = \frac{I_1 X + E_1 \sin \theta}{I_1 R + E_1 \cos \theta}$$

$$\% \text{ Regulation} = \frac{100 \times \left(\frac{E_p - E_1}{E_1} \right)}{\frac{E_1}{\cos \phi}}$$

$$= \frac{\% \text{ equivalent IR drop} + 100 (\cos \theta - \cos \phi)}{\cos \phi}$$

$$= \frac{\text{percent IR} \cos \theta + \text{percent IX} \sin \theta + (\text{percent IX} \cos \theta - \text{percent IR} \sin \theta)^2}{200}$$

สำหรับ ตัวประกอบกำลังที่มีค่าเท่ากับ 1 (Unity factor) จะได้ค่าความถ่วงดันดั้งนี้คือ

$$VR = \frac{\text{percent IR} + (\text{percent IX})^2}{200}$$

$$VR (\text{approx}) = \text{percent IR} \cos \theta + \text{percent IX} \sin \theta$$

สำหรับเปล่งต่อ กับ โหลดที่เป็นชนิด ตัวประกอบกำลังนำหน้า (leading power factor) ในสมการต้องเปลี่ยนจาก เครื่องหมายบวกเป็นเครื่องหมายลบ

3.15 ประสิทธิภาพ (Efficiency)

$$\text{ค่าเอาท์พุท ของหม้อแปลง เฟสเดียว ในหน่วย Watts คือ } W = EsIs \cos \theta$$

ที่นี่ w = ผลรวมของการสูญเสียในขดลวด และในแกนเหล็ก แล้ว เราสามารถเขียนสมการแทนความสัมพันธ์ของ ประสิทธิภาพได้ดังนี้

$$\eta = 1 - \frac{w}{W+w}$$

และผลรวมของการสูญเสียพลังงานคือ

$$w = \frac{1-\eta}{\eta} \times w$$

เมื่อท้าวประภอนกำลังเปลี่ยนไปค่าประสิทธิภาพหาได้โดยสมการ

$$\eta = \frac{\cos \theta}{\cos \theta + \left(\frac{1-\eta}{\eta} \right)}$$

เมื่อ

W = Full load output ; watts

a = ประสิทธิภาพที่พิกัด

x = กำลังสูญเสียในขดลวดที่พิกัด ; watts

y = กำลังสูญเสียในแกนเหล็ก ; watts

w = กำลังสูญเสียทั้งหมดที่พิกัด

$$w = (x+y)$$

$$= \left(\frac{1-a}{a} \right) W$$

b = ประสิทธิภาพเมื่อทำการวัดเอาที่พุท n ครั้งที่ พิกัด

nW = เอาท์พุท ;watts

$n^2 x$ = กำลังสูญเสียในขดลวด ;watts

w_n = การสูญเสียทั้งหมดเมื่อโหลดคือ nW

เมื่อ

$$\begin{aligned} Wn &= (n^2 x + w_n) \\ &= \left(\frac{1 - b}{b} \right) nW \end{aligned}$$

เมื่อทำการแทนค่าเข้าไปในสมการแล้วจะได้

$$w - w_n = x - \frac{n^2 x}{n}$$

เมื่อ

$$\text{กำลังสูญเสียในขดลวดที่พิกัด} = x = \frac{W - W_n}{1 - n^2}$$

ค่าประสิทธิภาพตลอดวัน (All - day efficiency) สามารถหาได้จาก

Secondary out - put in watts-hours

Secondary watts- hours + watt hours iron loss + watt-hours iron loss

ซึ่งในการคำนวณการสูญเสียเหล่านี้สามารถหาได้โดยการทดสอบ โดยใช้ระยะเวลา 24 ชั่วโมง ปกติในการทดสอบ ในชนิดที่เป็นหม้อแปลงในระบบส่งจ่าย นั้น จะทดสอบโดยใช้ 4 ชั่วโมง ที่พิกัด และ 20 ชั่วโมง ที่ไม่มีโหลด (no load)

3.16 สรุป

ค่าพารามิเตอร์เหล่านี้จำเป็นมากในการออกแบบเพื่อการสร้าง หม้อแปลงไฟฟ้า ซึ่งค่าที่ได้จากการคำนวณประกอบด้วย

1. ค่าความต่างศักย์/รอบ (Volts /Turn)
2. จำนวนรอบของขดลวดทั้งทางด้านปฐมภูมิ และทุติยภูมิ
3. กระแสที่พิกัด
4. ความหนาแน่นกระแส
5. พื้นที่หน้าตัดของแกนเหล็กและขดลวด
6. ขนาดของเส้นลวดที่ใช้ในการพันหม้อแปลงไฟฟ้า
7. การอนุน
8. กำลังสูญเสียในแกนเหล็กและขดลวด

9. ขนาดของหน้าต่างของหม้อแปลงไฟฟ้า
 10. ความหนาแน่นสนามแม่เหล็ก
 11. น้ำหนักของแกนเหล็ก
 12. ค่าประสิทธิภาพที่ตัวประกอบกำลังต่าง ๆ
 13. ค่าการคุณค่าแรงดัน
- ซึ่งค่าพารามิเตอร์เหล่านี้ใช้ในการสร้างและสั่งซื้ออุปกรณ์ในการสร้างหม้อแปลงต่อไป

บทที่ 4
ข้อมูลการออกแบบสำหรับหน้าแปลง

4.1 กำลังนำ

ในการออกแบบหน้าแปลงเฟสเดียวชนิดคอกลางล้อมแกนเหตุกันน้ำ การออกแบบจะกำหนดค่าพารามิเตอร์ต่าง ๆ ในการออกแบบ ซึ่งการออกแบบเป็นการคำนวณค่าพารามิเตอร์ต่าง ๆ ที่ใช้ในการสร้างหน้าแปลงซึ่งข้อมูลที่ได้จากการคำนวณนี้อาจจะไม่ตรงกับข้อมูลที่ได้จากการทดสอบหน้าแปลง ในห้องปฏิบัติการ เพราะเหตุผลทางด้านการสร้าง และวัสดุที่ใช้อาจจะไม่ตรงกับข้อมูลในการคำนวณ ซึ่งเป็นคุณสมบัติของวัสดุนั้นๆ

Single - phase distribution core type with cruciform section

Guaranteed losses, watts - Copper (full load).....31.26.....

- Iron.....14.77.....

ลำดับที่	รายละเอียดในการออกแบบ
1	Volt per turn : 0.545

ขดลวด		แรงสูง	แรงต่ำ
2	จำนวนรอบ	5505	404
3	จำนวนขดลวด	2	2
4	จำนวนรอบต่ำขดลวด	2752	202
5	กระแสที่ค่าพิกัด ,Amp	0.333	4.545
6	ความหนาแน่นของกระแส , Amp/sq.in	700	700
7	พื้นที่หน้าตัดของแต่ละขดลวด , sq.in	0.000501	0.00664
8	ขนาดของขดลวด	AWG22	AWG13
9	จำนวนรอบ/ชั้น/ขดลวด	290	80
10	จำนวนชั้น/ขดลวด	10	2.5
11	Taps	ไม่มี	ไม่มี
12	ความต่างศักย์/ขดลวด	1500	110
13	ความต่างศักย์ระหว่างชั้น	150	44
14	ความหนาของเส้นลวดรวมกับกระดาษฉนวน, in	0.34	0.49
15	ความหนาของกระดาษฉนวนระหว่างขดลวด , in	0.04	
16	จำนวนในขดลวด	กระดาษฉนวน	กระดาษฉนวน
17	ความยาวแต่ละรอบ, in	10.93	8.31
18	ความยาวรวมเมื่อรวมกันทั้งขดลวด ,ft	5014.2	279.77

19	น้ำหนักรวมของคลัวด ,lb	9.65	7.13
20	ความต้านทานในขดลวด ,ohm	81.0	0.352
21	แรงดันตก (IR drop) ,volts	26.97	1.6
22	การสูญเสียกำลังในขดลวด (Full load Copper loss)	8.98	7.27

วงจรสนามแม่เหล็ก

23	ขนาดของหน้าต่าง , in	7.245×2.898
24	Flux รวม , maxwells	2.454×10^5
25	ความหนาแน่นสนามแม่เหล็ก , line per sq.in	75000
26	พื้นที่หน้าตัดของแกนเหล็ก , gross	3.44 ตารางนิวตัน
27	น้ำหนักรวมของแกนเหล็ก ,lb	24.13
28	กำลังสูญเสียในแกนเหล็ก , watts	18.88
29	กำลังสูญเสียที่ค่าพิกัด , watts	42.78

Efficiency and Exciting Current

30	ประสิทธิภาพที่ค่า PF=1	
	ที่ $1 \frac{1}{4}$ ค่าพิกัด	96.6
	ที่ ค่าพิกัด	95.6
	ที่ $\frac{3}{4}$ ค่าพิกัด	96.4
	ที่ $\frac{1}{2}$ ค่าพิกัด	95.6
	ที่ $\frac{1}{4}$ ค่าพิกัด	92.6
31	ประสิทธิภาพตลอดวัน	88.5
32	Exciting Current ทางด้านปฐมภูมิ , Amp	0.457

Regulation

33	ค่า IR Drop ,%	1.70
34	ค่า Reactive Drop ,%	0.956
35	ค่า Regulations at unity power factor ,%	1.70
36	ค่า Regulations at 0.8 power factor ,%	1.934

ขั้นตอนในการออกแบบ

ในการออกแบบหม้อแปลงแรงดันไฟฟ้า 220/3000 โวลท์ นั้น สามารถออกแบบได้โดยวิธีการตั้งค่าไปนี้

4.2 Specification

เอาท์พุท (kVA)	= 1 kVA
แรงดันทางด้านปฐมภูมิ	= 220 โวลท์
แรงดันทางด้านที่二ภูมิ	= 3000 โวลท์
ความถี่	= 50 เฮิรตซ์
ประสิทธิภาพเมื่อตัวประกอบกำลัง = 1	- Full load 0.956
	- ¼ Full load 0.926
ประสิทธิภาพในการทนความร้อนของฉนวน	55 องศาเซลเซียส

หม้อแปลงที่ต้องการออกแบบเป็นชิบ ขดลวดล้อมแกน (Core type) ซึ่งหน้าตัดของแกนเหล็กจะเป็นแบบ Two -step cruciform section และแกนเหล็กของหม้อแปลงทำมาจาก Silicon steel ซึ่งเป็นเหล็กอาบน้ำยา ใช้การระบายความร้อนโดยวิธี Self - cooling ไม่มี Tap เพื่อใช้ในการปรับเปลี่ยนแรงดัน โดยความหนาของแผ่นเหล็กแต่ละแผ่นคือ 0.014 นิ้ว

4.3 การคำนวณ

Guaranteed losses

$$\begin{aligned} \text{ค่ากำลังสูญเสีย ทั้งหมดที่ พิกัด (Full load)} &= \left(\frac{1 - 0.956}{0.956} \right) \times 1000 = 46.03 \text{ Watts} \\ \text{ค่ากำลังสูญเสียทั้งหมดที่ } \frac{1}{4} \text{ ค่าพิกัด (1/4 Full load)} &= \left(\frac{1 - 0.926}{0.926} \right) \times \frac{1000}{4} = 19.98 \text{ watts} \\ \text{ค่ากำลังสูญเสียในขดลวดที่พิกัด (Full load copper loss)} &= \left(\frac{46.03 - 19.98}{1 - 1/6} \right) = 31.26 \text{ watts} \\ \text{ค่ากำลังสูญเสียในแกนเหล็ก} &= 46.03 - 31.26 = 14.77 \text{ watts} \end{aligned}$$

กำหนดให้ค่าคงที่ $c = 58$

$$\begin{aligned} \text{จากสมการ} \quad V_t &= \frac{\sqrt{VA}}{c} \\ &= \frac{\sqrt{1000}}{58} \\ &= 0.545 \text{ โวลท์/รอบ} \end{aligned}$$

$$\begin{aligned} \text{จำนวนรอบทางด้านปฐมภูมิ} &= 220/0.545 \\ &= 403.7 \text{ ประมาณ 404 รอบ} \end{aligned}$$

ค่าอัตราส่วนจำนวนรอบ (turn ratio)	= 220/3000 = 0.0733
จำนวนรอบทางด้านทุติยภูมิ	= 3000/0.545 = 5504.8 ประมาณ 5505 รอบ

$$\text{กระแสไฟฟ้า} \quad \text{จากสมการ} \quad I = \frac{kVA}{kV}$$

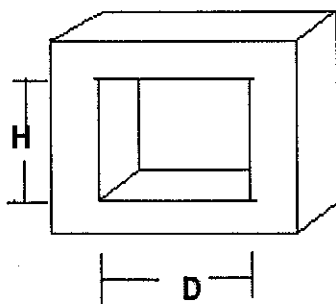
ค่านปัจจุบัน	= $1000/220$
	= 4.545 A
ค่านทุติยภูมิ	= $1000/3000$
	= 0.333 A

$$\begin{aligned} \text{ค่าตัวประกันพื้นที่ (Space factor)} &= \frac{10}{30 + kV} \\ &= \frac{10}{30 + 3} \\ &= 0.303 \end{aligned}$$

- อาจใช้ค่า 0.25 เพราะว่า ในการพัฒนาคลาสที่เป็นเส้นทรงกลมนั้นจะมีช่องว่างระหว่างเส้นลวด และจำนวนอยู่ด้วย

$$\text{ความหนาแน่นกระแส} = 700 \text{ A/in}^2$$

ในการวางแผนเดินทางต้องออกแบบหน้าต่าง เพื่อที่จะให้การวางแผนไม่ซ้อนและไม่ห่างกันจนเกินไป



รูปที่ 4.1 แสดงลักษณะความสัมพันธ์ของหน้าต่าง

จากสมการ

$$H \times D = \frac{2(TI)}{\Delta \times sf}$$

T = จำนวนรอบด้านปูนภูมิ

I = กระแสที่พิกัดทางด้านปูนภูมิ

Δ = ความหนาแน่นกระแส

sf = ตัวประกอบพื้นที่ (Space factor)

$$H \times D = \frac{2(404 \times 4.545)}{0.25 \times 700}$$

$$= 20.98 \text{ ตารางนิวตัน}$$

ประมาณ 21 ตารางนิวตัน

ในการออกแบบหน้าแปลงที่เป็นแบบ เฟสเดียวชนิด ขดลวดล้อมแกนนั้น อัตราส่วนระหว่าง H/D นั้น เท่ากับ 2.5 - 3.5 ในที่นี่เลือก 2.5

$$H/D = 2.5$$

$$2.5D = H \quad \text{แต่ } H \times D = 21 \text{ ตารางนิวตัน}$$

$$2.5D^2 = 21 ; \quad D^2 = 21/2.5$$

$$D = 2.898 \text{ นิวตัน} \quad (\text{ประมาณ } 7.36 \text{ ซม.})$$

$$H = 7.245 \text{ นิวตัน} \quad (\text{ประมาณ } 18.4 \text{ ซม.})$$

Maximum flux ในแกนหลัก

$$= \frac{220 \times 10^5}{4.44 \times 50 \times 404}$$

$$= 2.454 \times 10^5$$

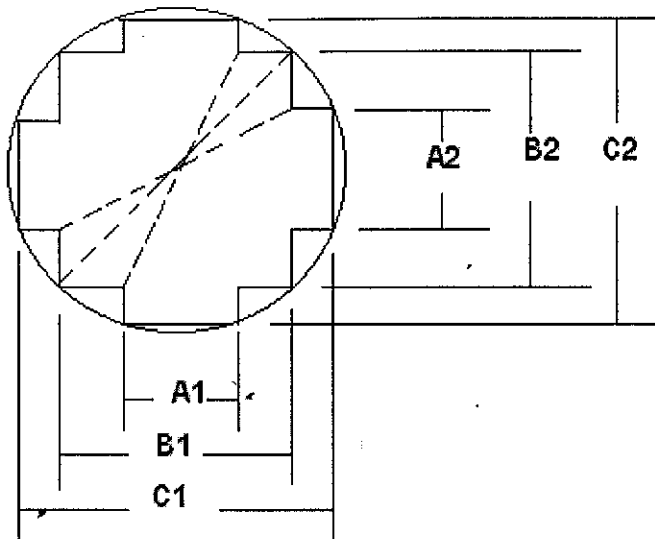
กำหนดให้ ความหนาแน่นของฟลักซ์ (Core density : B'') เท่ากับ 75000 line

stracking factor = 0.95

$$\text{Agross} = \frac{2.45 \times 10^5}{75000 \times 0.95}$$

$$= 3.44 \text{ ตารางนิวตัน}$$

4.4 พื้นที่หน้าตัด (Cross section)



รูปที่ 4.2 แสดงพื้นที่หน้าตัดแกนเหล็กแบบ Cruciform 2 ชั้น

D = เส้นผ่านศูนย์กลางของแกนเหล็ก (Cross section)

$$A1 = D \cos 63.4 = 0.434 D$$

$$A2 = D \sin 25.7 = 0.434D$$

$$B1 = D \cos 45.7 = 0.698 D$$

$$B2 = D \sin 45.7 = 0.716 D$$

$$C1 = D \cos 25.7 = 0.901 D$$

$$C2 = D \sin 63.4 = 0.901 D$$

เพราจะน้ำหนักต่างๆ ได้โดยอาศัยสมการดีอ

$$\text{พื้นที่} = A2C1 + (B1B2 - A2B1) + (A1C2 - B2A1)$$

$$= (0.434D \times 0.901D) + [(0.698D \times 0.716D) - (0.434D \times 0.698D)] + [(0.434D \times 0.901D) -$$

$$(0.716D \times 0.434D)]$$

$$= 0.319D^2 + 0.5D^2 - 0.303D^2 + 0.391D^2 - 0.310D^2$$

$$= 0.699D^2$$

$$3.44 = 0.699D^2$$

$$D = 2.268 \text{ นิ้ว}$$

เพราจะน้ำหนักต่างๆ คือ

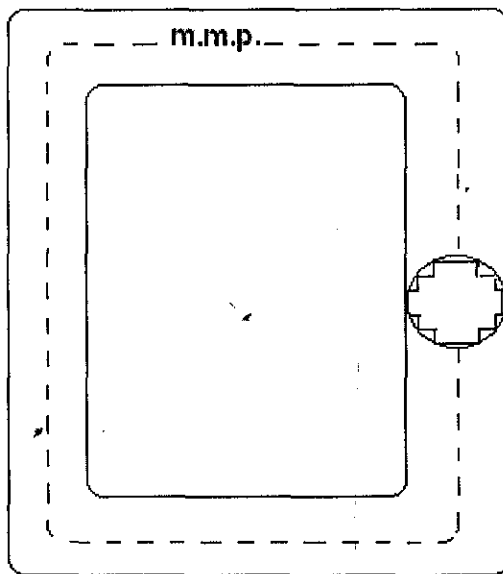
$$A1 = 0.9843 \text{ นิ้ว} \quad A2 = 0.9843 \text{ นิ้ว}$$

$$B1 = 1.583 \text{ นิ้ว} \quad B2 = 1.624 \text{ นิ้ว}$$

$$C1 = 2.043 \text{ นิ้ว} \quad C2 = 2.043 \text{ นิ้ว}$$

4.5 ความยาวเฉลี่ยของเส้นทางฟลักซ์ (Mmp :Mean magnetic flux path)

คือทางเดินของสนามแม่เหล็ก คำนวณได้จาก



รูปที่ 4.3 แสดงทางเดินของสนามแม่เหล็ก

$$\begin{aligned}
 mmp &= 2(H + (D - 2R)) + \pi(L + 2R) \\
 &= 2(7.245 + (2.898 - 1)) + \pi(2.043 + 1) \\
 &= 27.84 \text{ นิว (โดยประมาณ)}
 \end{aligned}$$

$$\begin{aligned}
 \text{น้ำหนักรวมของแกนเหล็ก} &= 0.28(0.9 \times 3.44 \times 27.84) \\
 &= 24.13 \text{ lb}
 \end{aligned}$$

จากค่าในภาคพนวก ค ค่า watts / lb ที่ 75000 line / in² ได้ค่าเท่ากับ 0.76 watts/lb

$$\begin{aligned}
 \text{กำลังสูญเสียในแกนเหล็ก (Core loss)} &= 24.13 \times 0.76 \\
 &= 18.88 \text{ watts}
 \end{aligned}$$

แต่ guaranteed loss เท่ากับ 14.77 watts อาจจะแตกต่างกัน เพราะคุณภาพของเหล็กแตกต่างกันจากในกราฟและเหล็กในปัจจุบัน

4.6 ค่ากำลังสูญเสียในชด漉ด (ที่โดยการคำนวณจากคุณสมบัติของชด漉ด : Approximate copper losses)

ในการคำนวณค่ากำลังสูญเสียในชด漉ด โดยการประมาณคร่าว ๆ นั้น โดยการกำหนดให้ความหนาเน่นของกระแส (Current density) มีค่าเท่า ๆ กันทั้งทางด้านปั๊มน้ำและท่อสูบน้ำ ค่าเฉลี่ยของความยาวของร่องการหันชด漉ด (The average mean length of turn : ml.t.) ของ circular coils สามารถหาได้จาก

$$\begin{aligned}
 m.l.t &= \frac{\pi}{2} (C + D + L) \\
 &= \frac{\pi}{2} (2.268 + 2.898 + 2.043) \\
 &= 11.32 \text{ นิว (โดยประมาณ) }
 \end{aligned}$$

พื้นที่หน้าตัดของเส้นลวดทั้งสองด้านคือ

$$\begin{aligned}
 &= \frac{2 \times (5505 \times 0.333)}{700} \\
 &= 5.238 \text{ ตารางนิว (โดยประมาณ) }
 \end{aligned}$$

เพราะฉะนั้นหน้ากากของเส้นลวดคือ

$$\begin{aligned}
 &= 0.32 \times 11.32 \times 5.24 \\
 &= 18.98 \text{ lb }
 \end{aligned}$$

ตั้งนั้นค่า กำลังสูญเสียต่อปอนด์ของขดลวด คือ

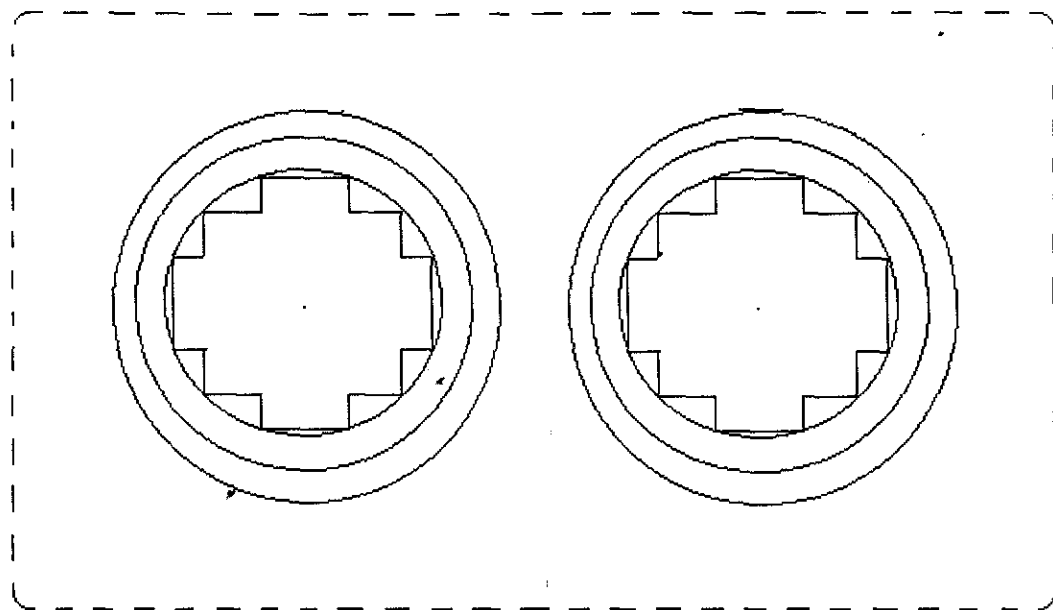
$$\begin{aligned}
 &= \frac{0.825\Delta^2}{0.32 \times 10^6} \\
 &= \frac{2.57\Delta^2}{10^6}
 \end{aligned}$$

เมื่อ Δ = ความหนาแน่นกระแส (Current density)

เพราะฉะนั้นค่ากำลังสูญเสียในขดลวด ทั้งหมด (Total copper loss) คือ

$$\begin{aligned}
 &= \frac{2.57 \times 700^2 \times 18.98}{10^6} \\
 &= 23.9 \text{ watts }
 \end{aligned}$$

4.7 ขนาดของเส้นลวด และการขัดร่างขดลวด (Size of wire and winding particulars)



รูปที่ 4.4 แสดงขนาดของขดลวดและการขัดร่าง

รูปแสดงถึงลักษณะทั่วไปของขดลวด และการวางแผนลวด รอบ ๆ แกนเหล็ก ซึ่งแกนเหล็กเป็นแบบ Two-step cruciform section โดยจะวางแผนลวดปูนภูมิขั้งในและขดลวดทุติยภูมิค้านนอก ระหว่างแกนเหล็กกับขดลวดปูนภูมิ จะมีกระดาษฉนวนกันอยู่ ในระหว่างชั้นของขดลวดปูนภูมิและขดลวดทุติยภูมิ ก็จะมีกระดาษฉนวนกันอยู่ด้วย เพื่อป้องกันการ Short turn ซึ่งจะทำให้อัตราส่วนงานรอบ เปลี่ยนไปทำให้ได้มือเปล่งไม่เป็นไปตามที่ต้องการ (Specification)

$$\text{เลือก ความหนาแน่นของกระแส} = 700 \text{ แอมป์/ตารางนิ้ว}$$

$$\text{พื้นที่หน้าตัด} = 4.545 / 700$$

$$= 0.0065 \text{ ตารางนิ้ว}$$

จากภาคผนวก ก ในการเลือกขนาดขดลวดนั้นพื้นที่หน้าตัดของขดลวดค้านปูนภูมิคือ 0.0065 ตารางนิ้ว ซึ่งตรงกับขนาดลวด เบอร์ AWG 13 ซึ่งมีขนาดใกล้เคียงกันมากที่สุดคือ 0.00664 ตารางนิ้ว

$$\text{ความสูงของหน้าต่าง} = 7.245 \text{ นิ้ว}$$

$$\text{เพร率จะนั้น } 0.00664 \text{ ตารางนิ้ว} = \pi r^2$$

$$r = 0.046 \text{ นิ้ว}$$

$$\text{แสดงว่า ใน 1 รอบ จะมีทั้งหมด } 7.245 / (0.046 \times 2)$$

$$= 80 \text{ ครั้งนำ}$$

แต่จำนวนรอบของขดลวดปฐมภูมิ เท่ากับ 404 รอบ เพราะฉะนั้น จำนวนชั้นในการพันขดลวดปฐมภูมิ

$$= 404 / 80$$

$$= 5 \text{ ชั้น}$$

แต่ขดลวดปฐมภูมิจะแบ่งออกเป็น 2 ค้าน ทำให้แต่ละค้านนี้มี จำนวนชั้น เท่ากับ 2.5 ชั้น
ขดลวดแต่ละค้าน หนา 0.23 นิ้ว เมื่อรวมกับกระดาษฉนวนแล้วขดลวดปฐมภูมิในการพันได้กว้างหนาประมาณ 0.3
นิ้ว ต่อค้าน

ขดลวดทุติยภูมิ (Secondary winding)

ความหนาแน่นกระแส (Current density)	= 700 แอมป์/ตารางนิ้ว
พื้นที่หน้าตัด	= 0.333 / 700
	= 0.00047 ตารางนิ้ว

จากภาคผนวก ก ตารางการเลือกขนาดของเส้นลวดนั้น เลือก เบอร์เส้นลวด คือ AWG 22
ซึ่งมีพื้นที่หน้าตัด คือ 0.000501 ตารางนิ้ว ซึ่งใกล้เคียงกับขนาดที่ออกแบบไว้มากที่สุด

ความสูงของหน้าต่าง	= 7.245 นิ้ว
0.000501 ตารางนิ้ว	= πr^2
	$r = 0.0126 \text{ นิ้ว} ; \text{ เส้นผ่าศูนย์กลาง} = 0.025 \text{ นิ้ว}$

แสดงว่า ใน 1 รอบ จะมีทั้งหมด $7.245 / 0.025$

$$= 290 \text{ ตัวนำ}$$

แต่จำนวนรอบของขดลวดปฐมภูมิ เท่ากับ 5505 รอบ เพราะฉะนั้น จำนวนชั้นในการพันขดลวดปฐมภูมิ

$$= 5505 / 290$$

$$= 19 \text{ ชั้น}$$

แต่ขดลวดทุติยภูมิจะแบ่งออกเป็น 2 ค้าน ทำให้แต่ละค้านนี้มี จำนวนชั้น เท่ากับ 10 ชั้น

ขดลวดแต่ละค้าน หนา 0.25 นิ้ว เมื่อรวมกับกระดาษฉนวนแล้วขดลวดปฐมภูมิในการพันได้กว้างหนาประมาณ 0.45 นิ้ว ต่อค้าน

ระหว่าง ขดลวดปฐมภูมิและขดลวดทุติยภูมิ จะมีกระดาษฉนวน หนา ประมาณ 0.04 นิ้ว
รวมความหนาทั้งหมดเมื่อคิดทางค้านเดียวได้ดังนี้

กระดาษฉนวนชั้นที่ 1	= 0.04 นิ้ว
ขดลวดปฐมภูมิ (Primary winding)	= 0.3 นิ้ว
กระดาษฉนวนชั้นที่ 2	= 0.04 นิ้ว
ขดลวดทุติยภูมิ (Secondary winding)	= 0.45 นิ้ว
กระดาษฉนวนชั้นที่ 3	= 0.04 นิ้ว

เพราะฉะนั้นรวมความหนาทั้งหมดเมื่อคิดเพียงค้านเดียว เท่ากับ 0.87 นิ้ว

แต่มี 2 ค้าน เพราะฉะนั้นคิดพื้นที่ทั้งหมดที่ใช้ไปในหน้าต่างที่ออกแบบไว้คือ 2×0.87 เท่ากับ 1.74 นิ้ว แต่ขนาด
ของ D มีค่าเท่ากับ 2.898 นิ้ว เพราะฉะนั้น จะมีช่องว่างอากาศเหลืออยู่คือ $2.898 - 1.74 = 1.158 \text{ นิ้ว}$

4.8 แรงดันตก และกำลังสูญเสียในขดลวด(Voltage drop and copper losses)

$$\begin{aligned} \text{ทางค้านปั๊มน้ำ m.l.t.} &= \pi \times (2.268 + (2 \times 0.04) + 0.3) \\ &= 8.31 \text{ นิ้ว} \end{aligned}$$

$$\begin{aligned} \text{ทางค้านทุติยภูมิ m.l.t.} &= \pi \times (2.268 + (2 \times 0.04) + (2 \times 0.3) + (2 \times 0.04) + 0.45) \\ &= 10.93 \text{ นิ้ว} \end{aligned}$$

ความยาวของแต่ละขดลวด

$$\begin{aligned} \text{ขดลวดปั๊มน้ำ} &= (8.31/12) \times 404 \\ &= 279.77 \text{ ฟุต (83.5 เมตร)} \end{aligned}$$

$$\begin{aligned} \text{ขดลวดทุติยภูมิ} &= (10.93/12) \times 5505 \\ &= 5014.2 \text{ ฟุต (1530 เมตร)} \end{aligned}$$

น้ำหนักของแต่ละขดลวด

$$\begin{aligned} \text{ปั๊มน้ำ} &= 0.32 \times 0.00664 \times 279.77 \times 12 \\ &= 7.13 \text{ ปอนด์ (3.24 กิโลกรัม)} \\ \text{ทุติยภูมิ} &= 0.32 \times 0.000501 \times 5014.2 \times 12 \\ &= 9.65 \text{ ปอนด์ (4.39 กิโลกรัม)} \end{aligned}$$

ความต้านทานในขดลวด

$$\begin{aligned} \text{ปั๊มน้ำ} &\text{ จากตารางในภาคผนวก X ค่าความต้านทาน } (\text{โอห์ม}/1000\text{ฟุต} = 1.26 \text{ โอห์ม}) \\ \text{ความต้านทาน} &= 1.26 \times [279.77/1000] \\ &= 0.352 \text{ โอห์ม} \end{aligned}$$

$$\text{ทุติยภูมิ จากตารางในภาคผนวก X ค่าความต้านทาน } (\text{โอห์ม}/1000\text{ฟุต} = 16.14 \text{ โอห์ม})$$

$$\begin{aligned} \text{ความต้านทาน} &= 16.14 \times [5014.2/1000] \\ &= 81.0 \text{ โอห์ม} \end{aligned}$$

ค่ากำลังสูญเสียในขดลวดที่พิกัด

$$\begin{aligned} \text{ค้านปั๊มน้ำ} &= 4.545^2 \times 0.352 \\ &= 7.27 \text{ Watts} \end{aligned}$$

$$\begin{aligned} \text{ค้านทุติยภูมิ} &= 0.333^2 \times 81 \\ &= 8.98 \text{ Watts} \end{aligned}$$

รวมกำลังสูญเสียในขดลวด ทั้งหมด คือ $7.27 + 8.98 = 16.25 \text{ Watts}$

ค่า IR drop ในขดลวด

$$\begin{aligned} \text{ปั๊มน้ำ} &= 4.545 \times .352 \\ &= 1.6 \text{ V} \end{aligned}$$

$$\begin{aligned} \text{ทุติยภูมิ} &= 0.333 \times 81 \\ &= 26.97 \text{ V} \end{aligned}$$

การคำนวณหาค่าประสิทธิภาพที่ค่าตัวประกอบกำลัง = 1

$$\text{ที่พิกัด} = \frac{100}{1000 + 18.88 + 26.97} \times 100 = 95.6\%$$

ที่ $1\frac{1}{4}$ ค่าพิกัด

$$= \frac{1250 \times 100}{1250 + 18.88 + [(0.333 \times 1.25)^2 \times 81] + [(4.545 \times 1.25)^2 \times 0.352]} = 96.6\%$$

ที่ $\frac{3}{4}$ ค่าพิกัด

$$= \frac{750 \times 100}{750 + 18.88 + [(0.333 \times 0.75)^2 \times 81] + [(4.545 \times 0.75)^2 \times 0.352]} = 96.4\%$$

ที่ $\frac{1}{2}$ ค่าพิกัด

$$= \frac{500 \times 100}{500 + 18.88 + [(0.333 \times 0.5)^2 \times 81] + [(4.545 \times 0.5)^2 \times 0.352]} = 95.6\%$$

ที่ $\frac{1}{4}$ ค่าพิกัด

$$= \frac{250 \times 100}{250 + 18.88 + [(0.333 \times 0.25)^2 \times 81] + [(4.545 \times 0.25)^2 \times 0.352]} = 92.6\%$$

ค่าประสิทธิภาพตลอดวัน (4 ชม. ที่พิกัด และ 20 ชม. โดยไม่ต่อ荷德)

$$\eta_{ad} = \frac{1000 \times 4}{(1000 \times 4) + (18.88 \times 24) + (16.97 \times 4)} \times 100 = 88.5\%$$

ค่า Exciting Current

$$TI = (8.0 \times 27.24) + 38 = 256 \text{ ampere-turn}$$

$$I_\phi = \frac{256}{\sqrt{2} \times 404} = 0.448A$$

$$I_{btz} = \frac{18.88}{202} = 0.093A$$

$$I_0 (\text{exciting current}) = \sqrt{0.448^2 + 0.093^2} = 0.457A$$

ค่า % Regulation

$$\% \text{ IR drop} = \frac{16.97}{1000} \times 100 = 1.7\%$$

$$\begin{aligned}\% \text{ IX drop} &= \frac{2fTs^2 Isl}{nhEs \times 10^5} \left(g + \frac{p+s}{z} \right) \\ &= \frac{2(50)(5512)^2 (0.333) 9.5}{2(7.245)(3000 \times 10^5)} \left(\frac{0.157 + 0.49 + 0.34}{3} \right) \\ &= 2.205 \times 0.434 \\ &= 0.956\%\end{aligned}$$

% regulation (PF=1)

$$= 1.7 + \frac{0.956^2}{200} = 1.7\%$$

% regulation (PF=0.8)

$$= (1.7 \times 0.8) + (0.956 \times 0.6) + \left(\frac{0.956 \times 0.8 - (0.6 \times 1.7)^2}{200} \right)$$

$$= 1.934 + 0.000326 = 1.934\%$$

4.9 สรุป

ค่าพารามิเตอร์ที่คำนวณได้จากสมการต่าง ๆ เหล่านี้ บางค่าอาจจะไม่ตรงกับความเป็นจริง ในการปฏิบัติ เพราคุณสมบัติของวัสดุที่ใช้ในการสร้างหน้าแปลง และความยึดหยุ่นในการสร้างหน้าแปลงไฟฟ้า ซึ่งค่า พารามิเตอร์เหล่านี้ ใช้ในการเปรียบเทียบกับค่าที่วัด ได้จากการทดสอบหน้าแปลงไฟฟ้าซึ่งเป็นขั้นตอนสุดท้าย เพราค่าเหล่านี้สามารถบอกได้ทั้งหมดว่าค่าต่าง ๆ ที่คำนวณได้ และที่วัด ได้ในการทดสอบหน้าแปลงนั้น มีความ คลาดเคลื่อนจากการสร้างและต้องปรับปรุงส่วนใดในการสร้างเพื่อให้ได้ค่าต่าง ๆ ออกมาตรงกับทฤษฎีมากที่สุด

บทที่ 5

ขั้นตอนการสร้างหน้าแปลงไฟฟ้า

5.1 กล่าวว่า

ในบทนี้จะกล่าวถึงขั้นตอนและวิธีการสร้างหน้าแปลงตามข้อมูลที่ได้จากการออกแบบในบทที่ 4 ซึ่งวิธีการสร้าง, ข้อมูลหรือรายละเอียดในการสร้างอาจมีข้อแตกต่างจากการออกแบบน้ำยาเดือนที่แล้วอยู่ทั้งนี้เนื่องมาจากวัสดุในการสร้างต่างๆบางชนิดไม่สามารถทำการหาซื้อได้ตามที่ได้ออกแบบ เช่น ความหนาของฉนวน, ความหนาของแผ่นเหล็ก เป็นต้น และขั้นตอนการสร้างหน้าแปลงในบางขั้นตอนจะมีเทคนิคที่ใช้岀กเห็นจากการออกแบบโดยวิธีการและกระบวนการในการสร้างสามารถแบ่งได้เป็น 3 ช่วงใหญ่ๆ โดยมีรายละเอียดดังนี้

5.2 วัสดุอุปกรณ์การสร้างหน้าแปลง

วัสดุในการสร้างหน้าแปลงไฟฟ้านั้นจะมีส่วนที่สำคัญคือ ขาดแคลนกันแน่เหล็กหน้าแปลงและส่วนที่เป็นการฉนวนอิสิชั่งสามารถแสดงรายการละเอียดวัสดุในการสร้างต่อ หน้าแปลง 1 ตัว โดยประมาณได้ดังนี้

ขาดแคลนอาบน้ำยา ชนิด A เบอร์ AWG 22 จำนวน 6 กิโลกรัม

ขาดแคลนอาบน้ำยา ชนิด A เบอร์ AWG 13 จำนวน 6 กิโลกรัม

แผ่นเหล็กหน้าแปลง จำนวน 20 กิโลกรัม

แผ่นการฉนวนเป้าไลท์ ขนาด 2X2 ฟุต จำนวน 1 แผ่น

น้ำยาการฉนวนวานิช จำนวน 1 ปีบ

Binding Post จำนวน 8 ตัว

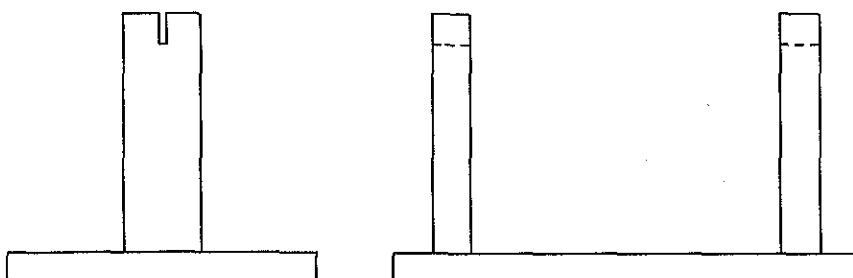
สายสปายเกตตี้

กระดาษฉนวนหน้าแปลงอย่างหนา (สีแดง)

กระดาษฉนวนหน้าแปลงอย่างบาง

เหล็กจากนาค 1.5 นิ้ว ยาว 4 ฟุต

ส่วนอุปกรณ์ในการสร้างหน้าแปลงนี้จะเป็นอุปกรณ์พื้นฐานทั่วไป และจะมีอุปกรณ์ที่จำเป็นต้องใช้ในห้องปฏิบัติการเครื่องมือกล เช่น เครื่องกึง, เครื่องตัดเหล็กแผ่นเรียบ, เครื่องตัดเหล็กชนิดไฟเบอร์ และเครื่องเจาะ เป็นต้น และจะมีอุปกรณ์ที่ทำขึ้นมาเพื่อใช้ในการพันขาดแคลนหน้าแปลง โดยเฉพาะซึ่งทำมาจากไม้โดยมีรูปแบบดังรูปที่ 5.1



รูปที่ 5.1 อุปกรณ์การพันขาดแคลน

5.3 ขั้นตอนการสร้างหม้อแปลงไฟฟ้าระยะที่ 1

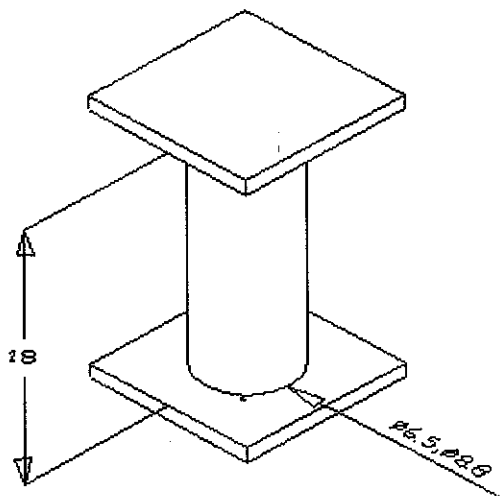
ขั้นตอนระยะที่ 1 นี้จะเป็นส่วนที่เกี่ยวกับการพันขดลวด โดยขดลวดหม้อแปลงที่จะทำการพันนี้จะมีอยู่ทั้งหมด 4 แกนด้วยกัน ซึ่งจะแบ่งเป็นแกนของขดลวดด้านปฐมภูมิ 2 แกน และขดลวดด้านทุคิยภูมิ 2 แกนซึ่งจะมีรายละเอียดการพันดังนี้

5.3.1 ทำการกลึงไม้ไผ่เป็นรูปทรงกรวยของจำนวน 4 ท่อน โดยมีขนาดเส้นผ่าศูนย์กลาง เม่ากัน 6.5 ซม.

ยาว 18 ซม. จำนวน 2 ท่อน และขนาดเส้นผ่าศูนย์กลาง 8.8 ซม. ยาว 18 ซม. จำนวน 2 ท่อน

5.3.2 ทำการตัดไม้อัดความหนา 10 มม. ขนาด 12×12 ซม. จำนวน 8 แผ่น

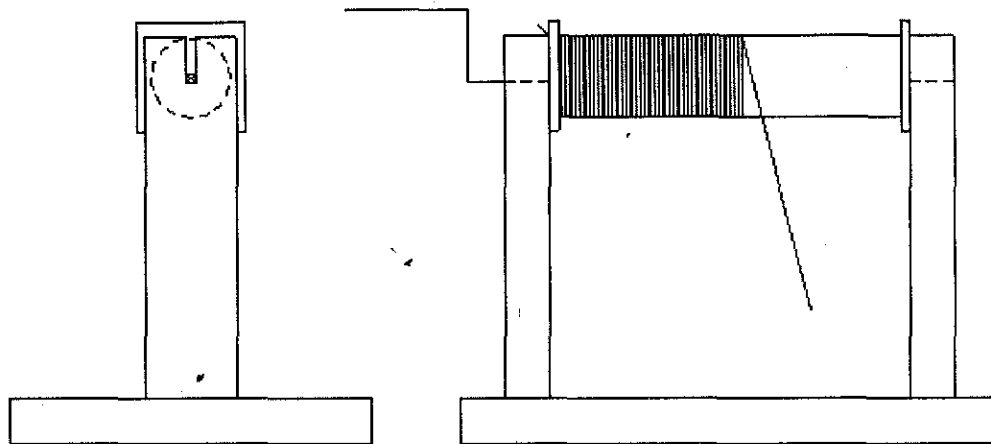
5.3.3 นำแผ่นไม้อัดจาก 5.3.2 ไปประกอบหัวท้ายของท่อนไม้รูปทรงกรวยทั้ง 4 ท่อน และทำการเจาะรูที่บริเวณแผ่นไม้อัดเพื่อสอดสายขดลวด โดยมีลักษณะดังรูปที่ 5.2



รูปที่ 5.2 แกนไม้กลึง

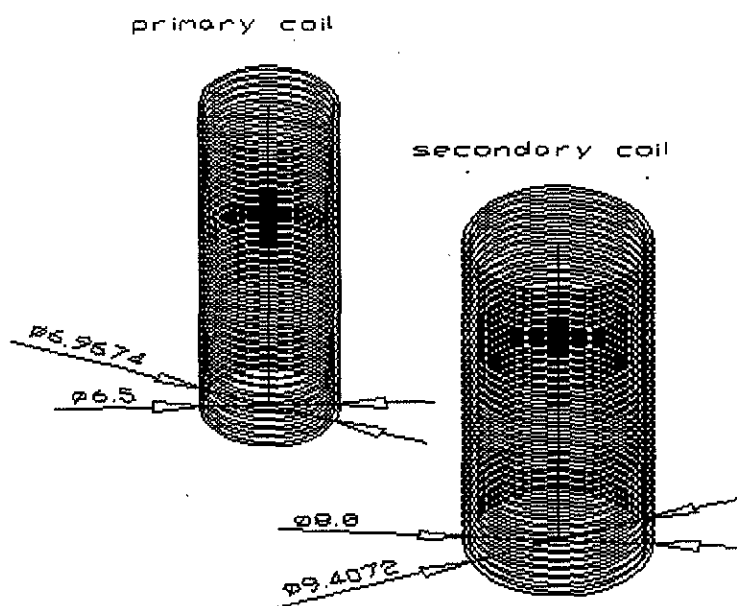
5.3.4 นำท่อนไม้ที่ประกอบเสร็จแล้วตามข้อ 5.3.3 มาทำการพันขดลวด โดยท่อนไม้ที่มีขนาดเส้นผ่าศูนย์กลาง 6.5 ซม. จะทำการพันขดลวดเบอร์ AWG 13 และท่อนไม้ที่มีขนาดเส้นผ่าศูนย์กลาง 8.8 ซม. จะทำการพันขดลวดเบอร์ AWG 22 โดยการพันขดลวดทั้ง 2 ชนิดนี้จะใช้อุปกรณ์การพันที่ไม่เหมือนกัน โดยการพันขดลวดเบอร์ AWG 13 จะทำการพันขดลวดโดยใช้เครื่องกลึงทั้งนี้เนื่องมาจากการพันด้วยมือไม่สะดวกให้กลุ่ม โดยการพันจะทำการพันขดลวดทั้งหมด 202 รอบต่อ 1 แกน จำนวน 2 แกน โดยในแต่ละแกนจะพันได้ 3 ชั้น โดยก่อนที่จะทำการพันขดลวดให้พันกระดาษฉนวนหม้อแปลงอย่างหนารอบแกนไม้ก่อน และทำการพันขดลวด และเมื่อหมด 1 ชั้น ก็ให้พันกระดาษฉนวนอย่างบางรอบขดลวด 1 รอบก็จะทราบว่าขดลวดด้วยกัน ส่วนการพันขดลวดเบอร์ AWG 22 จะทำการพันโดยมีลักษณะการพันเหมือนกับขดลวดเบอร์ AWG 13 แต่จะทำการพันขดลวดโดยอุปกรณ์การพันที่ได้ทำขึ้น โดยมีลักษณะดังรูปที่ 5.1 ทั้งนี้เนื่องจากว่า ขดลวดเบอร์ AWG 13 มีขนาดเล็ก และจำนวนการพันขดลวดมากซึ่งการพันด้วยมือจะสามารถจัดเรียงขดลวดได้ดีกว่าใช้เครื่องกลึง โดยการพันขดลวดเบอร์ AWG 22 นี้จะทำ

การพัน 2 แกน โดยแต่ละแกนจะทำการพัน 2752 รอบ และแต่ละแกนจะพันทั้งหมด 12 ชั้น โดยลักษณะการพันจะมีลักษณะดังรูป 5.3



รูปที่ 5.3 ลักษณะการพันขดลวด

5.3.5 เมื่อทำการพันขดลวดจากขั้นตอนที่ 5.3.4 เสร็จแล้วก็ทำการนำไปอัด 10 มม. ออก และทำการเคาะแกนไม้ทรงกระบอกออกจากขดลวดโดยใน การเคาะต้องระวังไม่ให้สักนิ้วไปเคาะโคนขดลวด และเมื่อนำแกนเหล็กออกจากขดลวด ขดลวดจะมีลักษณะดังรูปที่ 5.4



รูปที่ 5.4 ขดลวดที่พันเสร็จเรียบร้อยแล้ว

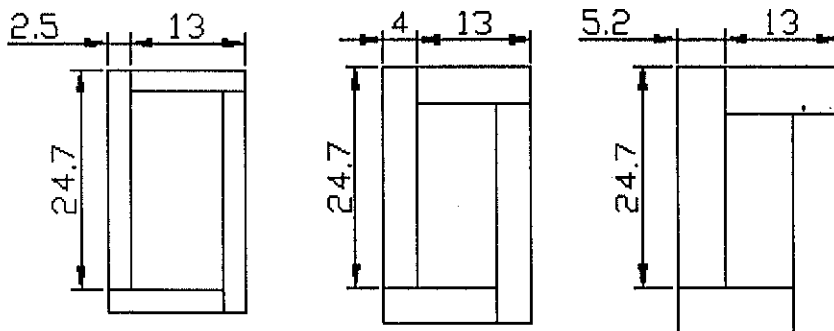
5.4 ขั้นตอนการสร้างหม้อแปลงไฟฟาระยะที่ 2

ในขั้นตอนระยะที่ 2 นี้จะเป็นการทำในส่วนของแกนเหล็กหม้อแปลงโดยจะทำการตัดแผ่นเหล็กบางๆซึ่งอุปกรณ์ที่ใช้ในการตัดแผ่นเหล็กนี้เป็นเครื่องที่ใช้ ระบบไฮดรอลิกซึ่งจะทำให้แผ่นเหล็กมีความเรียบบริเวณที่ทำการตัด โดยการตัดแผ่นเหล็กในการทำแกนหม้อแปลงจะทำการตัดอยู่ 6 ขนาด ซึ่งรายละเอียดในระยะที่ 2 จะกระทำตามลักษณะดังนี้

5.4.1 ทำการตัดแผ่นเหล็กหม้อแปลงหนา 0.014นิ้ว ด้วยเครื่องตัดเหล็กแผ่นระบบไฮดรอลิก ตามขนาดดังนี้

- แผ่นเหล็กขนาด 2.5×13 ซม. จำนวน 65 แผ่น
- แผ่นเหล็กขนาด 2.5×24.7 ซม. จำนวน 65 แผ่น
- แผ่นเหล็กขนาด 4×13 ซม. จำนวน 86 แผ่น
- แผ่นเหล็กขนาด 4×24.7 ซม. จำนวน 86 แผ่น
- แผ่นเหล็กขนาด 5.2×13 ซม. จำนวน 140 แผ่น
- แผ่นเหล็กขนาด 5.2×24.7 ซม. จำนวน 140 แผ่น

5.4.2 เมื่อทำการตัดแผ่นเหล็กแล้วในแผ่นเหล็กมาทำการเรียงเป็นแกนของหม้อแปลงซึ่งในการเรียงจะทำการเรียง 3 ขนาดและในการเรียงแผ่นเหล็กนั้นจะต้องทำการเรียงสลับกัน ตามรูป 5.5



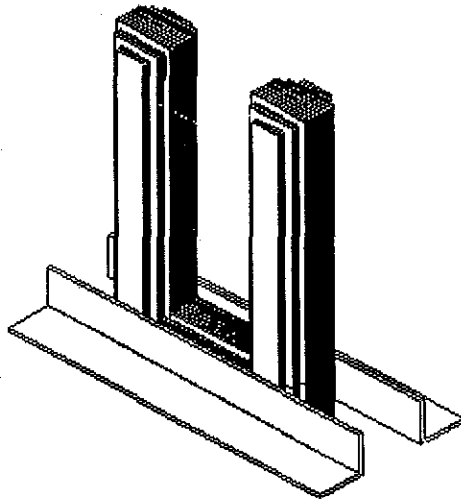
รูปที่ 5.5 การเรียงแกนเหล็ก

5.4.3 เมื่อทำการเรียงแผ่นเหล็กเสร็จแล้วนำมาระบอนเป็นแกนเหล็กหม้อแปลง โดยมีลักษณะตามรูปที่ 5.6



รูปที่ 5.6 แกนเหล็กหน้าแปลง

5.4.4 เมื่อทำการประกอบแกนเหล็กเสร็จเรียบร้อยแล้วก็นำเหล็กจาก 1.5 นิ้ว ยาว 1 พุต จำนวน 2 เส้นมา บีบแกนเหล็กให้อุ่นตัว และทำการนำแกนเหล็กด้านบนออก เพื่อที่จะนำขดลวดที่ทำการพันเรียบร้อยมา คล้องดังรูปที่ 5.7

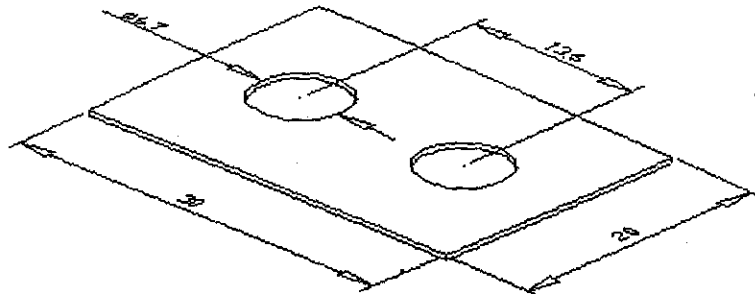


รูปที่ 5.7 แกนเหล็กหน้าแปลงที่นำส่วนบนออก

5.5 ขั้นตอนการสร้างหน้าแปลงไฟฟ้าระยะที่ 3

ขั้นตอนระยะที่ 3 นี้จะเป็น ลักษณะในการประกอบและการอนวน โดยจากขั้นตอนที่ 1 และ 2 จะทำทำ ส่วนขดลวดและส่วนแกนเหล็ก ซึ่งในส่วนที่ 3 จะเป็นการนำทั้ง 2 ส่วนในระยะที่ 1 และ 2 มาประกอบกันและทำการ กันฉนวน และทำการตรวจสอบความเรียบร้อยของหน้าแปลง ก่อนจะนำมาทดสอบคุณสมบัติต่างๆ ของหน้า แปลงไฟฟ้า โดยจะมีรายละเอียดดังต่อไปนี้

5.5.1 ทำการตัดแผ่นฉนวนเบต้าไก่จำนวน 2 แผ่น เพื่อเป็นฉนวนกันระหว่างแกนเหล็กกับขดลวดซึ่งจะ ทำการตัดโดยมีขนาดรูปที่ 5.8



รูปที่ 5.8 แผ่นเบต้าไลท์

5.5.2 นำแผ่นเบต้าไลท์ในขั้นตอนที่ 5.5.1 จำนวน 1 แผ่นสอดเข้าในแกนเหล็กและทำการใส่ชุดคลวตปูนภูมิ (AWG13) ในแกนเหล็กทั้ง 2 แกน โดยระหว่างแกนเหล็กกับชุดคลวตจะมีกระดาษฉนวนอย่างหนา กันอุ่นและเมื่อใส่ชุดคลวต AWG13 เข้าไปแล้วก็นำกระดาษฉนวนอย่างหนามาพันรอบชุดคลวตอีก ต่อไปก็นำชุดคลวตดูภูมิ (AWG 22) ใส่ทับชุดคลวต AWG13 โดยทำการพันกระดาษฉนวน ทั้งด้านใน และด้านนอกของชุดคลวต และเมื่อทำการใส่ชุดคลวต AWG 22 แล้วจะมีช่องว่างระหว่างชุดคลวตทั้งสอง ซึ่งจะเป็นพื้นที่การฉนวนระหว่างชุดคลวตทั้งสองและซึ่งเป็นการระบายน้ำความร้อนในชุดคลวต ด้วย โดยในช่องว่างระหว่างชุดคลวตนี้ก็ไม่ได้มีแค่ตัว ให้พอดีกับช่องว่าง และเสียบลงในช่องว่าง นั้นให้ชุดคลวตทั้งสองแน่น และเมื่อเสร็จก็ทำการปิดด้วยแผ่นเบต้าไลท์อีกแผ่นที่เหลือ และทำการปิด แกนเหล็กด้านบนโดยเรียงแผ่นเหล็กที่ลงทะเบียน โดยหวังไม่ให้แต่ละแผ่นซ้อนกัน และเมื่อประกอบเสร็จแล้วจะมีลักษณะดังรูปที่ 5.9

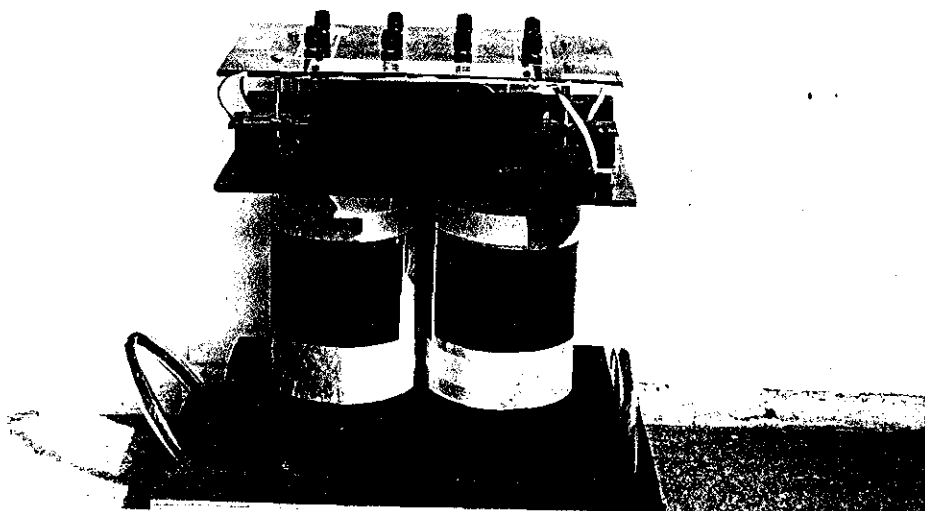


รูปที่ 5.9 ห้องแบล็งที่ประกอบแล้ว

5.5.3 นำมือแปลงที่ประกอบแล้วในขั้นตอนที่ 5.5.2 มาทำการยึดกับฐานไม้ และนำมือแปลงไปทำ การทดลองหาค่ากระแสตู้น (Exciting current) โดยทำการต่อสายเชื่อมระหว่างด้านมือแปลง เดียวกัน ให้มีพิกัดของฟลักซ์จริงแม่เหล็กให้มีพิกัดเดียวกัน และทำการทดลองโดยการทำที่ สภาวะไร้โหลด ที่แรงดันพิกัดซึ่งกระแสตู้นจะวัดได้จากการแสดงทางคลาดปฐมภูมิ (AWG13) และทำการจัดเรียงแกนเหล็กของมือแปลงโดยการเคราะห์ห่วงทำการวัดค่ากระแสตู้นซึ่งการ เคาะจะทำให้แผ่นเหล็กในแกนเหตุ กหมือแปลงเรียงตัวชิดกันมากขึ้นซึ่งจะส่งผลให้ค่า กระแสตู้นมีค่าต่ำลง ซึ่งเคาะไปเรื่อยๆ ให้ค่ากระแสตู้นต่ำที่สุด โดยจะต้องระวังในการเคาะ ด้วย

5.5.4 นำมือแปลงไปทำการอ่อนผวนน้ำยาวนิช โดยขั้นตอนในการอ่อนน้ำยาวนิชนี้จะต้องทำการ อ่อนน้ำยาวนิชในขณะที่มือแปลงมีอุณหภูมิสูงเพียงให้น้ำยาวนิช แทรกซึมในแกนเหล็กและคล คลุกได้ง่ายขึ้น ซึ่งในการทำให้มือแปลงมีอุณหภูมิสูงนั้นทำโดย นำมือแปลงใส่ในปีบและทำการอบด้วยหลอดไฟฟ้าชนิดหลอดกลม ขนาด 60 W. 1 ดวง โดยทิ้งมือแปลงไว้ประมาณ 7 ชั่วโมง และนำน้ำยาวนิช รดลงบนตัวมือแปลงให้ทั่ว และนำมือแปลงมาหากให้แห้ง กระทำซ้ำ 2 รอบ

5.5.5 เมื่อทำการอ่อนน้ำยาวนิชเสร็จแล้วก็นำมือแปลงมาตรวจสอบความเรียบร้อยภายนอกและทำการติด Binding post และสวมสายสปานเก็ตตี้กับคลาวที่จะนำไปใช้งานและทำการเข้าหัวสายด ลวดให้เรียบร้อยพร้อมนำไปใช้งาน โดยมือแปลงที่เสร็จสมบูรณ์จะมีลักษณะดังรูปที่ 5.10



รูปที่ 5.10 มือแปลงไฟฟ้าที่เสร็จสมบูรณ์

5.6 สรุป

ขั้นตอนในการสร้างหน้าแดปล็อกไฟฟ้าจะแยกออกเป็นขั้นตอนหลักๆ 3 ขั้นตอน โดยเรียงตามลำดับจากขั้นตอนการพัฒนาคร่าวด, ขั้นตอนการทำแกนเหล็ก และขั้นตอนการประกอบและการฉนวน ซึ่งในบางรายละเอียดของในแต่ละขั้นตอนอาจจะมีข้อแตกต่างไปจากการออกแบบเนื่องจากข้อจำกัดของวัสดุและอุปกรณ์โดยลักษณะการสร้างจะเริ่มจากการพัฒนาคร่าวดตามจำนวนรอบที่ได้ออกแบบบนท่อนไม้กางสิง และนำท่อนไม้ออก และทำการตัดเหล็กมาประกอบเป็นแกนหน้าแดปล็อกตามขนาดที่ได้ออกแบบและนำข้อความที่พันเสร็จแล้วใส่ในแกนข้อความและทำการกันฉนวนและประกอบตรวจสอบคุณภาพเรียบร้อยก่อนนำไปค่าพารามิเตอร์ต่างๆทางไฟฟ้าก่อนนำไปใช้งานต่อไป

บทที่ 6

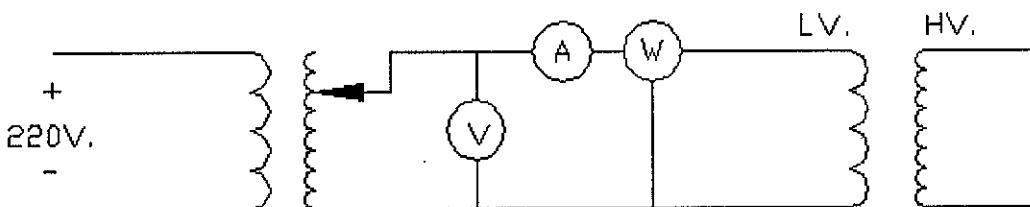
การวิเคราะห์ค่าพารามิเตอร์ต่างๆที่ได้จากการทดสอบหม้อแปลง

6.1 กล่าวนำ

จากข้อมูลหม้อแปลงไฟฟ้าที่ทำการออกแบบมานี้ จะต้องทำการตรวจสอบค่าต่างๆเหล่านี้อีกครั้งในห้องปฏิบัติการซึ่งข้อมูลที่ได้ตรวจวัดจากห้องปฏิบัติการอาจมีความแตกต่างจากข้อมูลที่ทำการออกแบบนั้งเล็กน้อย แต่จะไม่ควรร้ายไปกว่าที่ได้ทำการออกแบบไว้ ซึ่งในบทนี้จะเป็นการนำเสนอผลการตรวจวัดค่าพารามิเตอร์ต่างๆ เช่น ประสิทธิภาพ, กำลังงานสูญเสีย, ค่าอิมพีเดนซ์ และค่าโวลท์meter เฉพาะชั้นของหม้อแปลงไฟฟ้าเป็นต้น และยังขออธิบายวิธีการตรวจวัดค่าต่างๆ ด้วย โดยมีรายละเอียดดังนี้

6.2 การทดสอบหม้อแปลงที่สภาวะเปิดวงจร

การทดสอบหม้อแปลงไฟฟ้าที่สภาวะเปิดวงจรนี้สามารถใช้วัดค่าพารามิเตอร์ต่างๆ ทางไฟฟ้าได้หลายค่าซึ่งจะมีการต่อวงจรดังต่อไปนี้



รูปที่ 6.1 การทดสอบหม้อแปลงที่สภาวะเปิดวงจร

ในการทำการทดสอบหม้อแปลงไฟฟ้าในสภาวะเปิดวงจนี้จะทำการเปิดวงจรทางด้านแรงดันสูง และทำการวัดค่าทดสอบต่างๆทางด้าน แรงดันต่ำ ทั้งนี้เพื่อว่าทางด้านแรงดันต่ำกร่องมีอัตราอยู่ในขนาดที่สามารถทำการวัดได้และในการทดสอบจะมีอันตรายน้อย แต่ต้องระมัดระวังไม่ให้ถูกด้านขี้วายด้านแรงดันสูง และควรมีการป้องกันขี้วายด้วย

และผลจากการทดสอบในสภาวะเปิดวงจรจะใช้วัดค่าต่างๆ ทางไฟฟ้าได้ดังต่อไปนี้

ค่ากระแสเต็มทางด้านปฐมภูมิ (Exciting current)

อัตราส่วนการทรานส์ฟอร์ม (a)

ค่ากำลังงานสูญเสียในแกนเหล็ก (Core loss)

ค่าความต้านทานในแกนเหล็ก (R_c)

ค่ารีแอคแทนท์ของตัวเหนี่ยวหน้าสำหรับแม่เหล็ก (X_m)

6.2.1 การตรวจวัดค่ากระแสการตู้นทางด้านปฐมภูมิ

ในการวัดค่ากระแสการตู้นนี้จะทำการวัดที่ส่วนภายนอกของวงจร ดังรูปที่ 6.1 แต่จะต้องปลดโอลท์ มิเตอร์ และวัตต์มิเตอร์ ออกเสียก่อน เพื่อให้กระแสไฟฟ้าผ่านแอมมิเตอร์ได้อย่างเดียว โดยค่ากระแสการตู้นที่อ่านได้คือ

$$\text{กระแสการตู้น} (\text{Exciting current}, I_o) = 0.295 \text{ A.}$$

6.2.2 การตรวจสอบค่าอัตราส่วนการทรานส์ฟอร์ม (a)

จะตรวจสอบโดยใช้โอลท์มิเตอร์ 2 ตัวต่อระหว่างคลาดปฐมภูมิและหุติภูมิตามรูปที่ 6.1 และทำการปลด วัตต์มิเตอร์ออก โดยค่าอัตราส่วนการทรานส์ฟอร์ม (a) จะต้องมีค่าใกล้เคียงกับ $220/3000 = 0.0733$ ซึ่งในการทดลองจะไม่สามารถทำการวัดแรงดันที่ 3000V. โดยอุปกรณ์ในห้องปฏิบัติการได้ จึงต้องปรับค่าแรงดันทางปฐมภูมิมาที่ 35 V. และทำการวัดค่าแรงดันทางด้านหุติภูมิได้ดังนี้

$$V_2 = 477 \text{ V.}$$

$$\therefore a = \frac{V_p}{V_s} = \frac{V_1}{V_2} = \frac{35}{477} = 0.0734$$

6.2.3 การตรวจสอบค่ากำลังงานสูญเสียในแกนเหล็ก, R_c และ X_m

การหาค่าทั้ง 3 ส่วนนี้จะหาค่าได้ในการทดลองเดียวกันดัง รูปที่ 6.1 โดยจะไม่ต่อ โอลท์มิเตอร์ ทางด้านหุติภูมิ เพราะแรงดันเกิดขึ้นจากของเครื่องมือวัด ซึ่งจากการทดลองในรูปที่ 6.1 ทำการทดลองที่แรงดันพิกัด จะได้ค่าต่างๆ ดังนี้

$$P_{oc} = 10 \text{ W.}$$

$$I_{oc} = 0.295 \text{ A.}$$

$$V_{oc} = 220 \text{ V.}$$

ดังนั้นจากกำลังงานจริงที่อ่านได้จาก วัตต์มิเตอร์จะเป็นค่ากำลังงานสูญเสียในแกนเหล็ก ส่วนค่า R_c และ X_m จะสามารถหาได้โดยการคำนวณจากค่า P_{oc} , I_{oc} และ V_{oc} ดังนี้

$$\text{ตัวประกอบกำลัง } PF = \frac{P_{oc}}{I_{oc}V_{oc}} = \frac{10}{0.295 \times 220} = 0.154 \text{ lagging}$$

$$\theta = -\cos^{-1} PF = -81.1^\circ$$

$$Y_E = \frac{I_{oc}}{V_{oc}} \left[-81.1^\circ \right] = \frac{0.295}{220} \left[-81.1^\circ \right] = 0.00134 \left[-81.1^\circ \right]$$

$$= \frac{1}{R_c} - j \frac{1}{X_m} = 0.000207 - j0.001324$$

$$\therefore R_c = 4831 \Omega$$

$$X_m = 755 \Omega$$

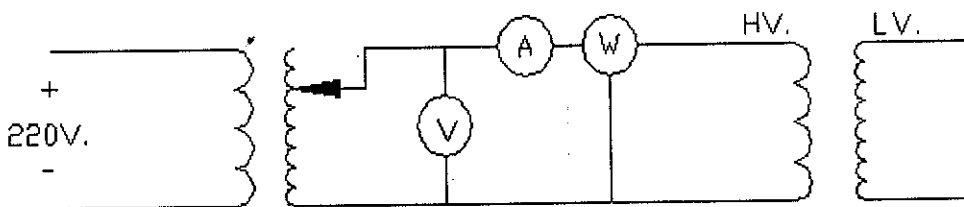
ดังนั้นจากค่า R_c และ X_m สามารถที่จะคำนวณหาค่า กระแสทำแม่เหล็ก(Magnetizing current, I_ϕ) และกระแสการตู้นในส่วนสูญเสียในแกนเหล็ก(Core loss current, $I_h + e$) ได้ดังนี้

$$I_{h+e} = \frac{(0.295 \angle -81.1^\circ)(755 \angle 90^\circ)}{4831 + j755} = 0.0455 \angle 0^\circ$$

$$I_\phi = \frac{(0.295 \angle -81.1^\circ)(4831 \angle 0^\circ)}{4831 + j755} = 0.291 \angle -90^\circ$$

6.3 การทดสอบหม้อแปลงที่สภาวะลักษณะ

การทดสอบหม้อแปลงไฟฟ้าที่สภาวะลักษณะนี้จะสามารถทำการตรวจสอบค่าพารามิเตอร์ต่างๆ ทางไฟฟ้าได้หลายค่าซึ่งการต่อวงจรจะมีการต่อคั่งวงจรต่อไปนี้



รูปที่ 6.2 การทดสอบหม้อแปลงที่สภาวะลักษณะ

ในการทดสอบหม้อแปลงไฟฟ้าที่สภาวะลักษณะนี้ จะต้องทำการ ลักษณะที่ ด้านแรงดันต่ำและทำการวัดค่าต่างๆ ทางด้านแรงดันสูง ทั้งนี้เป็นเพื่อการทดสอบนี้จะกระทำ ที่แรงดันกำหนดค่ากระแสทางขดลวดแรงดันต่ำจะมีค่าสูง ดังนั้นการป้อนแรงดันและวัดค่าต่างๆ ทางด้านของโหลดแรงดันสูงจะกระทำได้สะดวกกว่า โดยการทดสอบที่สภาวะนี้จะสามารถวัดค่าต่างๆทางไฟฟ้าได้ดังต่อไปนี้

ค่ากำลังงานสูญเสียในขดลวด (Copper loss)

ค่าความด้านทานสมมูล (Req)

ค่ารีแอกเคนท์สมมูล (Xeq)

6.3.1 การตรวจสอบค่ากำลังงานสูญเสียในขดลวด, Req , Xeq

การตรวจสอบค่าทั้ง 3 จะหาค่าได้โดยการทดลองตามรูปที่ 6.2 ที่กระแสพิกัด(0.333A.) ซึ่งจะได้ค่าที่วัดได้ 3 ค่า คือ

$$P_{sc} = 19 \text{ W.}$$

$$I_{sc} = 0.333 \text{ A.}$$

$$V_{sc} = 63 \text{ V.}$$

จากค่ากำลังงานจริงที่อ่านได้ จากวัตต์มิเตอร์ จะเป็นค่ากำลังงานสูญเสียในขดลวดของหม้อแปลง ส่วนค่า X_{eq} , Req จะสามารถหาได้จากการคำนวณของค่าที่วัดได้ดังนี้

$$\text{ตัวประกันกำลัง PF} = \frac{P_{sc}}{I_{sc}V_{sc}} = \frac{19}{(0.333)(63)} = 0.906 \text{ lagging}$$

$$\begin{aligned} Z_{se} &= \frac{63}{0.333} \left[\cos^{-1} 0.906 \right] \\ &= 189.2 [25^\circ] \\ &= 171 + j79.9 \\ &= Req + jX_{eq} \end{aligned}$$

$$\therefore Req^* = 171 \Omega = 0.019 \text{ pu.}$$

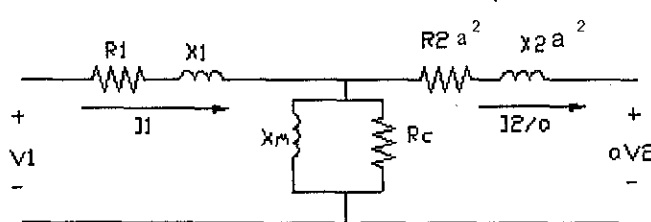
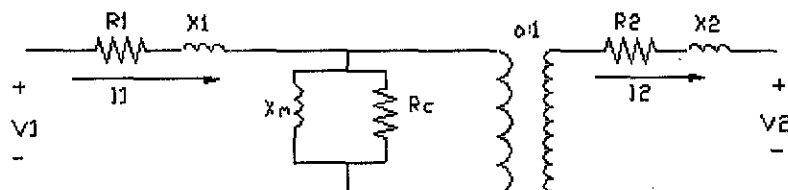
$$X_{eq}^* = 79.9 \Omega = 0.0089 \text{ pu.}$$

$$Z_{eq} = \sqrt{171^2 + 79.9^2} = 188.7 \Omega = 0.021 \text{ pu.}$$

(*) ค่า Req และค่า X_{eq} ที่ได้จะคิดเทียบไปทางด้านแรงดันเร่ง(ด้านทุติกูมิ)

6.4 การทดสอบห่วงจรสมมูลของหม้อแปลงไฟฟ้า

วงจรสมมูลของหม้อแปลงไฟฟ้านี้โดยทั่วไปจะมีรูปแบบดังรูปที่ 6.3



รูปที่ 6.3 วงจรสมมูลของหม้อแปลง

จากการทดลองใน ตอนที่ 6.2 , 6.3 ผลการทดลองที่ได้จะสามารถนำมาเขียนเป็นวงจรสมมูลของหม้อแปลงได้ แต่ในส่วนของ X_{eq} และ Req นั้นจะต้องทำการแยกเป็นค่า X_1 , X_2 และ R_1 , R_2 เทียบกันโดยค่า R_1 และค่า R_2 นั้นสามารถหาค่าได้โดยใช้วงจรวิทส์โตนบ์ริคจ์ วัดซึ่งจะได้

$$R_1 = 0.479 \Omega.$$

$$R_2 = 83.2 \Omega.$$

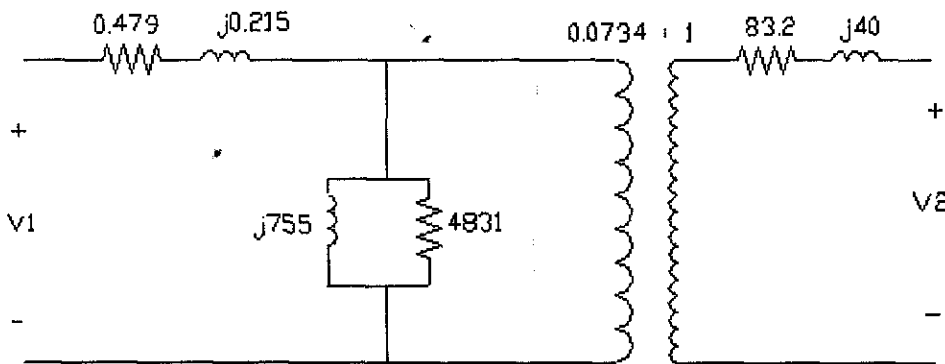
ตัวนค่า $X_1 (X_L)$ และ $X_2 (X_H)$ นั้นจะหาได้โดยประมาณซึ่งหาจาก X_{eq} ดังนี้

$$X_{eq} = X_2 + \frac{X_1}{a^2} = 79.9 \Omega$$

$$X_2 \approx \frac{X_1}{a^2} \approx \frac{79.9}{2} = 39.95 \approx 40 \Omega$$

$$X_1 = 39.95 \times a^2 \approx 0.215 \Omega$$

ดังนั้นจากการตรวจดูแลรักษาขั้นตอนที่กล่าวมาทั้งหมดนั้นเป็นวงจรสมมูลของหน้าแปลงได้ดังรูปที่ 6.4



รูปที่ 6.4 วงจรสมมูลของหน้าแปลงที่ได้จากการทดสอบ

6.4 การทดสอบหาค่าประสิทธิภาพของหน้าแปลงไฟฟ้า

จากขั้นตอน 6.2 และ 6.3 จะทราบค่ากำลังงานสูญเสียทั้งหมดของหน้าแปลง ดังนั้นจะสามารถหาค่าประสิทธิภาพของหน้าแปลงได้ดังนี้

ที่โหลดพิกัด 100% ($PF=1.0$)

$$\text{ประสิทธิภาพ} (\eta) = \frac{\text{กำลังงานข้ออก}}{\text{กำลังงานข้ออุปกรณ์} + \text{กำลังงานสูญเสียทั้งหมด}} \times 100$$

$$= \frac{1000}{1000 + 10 + 19} \times 100 = 97.2\%$$

ที่โหลด 75% ($PF=1.0$)

กำลังงานสูญเสียในแกนเหล็ก = 10 W.

$$\begin{aligned} \text{กำลังงานสูญเสียในเดลต้า} &= (0.75 \times 0.333)^2 83.2 + (0.75 \times 4.545)^2 0.479 \\ &= 10.75 \text{ W.} \end{aligned}$$

$$\text{กำลังงานสูญเสียรวม} = 10 + 10.75 = 20.75 \text{ W.}$$

$$\text{ประสิทธิภาพ}(\eta) = \frac{750}{750+20.75} \times 100 = 97.3\%$$

ที่โหลด 50% (PF=1.0)

กำลังงานสูญเสียในแกนเหล็ก = 10 W.

$$\begin{aligned}\text{กำลังงานสูญเสียในขดลวด} &= (0.5 \times 0.333)^2 83.2 + (0.5 \times 4.545)^2 0.479 \\ &= 4.78 \text{ W.}\end{aligned}$$

กำลังงานสูญเสียรวม = 10+4.78=14.78 W.

$$\text{ประสิทธิภาพ}(\eta) = \frac{500}{500+14.78} \times 100 = 97.1\%$$

ที่โหลด 25%

กำลังงานสูญเสียในแกนเหล็ก = 10 W.

$$\begin{aligned}\text{กำลังงานสูญเสียในขดลวด} &= (0.25 \times 0.333)^2 83.2 + (0.25 \times 4.545)^2 0.479 \\ &= 1.20 \text{ W.}\end{aligned}$$

กำลังงานสูญเสียรวม = 10+1.20=11.2 W.

$$\text{ประสิทธิภาพ}(\eta) = \frac{250}{250+11.2} \times 100 = 95.7\%$$

6.5 การตรวจสอบหาค่า โวลท์ เมตรเรกูเลชันของหม้อแปลงไฟฟ้า

ในการหาค่า โวลท์ เมตรเรกูเลชันนี้จะหาได้จากการคำนวนโดยอาศัยค่า Xeq และ Req ซึ่งในการหาค่าจะหาค่าที่ตัวประกอบกำลังของโหลดมีค่า 1.0 และ 0.8 กระแสล้าหลัง

ค่า โวลท์ เมตรเรกูเลชันที่ตัวประกอบกำลังของโหลด 1.0 กระแสล้าหลัง (PF=1.0)

$$\begin{aligned}\frac{V_1}{a} &= V_2(1+j0) + I_2(\cos \theta_2 - j \sin \theta_2)(R_{eq} + jX_{eq}) \\ &= 3000(1+j0) + 0.333(1-j0)(171 + j79.9) \\ &= 3057 + j26.6 \\ &= \sqrt{3056^2 + 26.6^2} = 3056 \text{ V.}\end{aligned}$$

$$\text{เบอร์เซ็นต์เรกูเลชัน} = \frac{3056 - 3000}{3000} \times 100 = 1.87\%$$

ค่า โวลท์ เมตรเรกูเลชันที่ตัวประกอบกำลังของโหลด 0.8 กระแสล้าหลัง (PF = 0.8 Lagging)

$$\frac{V_1}{a} = V_2(1+j0) + I_2(\cos \theta_2 - j \sin \theta_2)(R_{eq} + jX_{eq})$$

$$\begin{aligned}
 &= 3000(1+j0) + 0.333(0.8 - j0.6)(171 + j79.9) \\
 &= 3061 + j12 \\
 &= \sqrt{3061^2 + 12^2} = 3061V.
 \end{aligned}$$

$$\text{เปอร์เซ็นต์เรกูเลชัน} = \frac{3061 - 3000}{3000} \times 100 = 2.03\%$$

6.6 สรุป

จากขั้นตอนจาก 6.1 ถึง 6.5 สามารถนำมาเขียนเป็นข้อมูลรวมของค่าพารามิเตอร์ต่างๆ ของหม้อแปลงจากการทดสอบได้ดังนี้

หม้อแปลงไฟฟ้า 220/3000V. (4.545/0.333A.) 1kVA. Single Phase, 50 Hz.

ค่ากระแสทำแม่เหล็ก(Magnetizing current).....0.291A.

ค่ากระแสในตัวน้ำสูญเสียในแกนเหล็ก (Core loss current).....0.045A.

ค่ากระแสกระแสดูน

แอม培ร์ 0.295.

เปอร์เซ็นต์.....6.49

เปอร์เซ็นต์

ค่าความต้านทาน.....1.90

ค่ารีแอคแทนท์.....0.89

ค่าอิมพิడเคนท์.....2.10

ตัวประกอบกำลัง	0.8	1.0	
----------------	-----	-----	--

ไวลท์เดอร์เรกูเลชัน	2.03	1.87	
---------------------	------	------	--

โหลด

กำลังงานสูญเสียรวม.....29 W.

กำลังงานสูญเสียในแกนเหล็ก.....10W.

กำลังงานสูญเสียในคลวค..... 19W.

เปอร์เซ็นต์

โหลด	25	50	75	100
ประสิทธิภาพ (PF=1.0)	95.7	97.1	97.3	97.2

คลวค

	LV.	HV.
ค่าความต้านทาน	0.479Ω	83.2Ω
ค่ารีแอคแทนท์	0.215Ω	40Ω

บทที่ 7

ข้อสรุปและข้อเสนอแนะ

7.1 ข้อสรุป

ในเรื่องหม้อแปลงไฟฟ้านั้นสามารถที่จะพิจารณาและทำการออกแบบจัดสร้างหม้อแปลงให้มีคุณสมบัติ ต่างๆ จะสามารถจัดสร้างเองได้ ซึ่งกระบวนการในการออกแบบและจัดสร้างหม้อแปลงในโครงการนี้ มีการกล่าวถึงทฤษฎี และสมการที่เกี่ยวข้องสามารถสรุปเป็นข้อๆ ได้ดังนี้

- 7.1.1 ทำการเลือกประเภทโครงสร้างของหม้อแปลงว่าจะเป็นโครงสร้างประเภทคลวตส้อมแกนหรือ ประเภทแกนเหล็กส้อมคลวต โดยแต่ละประเภทจะมีคุณสมบัติข้อดีแตกต่างกันซึ่งสามารถพิจารณารายละเอียดในการเลือกออกแบบได้ในบทที่ 2 หัวข้อ 2.3
- 7.1.2 ทำการกำหนดค่าแรงดันต่อรอบในการพัฒนาคลวตทองแดง(Vt) ซึ่งสามารถหาค่า Vt ได้จากสมการ 3.2 และพิจารณาค่าในค่าคงที่ในหัวข้อ 3.3 ประกอบกับ
- 7.1.3 ทำการหาจำนวนรอบทั้งหมดที่จะต้องทำการพัฒนาคลวตทองแดงทั้งทางด้านปฐมภูมิและด้านทุติยภูมิ ซึ่งหาค่าได้โดยนำค่าแรงดันหารด้วยค่า Vt
- 7.1.4 หาค่ากระแสที่แรงดันพิกัดทั้งทางด้านปฐมภูมิและด้านทุติยภูมิ
- 7.1.5 หาขนาดของหน้าต่างของแกนเหล็กหม้อแปลงจากสมการ 3.5 โดยจะต้องพิจารณาควบคู่กับค่า space factor จากสมการที่ 3.4
- 7.1.6 ทำการคำนวนหาค่าพื้นที่หน้าตัดของแกนเหล็ก โดยเริ่มจากการหาค่าฟลักซ์สูงสุดในแกนเหล็ก จาก สมการ 2.2 และเลือกค่าความหนาแน่นของฟลักซ์ โดยพิจารณาจากตาราง 3.1 และกำหนดค่า stacking factor จากนั้นสามารถทำการคำนวนค่าพื้นที่หน้าตัดของแกนเหล็กได้จาก $A = \Phi_{max}/B$
- 7.1.7 หาค่าเฉลี่ยทางเดินของฟลักซ์ในแกนเหล็ก (m.m.p)
- 7.1.8 คำนวนค่ากำลังงานสูญเสียในแกนเหล็กโดยพิจารณาจาก หน้าหนักร่วมของแกนเหล็กกับค่าอัตราส่วนกำลังงานสูญเสียในแกนเหล็กต่อน้ำหนักแกนเหล็ก จากราฟในภาคผนวก ก.
- 7.1.9 ทำการกำหนดค่าขนาดความหนาของการอนวนต่างๆ
- 7.1.10 ทำการเลือกขนาดเบอร์ของเส้น漉ความนำ้ยาโดยพิจารณาจากค่ากระแสที่พิกัดกับค่าความหนาแน่นของกระแส โดยเลือกจากตารางในภาคผนวก ก.
- 7.1.11 ทำการคำนวนความยาวของเส้น漉ความนำ้ยาที่จะใช้พัฒนาทั้งหมดทั้งทางด้านปฐมภูมิและด้านทุติยภูมิ
- 7.1.12 ทำการหาค่าความด้านทานในคลวตหม้อแปลงทั้งด้านปฐมภูมิและทุติยภูมิโดยพิจารณาจากค่าความด้านทานเข้าเพาเวอร์ของเส้น漉จากตารางในภาคผนวก ก.
- 7.1.13 หาค่ากำลังงานสูญเสียในคลวตที่โหลดต่างๆ จากระยะ $P=I^2 R$
- 7.1.14 คำนวนค่าประสิทธิภาพของหม้อแปลงที่โหลดต่างๆ ซึ่งพิจารณาได้จากหัวข้อที่ 3.15
- 7.1.15 คำนวนค่ากระแสที่ตุ้นทางด้านปฐมภูมิ ซึ่งพิจารณาได้จากหัวข้อที่ 3.10
- 7.1.16 คำนวนค่าโวลต์เทจรูดเข็มที่โหลดต่างๆ ซึ่งพิจารณาได้ตามหัวข้อที่ 3.14

7.2 ข้อเสนอแนะ

การออกแบบและการจัดสร้างหน้าแปลงเมื่อพิจารณาถึงค่าประสิทธิภาพของหน้าแปลงจะมีความสำคัญในการพิจารณาเลือกใช้หน้าแปลงนั้น ซึ่งจากการออกแบบและจัดสร้างหน้าแปลงไฟฟ้านั้นยังคงสามารถที่จะเพิ่มค่าประสิทธิภาพของหน้าแปลงได้อีกด้วยสามารถพัฒนาในขั้นตอนได้โดย

7.2.1 ในการพิจารณาออกแบบแกนเหล็กในคลาวด์ จะเพิ่มระดับขั้นของแกนเหล็กให้มากขึ้นโดยให้เส้นอ่อนเป็นทรงกลมมากที่สุด ซึ่งจะทำให้ลดความยาวของคลาวด์ที่จะพันและส่งผลให้กำลังงานสูญเสียในคลาวด์ลดลงด้วย ซึ่งจะทำให้ประสิทธิภาพของหน้าแปลงเพิ่มขึ้น

7.2.2 ในการพิจารณาค่า ความหนาแน่นของฟลักซ์ ในการออกแบบจะพบว่าหน้าแปลงในโครงการนี้มีค่าต่ำซึ่งจะส่งผลให้ต้องใช้จำนวนเหล็กที่ทำหน้าแปลงมากซึ่งส่งผลให้เกิดกำลังงานสูญเสียในแกนเหล็กมากด้วยแต่ถ้าทำการกำหนดค่าความหนาแน่นของฟลักซ์สูงเกินไป จะทำให้เกิดค่ากระแสระดับสูง ซึ่งจะส่งผลให้ค่าสัดส่วนกำลังงานสูญเสียในแกนเหล็กน้ำหนักเหล็กมีค่าสูง ส่งผลในเกิดกำลังงานสูญเสียในแกนเหล็กสูงอีก ดังนั้นการพัฒนาต่อไปนั้นจะต้องทำการหาจุดที่เหมาะสมที่จะทำให้เกิดค่ากำลังงานสูญเสียน้อยที่สุด

7.2.3 ในการพิจารณาค่า ความหนาแน่นของกระแส ถ้าต้องการให้ประสิทธิภาพ สูงก็จะต้องลดค่าความหนาแน่นของกระแส ให้ต่ำ ซึ่งจะทำให้ต้องใช้คลาวด์ขนาดใหญ่ขึ้น แต่จะลดค่ากำลังงานสูญเสียในคลาวด์ได้อีกเนื่องจากค่าความด้านทานในคลาวด์ลดลง แต่ค่าใช้จ่ายในการทำหน้าแปลงจะสูงขึ้นด้วย ดังนั้น ในการออกแบบควรทำการพิจารณาถึงความเหมาะสมในการใช้งานว่าคุณค่ากับการปฏิบัติหรือไม่

เอกสารอ้างอิง

- [1] Alfred Still,Charles S. Siskind ,Element of Electrical Machine design,McGraw-Hill,1954
- [2] S J Chapman , Electric Machinery Fundamentals ,McGraw-Hill,1991
- [3] William H Hayt,Jr Engineering Electromagnetics ,McGraw-Hill,1989

บรรณานุกรม

- [1] "พูล์ ไซน์ ,Electromechanical energy conversion II ,2529
- [2] Alfred Still,Charles S. Siskind Element of Electrical Machine design ,McGraw-Hill,1954
- [3] Fitzgerald , A.E. ,Electric Machinery ,McGraw-Hill,1990
- [4] Kenneth L.G, Kenneth R.E Transformer ,American Technical Publishers Inc ,1981
- [5] Mulukutla S Sarma, Electric Machines ,West Publishing company ,1994
- [6] S J Chapman , Electric Machinery Fundamentals ,McGraw-Hill,1991
- [7] William H Hayt,Jr Engineering Electromagnetics ,McGraw-Hill,1989
- [8] William M Flanagan ,Handbook of Transformer applications,McGraw-Hill ,1986

ภาคผนวก ก.

(ตารางแสดงขนาดของเต็นท์ลวดที่ใช้ในการพันหม้อแปลงไฟฟ้า)

ตารางแสดงขนาดของเส้นลวดที่ใช้ในการพันหม้อแปลง

ค่าเบอร์ AWG	เส้นผ่านศูนย์กลาง (มิล Mil)	พื้นที่หน้าตัด (ตารางนิ้ว)	ความหนาเน้นกระแสคิดเป็นแอมป์ร์ต่อตารางนิ้ว				
			2000 แอมป์	2500 แอมป์	3000 แอมป์	3500 แอมป์	4000 แอมป์
1	300	0.0706	141.2	176.9	212	247.5	283
	289.3	0.0657	131.4	164.1	197.1	230	262.8
2	276	0.0598	119.6	149.5	179.4	209	239.4
	257.6	0.052	104	130	156	192	208
3	252	0.0499	99.8	124.8	149.7	174.5	199
4	232	0.0425	85	106.2	127.5	148.8	170
	229.4	0.0413	82.6	103.2	123.9	144.5	165.2
5	212	0.0352	70.4	88	105.6	123.1	140.8
	204.3	0.0328	65.6	75.5	98.4	114.8	131.2
6	192	0.0289	57.8	72.25	86.7	101.2	115.6
	181.9	0.02599	51.98	64.9	77.97	91	103.9
7	176	0.02433	48.66	60.7	72.99	85	97.3
	162	0.02073	41.5	52.4	62.25	73.25	83
8	160	0.02014	40.28	50.4	60.42	70.5	80.56
	144.3	0.01839	32.78	40.98	49.17	57.3	65.56
9	144	0.0163	32.6	40.75	48.9	57	65.2
	128.5	0.013	26	32.5	39	46.5	52
10	128	0.01237	25.74	32.2	38.71	45	51.40
11	116	0.01058	21.16	26.45	31.74	37	42.32
	114.4	0.01029	20.58	25.75	30.87	36	41.16
12	104	0.0085	17	21.25	25.5	29.75	34
	101.9	0.008158	16.316	20.04	24.474	28.55	32.632
13	92	0.00664	13.28	16.6	19.92	23.2	26.56
	90.7	0.00646	12.93	16.15	19.38	22.6	25.84
14	80	0.005027	10.054	12.58	15.081	17.6	20.018
15	72	0.004072	8.14	10.2	12.22	14.24	16.29
	64.1	0.00329	6.58	9.65	9.87	11.5	13.16
16	64	0.003217	6.43	8.05	9.65	11.3	12.87
	57.1	0.00235	5.12	6.4	7.68	8.96	9.24
17	56	0.002463	4.93	6.16	7.39	8.82	8.85
	50.8	0.002028	4.036	5.05	6.054	7.05.	8.052

18	48	0.001820	3.62	4.52	5.44	6.34	7.24
	45.3	0.00161	3.22	4.025	4.83	5.64	6.44
	40.3	0.001276	2.524	3.18	3.816	4.45	5.088
19	40	0.001257	2.52	3.14	3.77	4.4	5.02
20	36	0.001018	2.04	2.55	3.05	3.56	4.065
	35.9	0.001013	2.026	2.535	3.039	3.55	4.052
21	32	0.000804	1.61	2.01	2.41	2.81	3.21
	28.5	0.000636	1.276	1.595	1.914	2.235	2.552
22	28	0.000615	1.23	1.54	1.841	2.15	2.46
	25.3	0.000501	1.01	1.257	1.575	1.76	2.1
23	24	0.000452	0.905	1.13	1.359	1.58	1.82
	22.6	0.0004	0.838	1.002	1.2057	1.405	1.6076
24	22	0.00038	0.761	0.95	1.14	1.33	1.57
25	20	0.00034	0.628	0.786	0.95	1.1	1.25
26	18	0.0002545	0.509	0.636	0.76	0.89	1.01
	17.9	0.00025	0.503	0.628	0.7545	0.88	1.0
27	16.1	0.00021	0.423	0.528	0.634	0.739	0.845
	15.9	0.000199	0.3976	0.4955	0.5988	0.695	0.795
28	14.8	0.00017	0.344	0.43	0.516	0.601	0.69
	14.2	0.000158	0.32	0.397	0.47	0.55	0.62
29	13.6	0.000145	0.291	0.363	0.436	0.509	0.581
	12.6	0.000135	0.25	0.3125	0.375	0.4375	0.5
30	12.4	0.00012	0.241	0.302	0.362	0.428	0.483
31	11.6	0.000105	0.212	0.294	0.317	0.37	0.42
	11.3	0.000099	0.2	0.248	0.3	0.348	0.4024
32	10.8	0.000031	0.183	0.229	0.275	0.32	0.365
33	10	0.000078	0.157	0.196	0.265	0.275	0.314
34	9.2	0.000066	0.133	0.166	0.2	0.233	0.266
	8.9	0.000062	0.1244	0.155	0.186	0.2175	0.2488
35	8.4	0.000055	0.111	0.139	0.176	0.194	0.22
	8	0.00005	0.105	0.1255	0.1507	0.174	0.21
36	7.6	0.000045	0.0907	0.113	0.138	0.158	0.181
	7.1	0.000039	0.07937	0.099	0.119	0.138	0.158
37	6.8	0.000036	0.0726	0.0908	0.101	0.127	0.145
	6.3	0.000031	0.0624	0.078	0.0936	0.109	0.1248

ภาคผนวก ข.

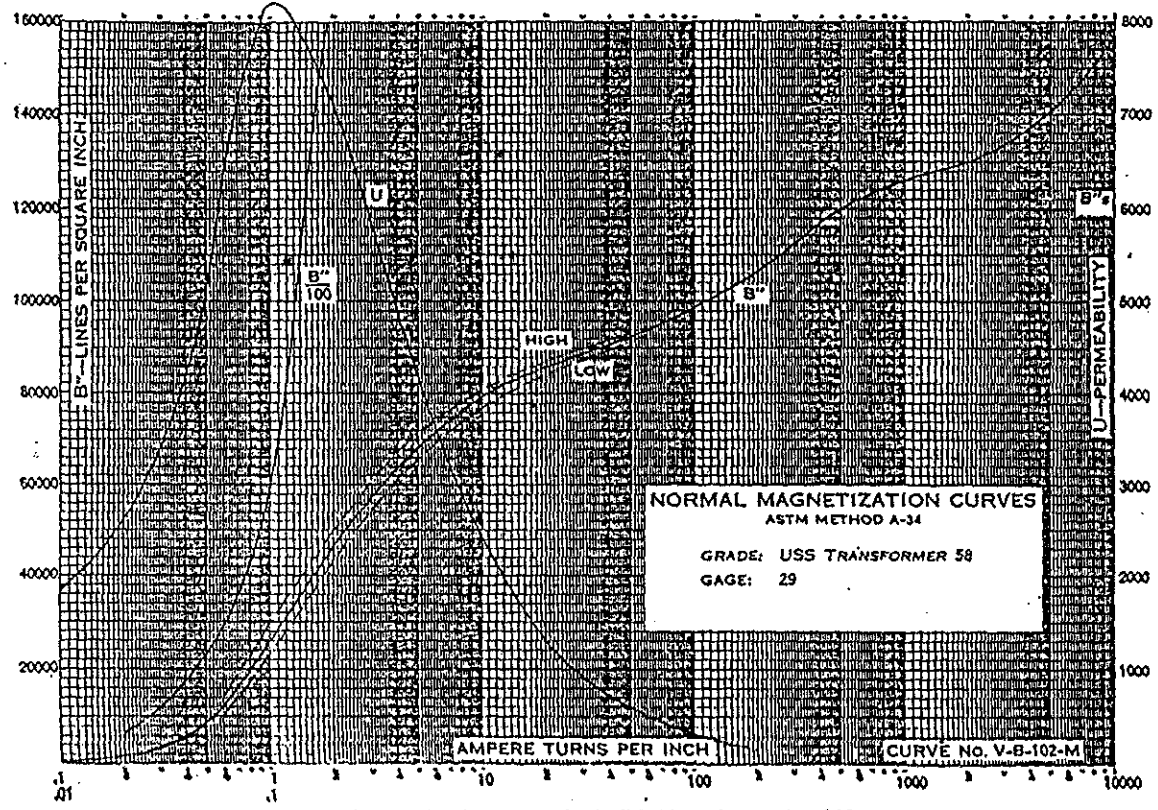
(ตารางแสดงค่าความต้านทานของเส้นลวดที่อุณหภูมิ 25 องศาเซลเซียส)

ตารางแสดงค่าความต้านทานของเส้นลวดที่อุณหภูมิ 25 องศาเซลเซียส

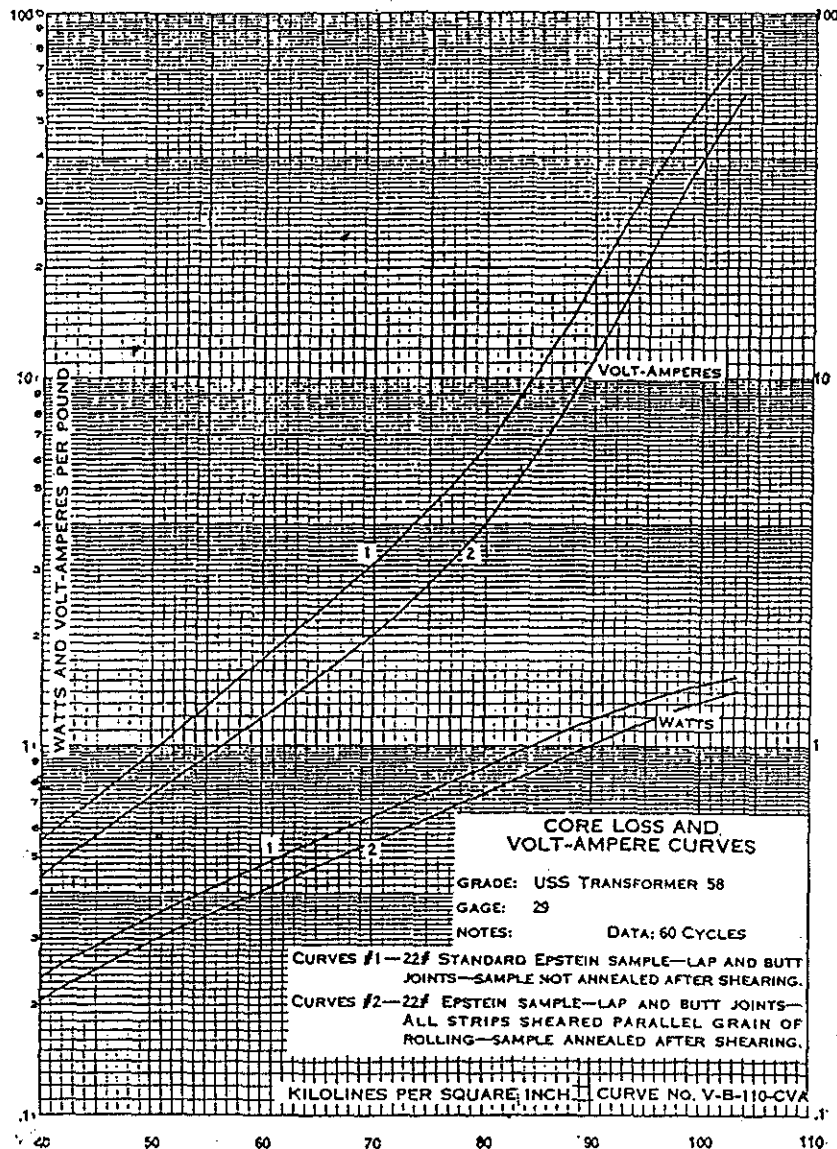
AWG	Diameter (in)	Resistance at 25 C ($\Omega/1000ft$)
6	0.1620	0.3951
7	0.1443	0.4982
8	0.1285	0.6282
9	0.1144	0.7921
10	0.1019	0.9989
11	0.09074	1.260
12	0.08081	1.588
13	0.07196	2.003
14	0.06408	2.525
15	0.05707	3.184
16	0.05082	4.016
17	0.04526	5.064
18	0.04030	6.385
19	0.03589	8.051
20	0.03196	10.15
21	0.02846	12.80
22	0.02535	16.14
23	0.02257	20.36
24	0.02010	25.67
25	0.01790	32.37
26	0.01597	40.81
27	0.01420	51.47
28	0.01264	64.90
29	0.01126	81.83
30	0.01003	103.2
31	0.00893	130.1
32	0.00795	164.1
33	0.00708	206.9
34	0.00631	260.9
35	0.00562	329.4
36	0.00500	414.8

ภาคผนวก ก.

(กราฟคำนวณกระแสกรดตื้นและกำลังสูญเสียในแกนเหล็ก)



Magnetization curves for U.S.S. Transformer Steel No. 58—29 gage.



Core loss and volt-ampere curves for U.S.S. Transformer Steel No. 58—29 gage.

ภาคผนวก ๔.

(ข้อมูลหน้มือแปลงไฟฟ้าในโรงงานอิเล็กทรอนิกส์)

ข้อมูลหม้อแปลงไฟฟ้า

KVA, 1

ไฟส., Single

Hertz, 50

ประเภท, Circular core

แรงดัน, Volts, 220/ 30 กระแส Amperes, 4.545/ 0.333

แกนเหล็ก

รากฐาน:		เปลี่ยนเรื่อง:	
พื้นที่(sq.in.).....	3.446	ค่าความด้านทาน.....	1.9
เส้นผ่านศูนย์กลาง(in.)...	2.267	ค่ารีเซกแท่นท์.....	0.89
ขนาด(in.)....	0.985, 1.584, 2.04	ค่าอิมพิดเอนท์.....	2.1
น้ำหนัก(lb.).....	17.78	ตัวประจุอนกำลัง.....	80 100
re factor.....	0.95	เรกเกี้ยน.....	2.03 1.87
แกนเหล็กด้านเข้ารู่(Yokes)		กำลังงานสูญเสีย:	
พื้นที่ (sq.in.).....	3.446	กำลังงานสูญเสียรวม.....	29
เส้นผ่านศูนย์กลาง(in.).....	2.267	กำลังงานสูญเสียในแกนเหล็ก.....	10
ขนาด(in.).....	0.985, 1.584, 2.04	กำลังงานสูญเสียในผลิตภัณฑ์.....	19
น้ำหนัก(lb.).....	6.35	เปลี่ยนเรื่อง:	
ภาคหน้าต่าง(in.).....	7.24*2.90	โหลด	25 50 75 100
		ประสิทธิภาพ (PF1.0)	95.7 97.1 97.3 97.2

แกนเหล็กและชุดคลอด

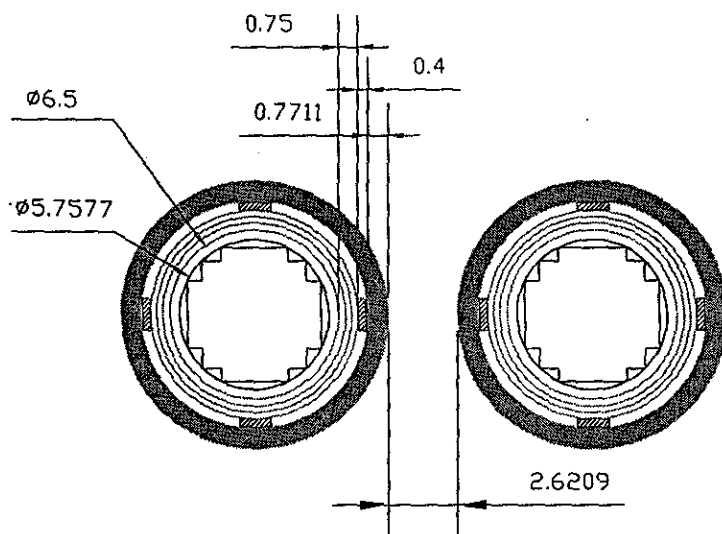
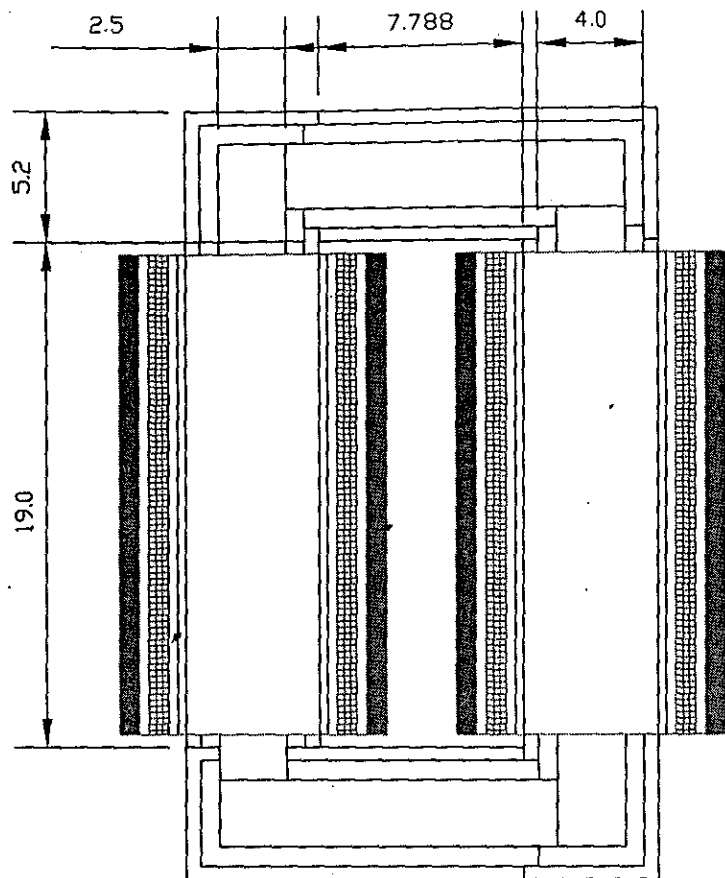
ระยะห่างเดินฟลิกซ์เฉลี่ย(in).....	22.7
ภายนอกแบบ.....	1836
ระยะห่างแม่เหล็ก.....	0.29
ระยะสั้นเนื่องจากกำลังงานสูญเสียในแกนเหล็ก.....	0.05

กระแซกระดับตื้น

ภายนอกแบบ.....	0.295
แม่เหล็ก.....	6.49

ชุดคลอด	แรงดันสูง	แรงดันต่ำ
ประเภทการพันชุดคลอด.....	Helical	Helical
รากฐาน:		
พื้นที่(sq.in).....	0.0005	0.00664
เส้นผ่านศูนย์กลาง(in).....	0.0253	0.092
ความหนาแน่นกระแส(A./sq.in).....	661	684
รอบการพันรวม	5504	404
จำนวนแกนชุดคลอด.....	2	2
รอบ:		
ต่อแกนชุดคลอด.....	2752	202
ต่อชั้นต่อแกนชุดคลอด.....	230	72
จำนวนชั้น.....	12	3
การชนวน		
ชั้น(in).....	0.004	0.004
แกนเหล็กและชุดคลอด(in.)	0.00371	0.00371
HV. และ LV(in.).....	0.004	0.004
แรงดันต่อรอบ.....	0.545	0.545
ความยาวของเส้นคลอดทองแดงต่อรอบ(in).....	14.6	10.5
ความยาวรวมของคลอดทองแดง(ft.).....	6684	353
เส้นคลอดทองแดง:		
น้ำหนัก(lb.).....	13	8.8
ค่าความด้านทานที่ 75 °C.....	83.2	0.479
แรงดันต่ำ IR.....	27.7	2.177
กำลังงานสูญเสียในชุดคลอดที่โหลดเพิ่ม.....	9.22	9.89

Note: หน่วยยังคงเดิม



9/21.

Transformer structure data

kVA, 1 Phase, Single Hertz, 50
Type, 2step cruciforms

Volts HV., 3000 LV., 220
Line Amperes HV., 0.333 LV., 4.545

ประวัติผู้ทำโครงการนวัตกรรมไฟฟ้า

ปฏิวัติ ขัยเจริญลักษณ์ เกิดเมื่อวันที่ 20 ตุลาคม พ.ศ. 2520 มีภูมิลำเนาอยู่ที่ อําเภอเมือง จังหวัดพิจิตร มีประวัติการศึกษาโดยสรุปดังนี้

- พ.ศ. 2533 สำเร็จการศึกษาชั้นประถมศึกษา จากโรงเรียนลากาล โชคิริวี อ. เมือง จ. นครสวรรค์
- พ.ศ. 2536 สำเร็จการศึกษาชั้นมัธยมศึกษาตอนต้น จากโรงเรียนลากาล โชคิริวี อ. เมือง จ. นครสวรรค์
- พ.ศ. 2537 สำเร็จการศึกษาชั้นมัธยมศึกษาตอนปลาย จากโรงเรียนมัธยมวัดเบญจบพิตร เขต คุสิต กรุงเทพมหานคร

- พ.ศ. 2537 - ปัจจุบัน กำลังศึกษาในระดับอุดมศึกษา ที่มหาวิทยาลัยเทคโนโลยีสุรนารี จังหวัดนครราชสีมา
- ปัจจุบัน เป็นนักศึกษาชั้นปีที่ 4 สาขาวิชาวิศวกรรมไฟฟ้า สำนักวิชาเทคโนโลยีอุตสาหกรรม มหาวิทยาลัยเทคโนโลยีสุรนารี จังหวัดนครราชสีมา

ประวัติผู้ทำโครงการวิศวกรรมไฟฟ้า

ไฟฟ้าอ สุดวิลัย เกิดเมื่อวันที่ 7 พฤษภาคม พ.ศ. 2518 มีภูมิลำเนาอยู่ที่อำเภอประโคนชัยจังหวัดบุรีรัมย์ มีประวัติการศึกษาโดยตั้งเป็นดังนี้

- พ.ศ. 2531 สำเร็จการศึกษาชั้นประถมศึกษา จากโรงเรียนบ้านหนองเอียน อ. ประโคนชัย จ. บุรีรัมย์
- พ.ศ. 2534 สำเร็จการศึกษาชั้นมัธยมศึกษาตอนต้น จากโรงเรียนพลับพลาชัยพิทยาคม (สามัคคีพิทยาคม) อ.พลับพลาชัย จ. บุรีรัมย์
- พ.ศ. 2537 สำเร็จการศึกษาชั้นมัธยมศึกษาตอนปลาย จากโรงเรียนประโคนชัยพิทยาคม อ. ประโคนชัย จ. บุรีรัมย์
- พ.ศ. 2537 - ปัจจุบัน กำลังศึกษาในระดับอุดมศึกษา ที่มหาวิทยาลัยเทคโนโลยีสุรนารี จังหวัดนครราชสีมา
- ปัจจุบัน เป็นนักศึกษาชั้นปีที่ 4 สาขาวิชาวิศวกรรมไฟฟ้า สำนักวิชาเทคโนโลยีอุตสาหกรรม มหาวิทยาลัยเทคโนโลยีสุรนารี จังหวัดนครราชสีมา

